



OPTOLYSE



# Imagerie élémentaire par LIBS pour la caractérisation des cristaux

V. Motto-Ros<sup>1,2</sup>

[vincent.motto-ros@univ-lyon1.fr](mailto:vincent.motto-ros@univ-lyon1.fr)

<sup>1</sup>Institut Lumière Matière, UMR5306 Université Lyon 1-CNRS, 69622 Villeurbanne, France

<sup>2</sup>Ablatom SAS, 10 Rue Ada Byron, 69622 Villeurbanne, France



Journées thématiques  
*Défauts dans les cristaux*  
2 & 3 septembre 2021

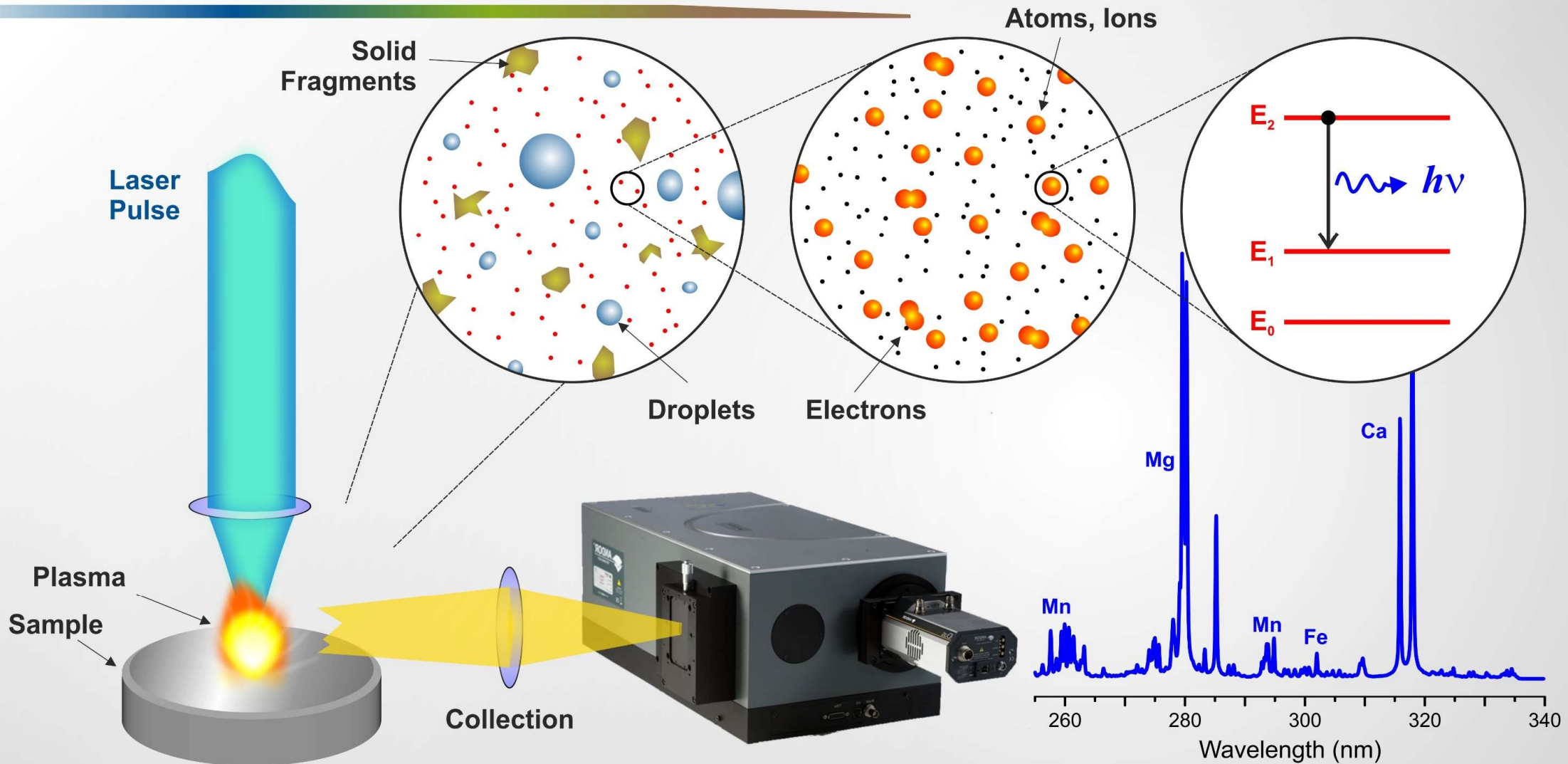


RESEAU  
**CRISTECH**



# Laser-Induced Breakdown Spectroscopy (LIBS)

## Principle



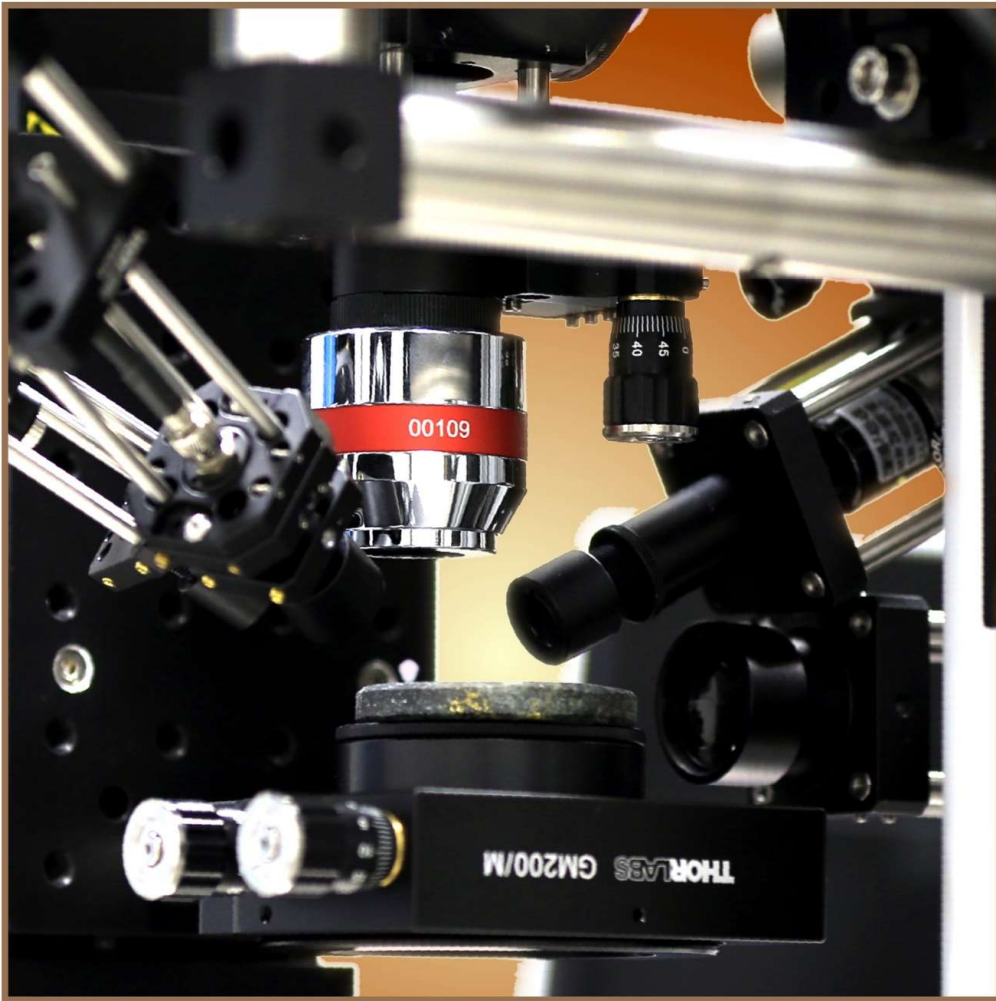
Une technique  
attractive pour  
l'analyse *in situ*

Mars 2021 (NASA)



# Plan

## Imagerie élémentaire par LIBS



**Bases**

**Chronologie**

**Principe &  
Instrumentation**

**Passage en revue**

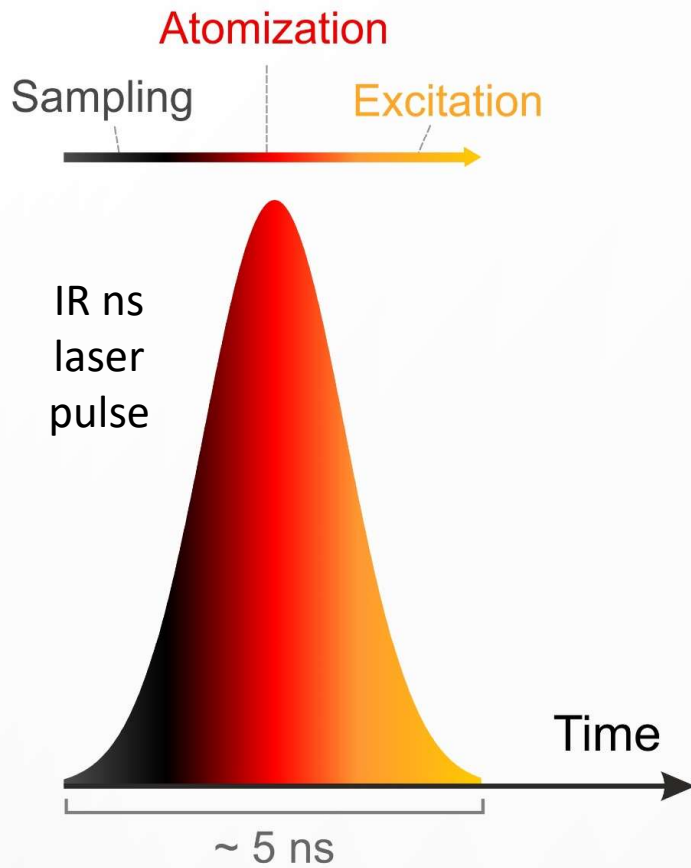
**Quelques exemples**

**Perspectives**

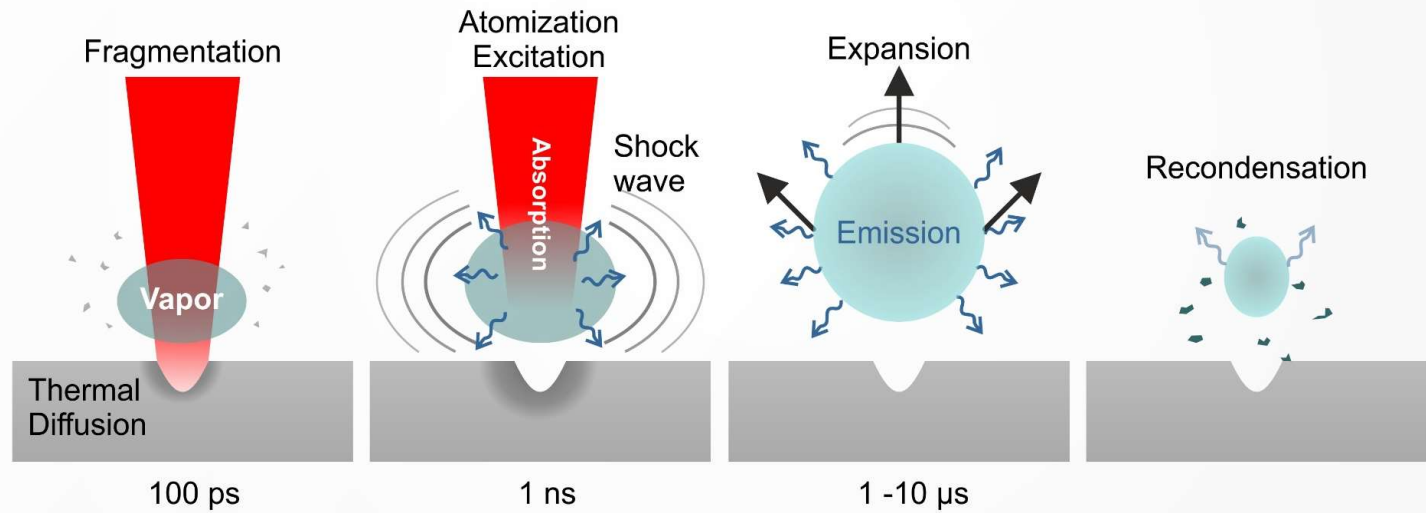
# Plasma induit par laser

## Description rapide

### 3 effets en 1!



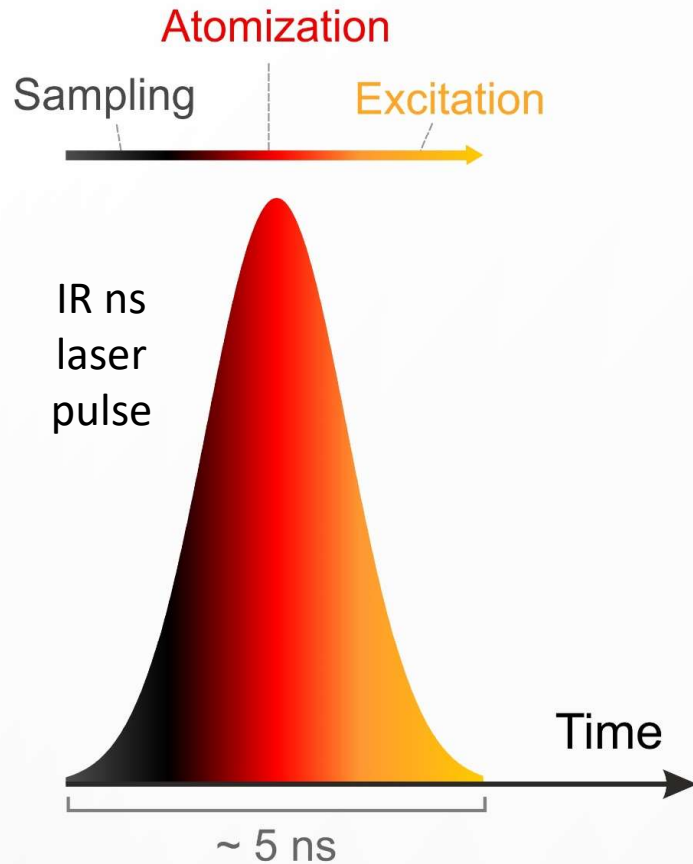
### Mécanismes



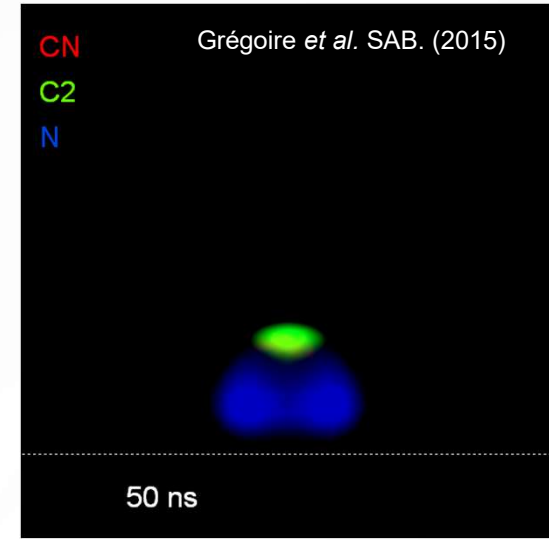
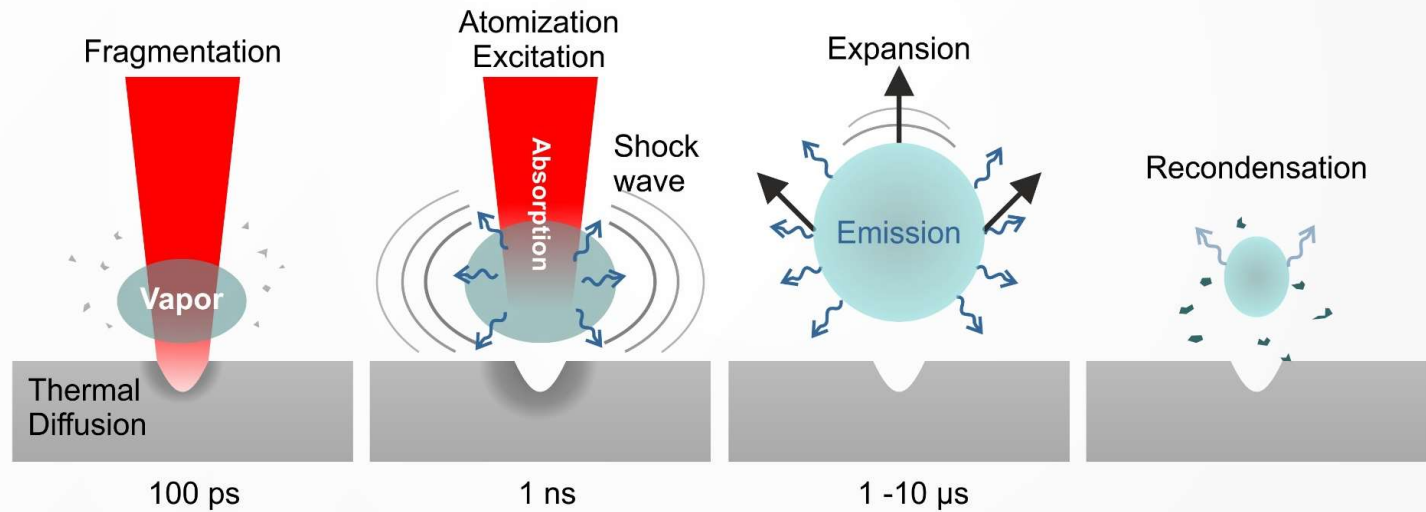
# Plasma induit par laser

## Description rapide

### 3 effets en 1!



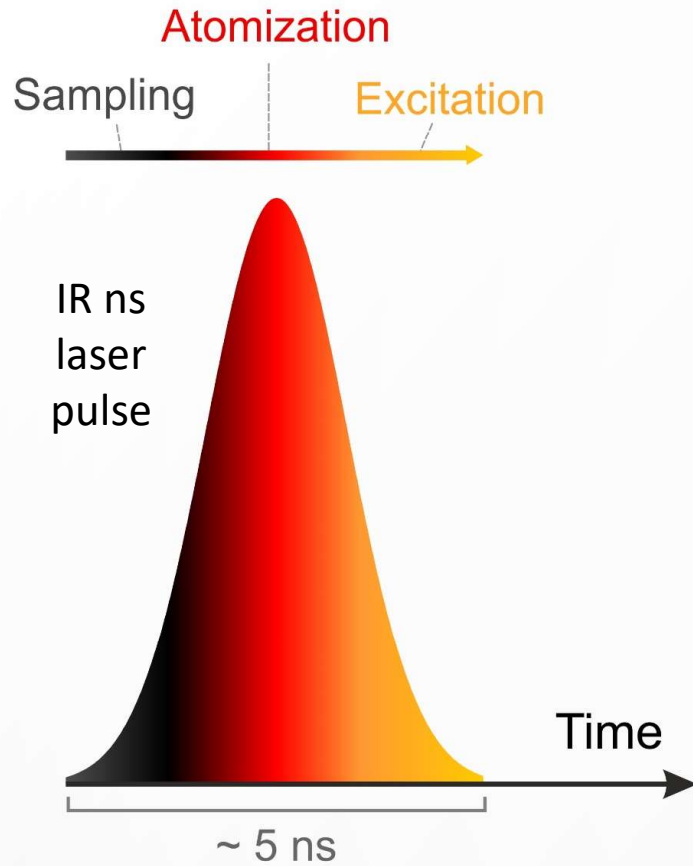
### Mécanismes



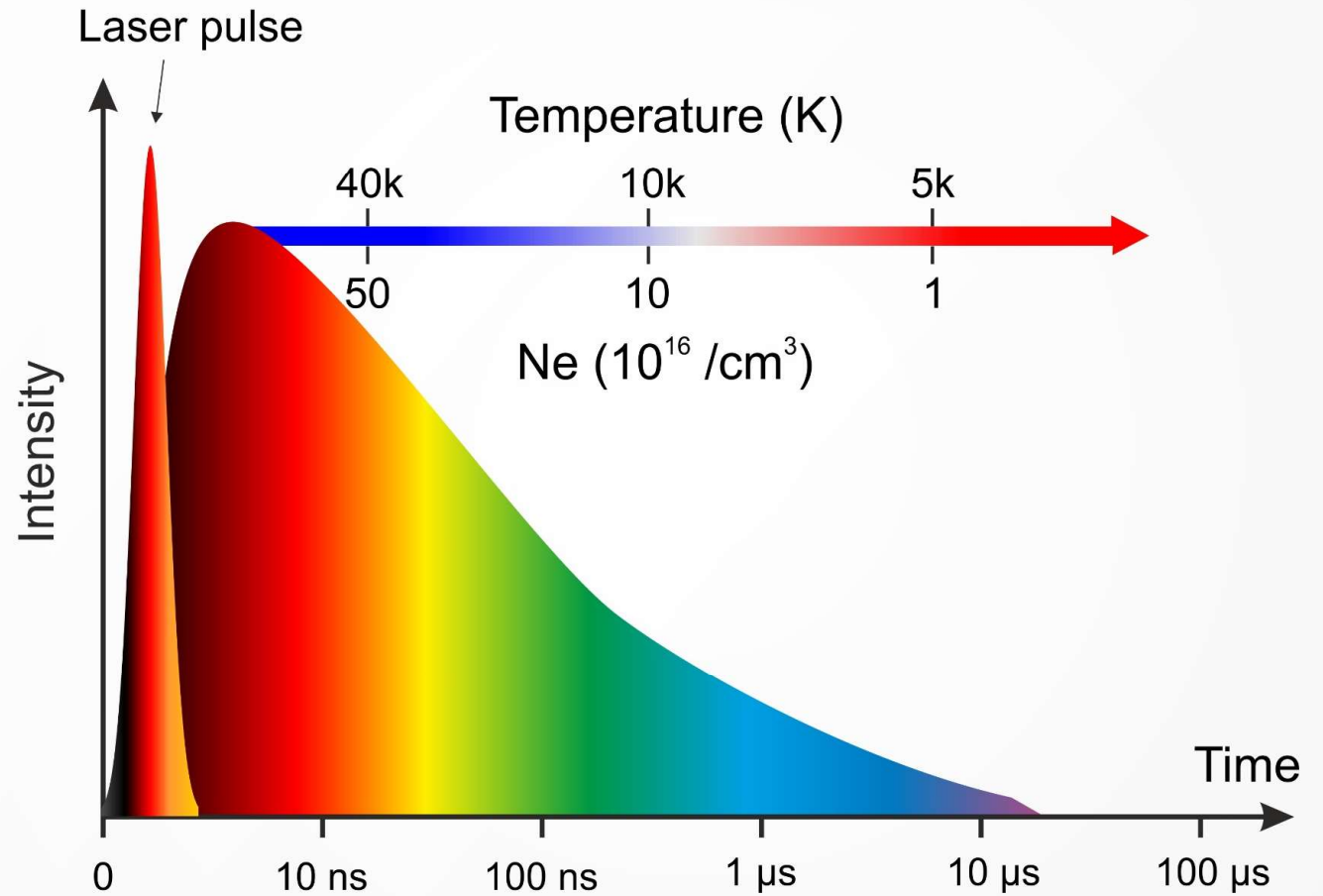
# Plasma induit par laser

## Description rapide

### 3 effets en 1!



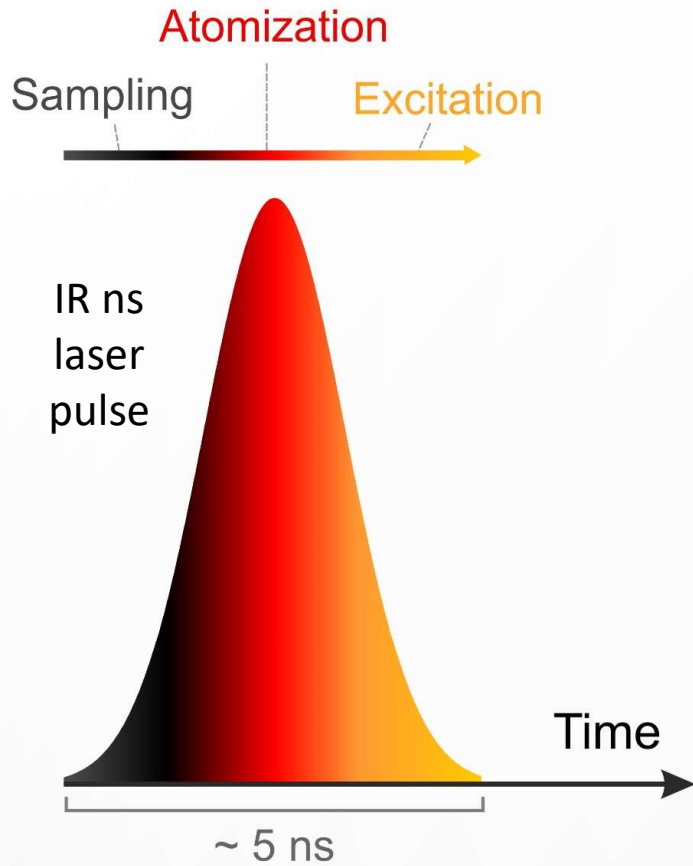
### Evolution temporelle



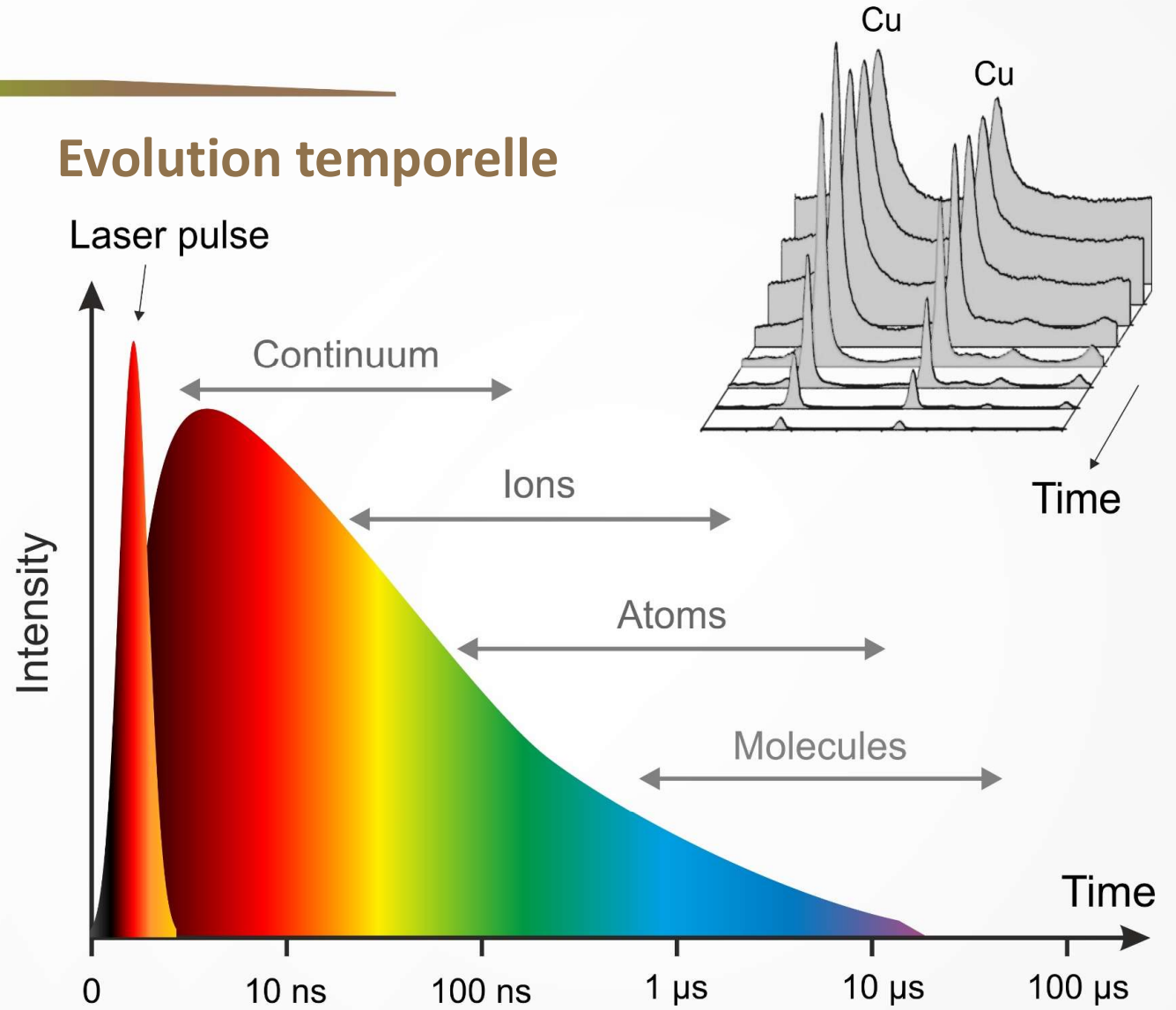
# Plasma induit par laser

## Description rapide

3 effets en 1!



Evolution temporelle

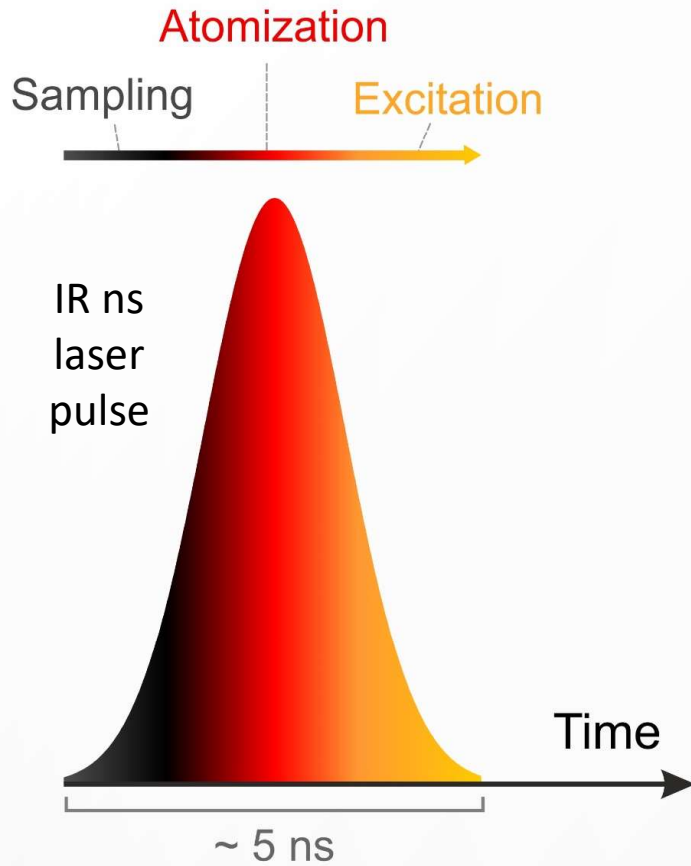




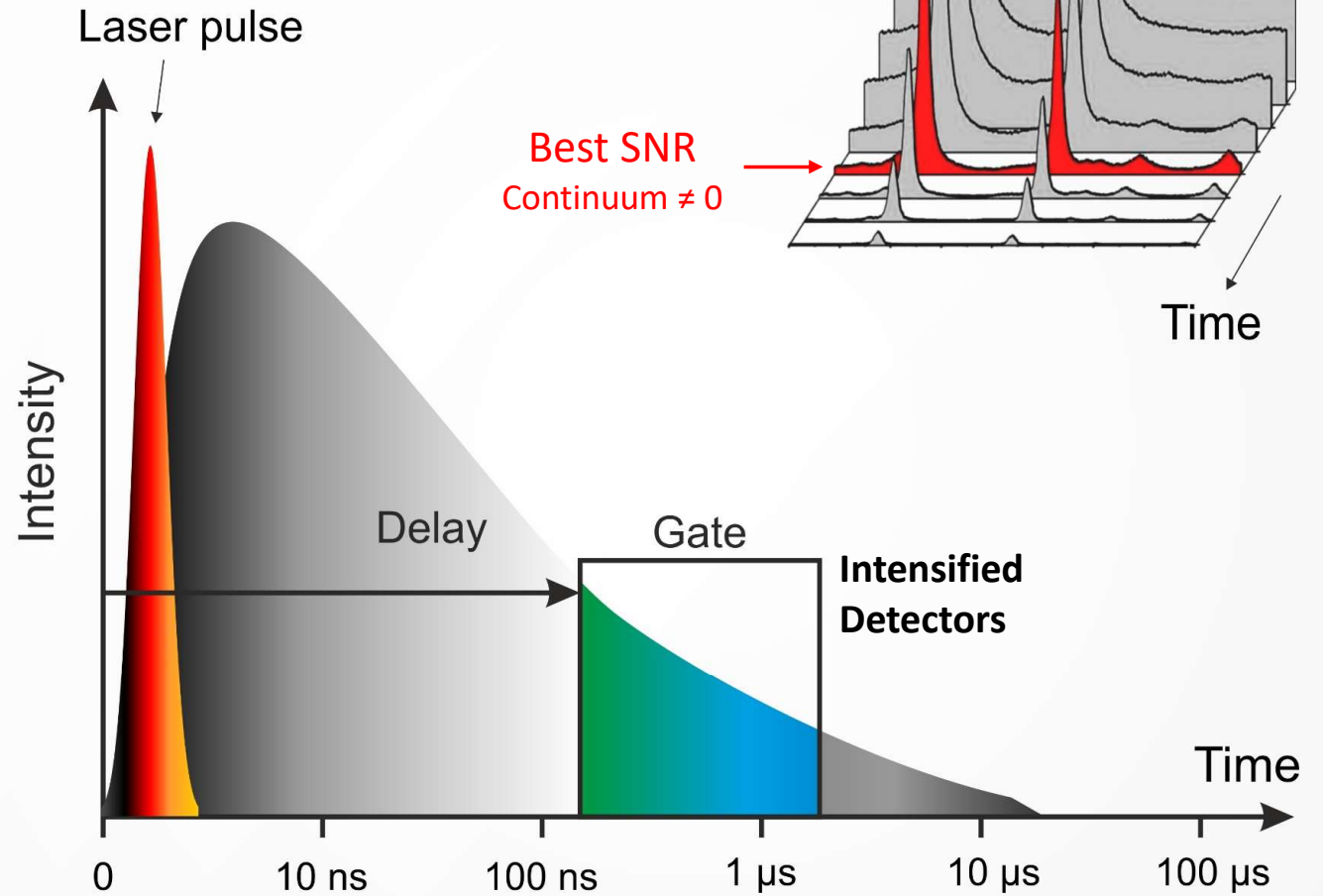
# Plasma induit par laser

## Description rapide

### 3 effets en 1!

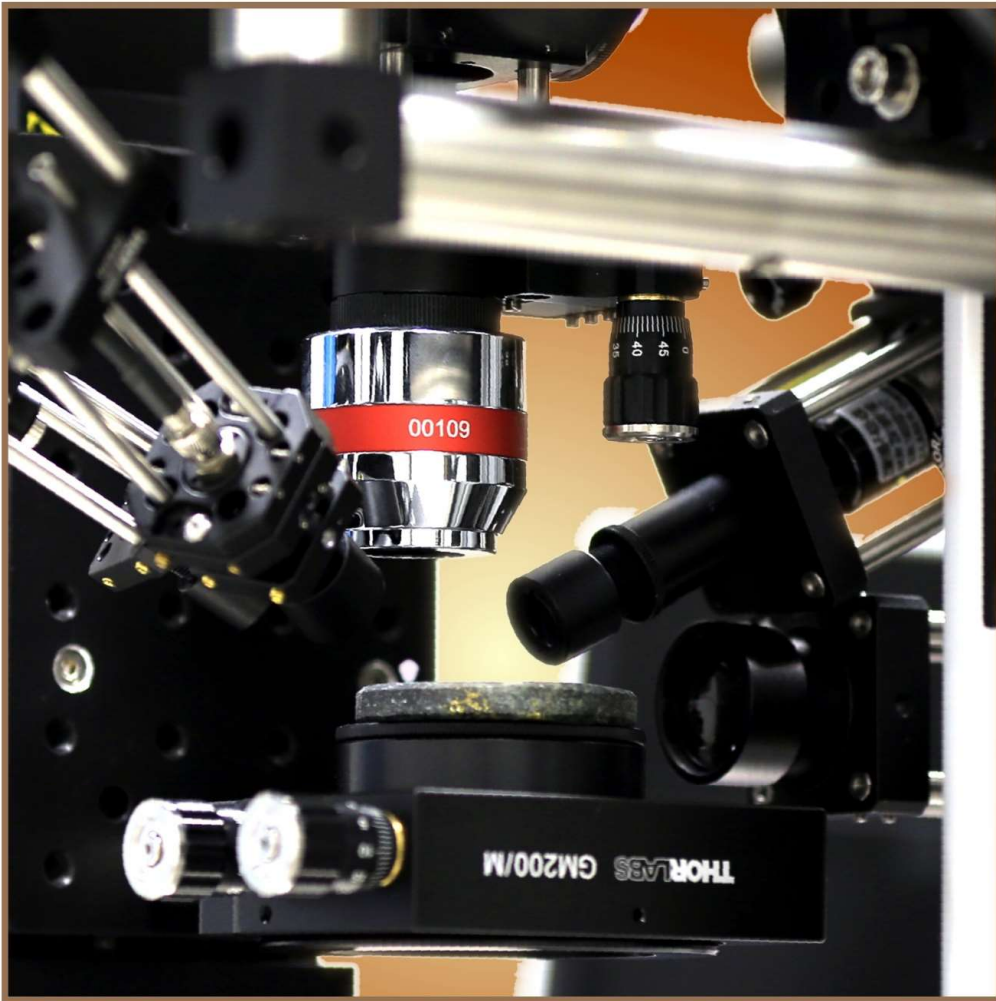


### Evolution temporelle



# Plan

## Imagerie élémentaire par LIBS



Bases

**Chronologie**

Principe &  
Instrumentation

Passage en revue

Quelques exemples

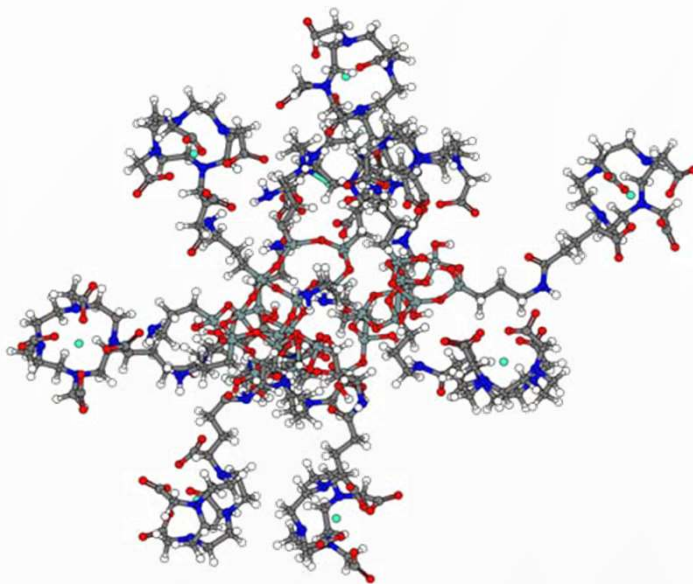
Perspectives

# Imagerie élémentaire à l'ILM

## À l'origine du projet

*Toxicologie des AGuiX? (équipe Fennec)*  
*Élimination rénale?*

**AGuIX**      **Si/Gd-Based NPs < 5 nm**



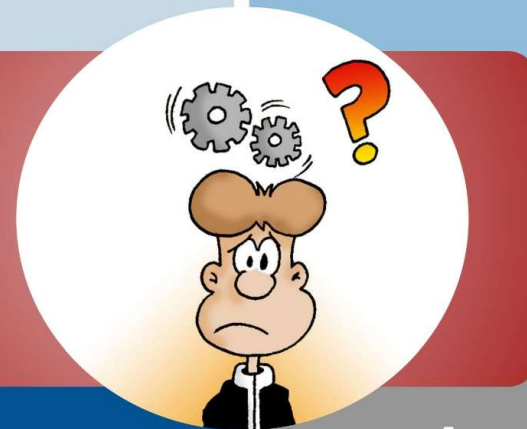
Lux, F. *et al.* Angew. Chem. Int. Ed. Engl. 50, (2011).

**Vous avez dit défi?**

**Sensibilité**  
(mono-tir)

**Vitesse**  
(pixels/s)

**Tissu**  
**Biologique**



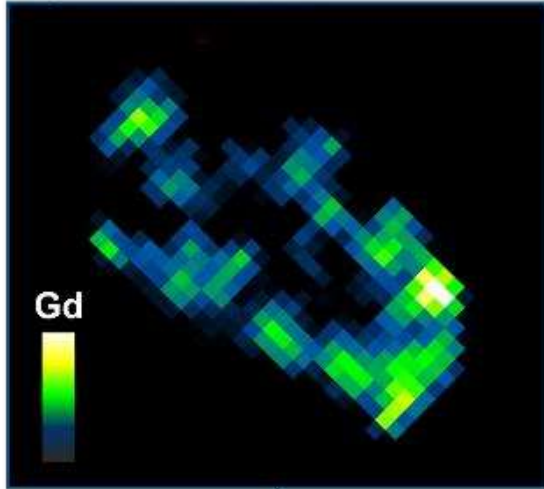
**Résolution**  
**spatiale**

**Analyse**  
**des**  
**données**

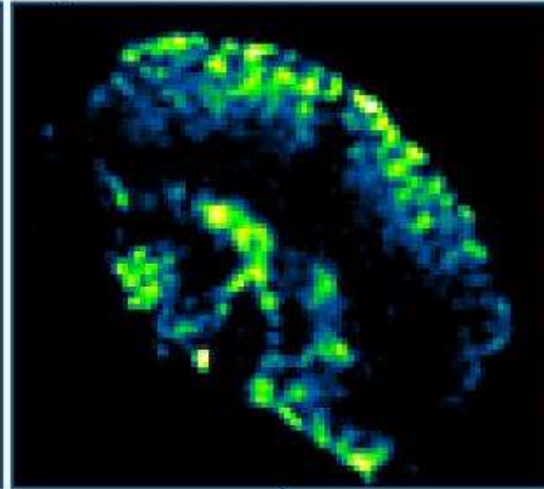
# Brève chronologie

## Imagerie LIBS à l'ILM (2012-2014)

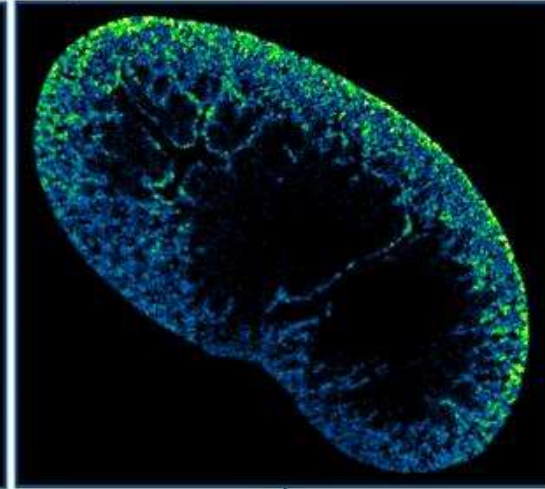
30 x 30 pixels  
Resolution: 400  $\mu\text{m}$   
Acquisition rate: 0.5 Hz



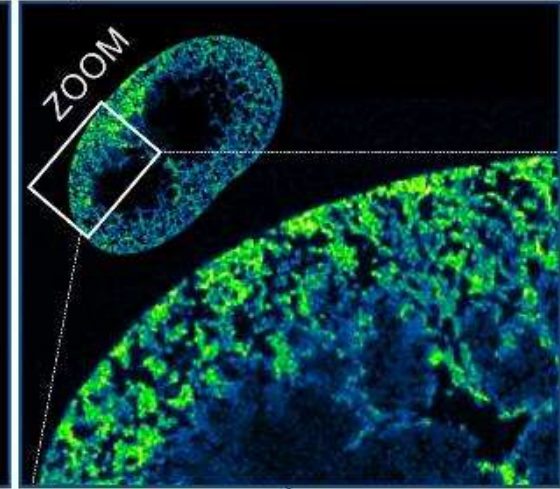
30 x 30 pixels  
Resolution: 100  $\mu\text{m}$   
Acquisition rate: 2 Hz



200 x 300 pixels  
Resolution: 25  $\mu\text{m}$   
Acquisition rate: 10 Hz



400 x 600 pixels  
Resolution: 10  $\mu\text{m}$   
Acquisition rate: 10 Hz



Motto-Ros et al., SAB (2013)

Motto-Ros et al., APL (2013)

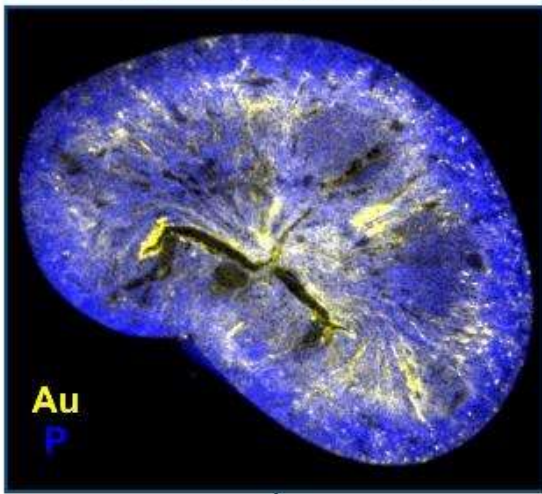
L. Sancey et al., Sci. Rep. **4** (2014)

L. Sancey, et al., J. Vis. Exp. (2014)

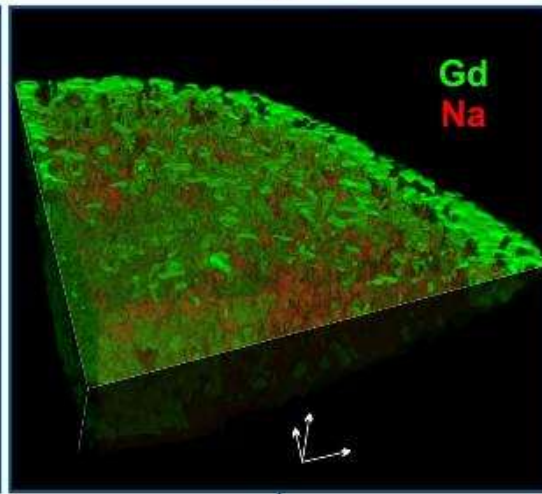
# Brève chronologie

## Imagerie LIBS à l'ILM (2014-2016)

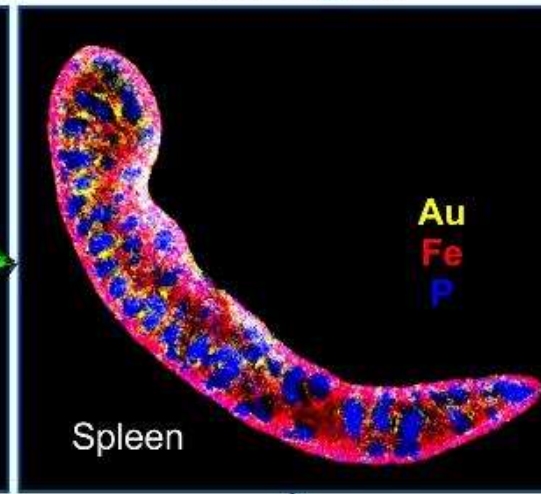
100 Hz Acquisition



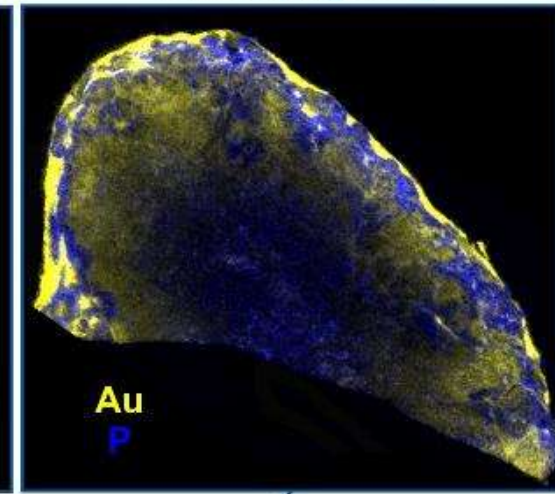
3D



Other organs



Tumor targeting



Jan

Jul

Jan

Jul

Jan

2014

2015

2016

- A. Detappe *et al.* J. Cont. Rel. (2016)
- Y. Gimmenez *et al.* Sci. Rep. (2016)
- S. Kunjachan *et al.*, Nano letters **15** (2015)
- L. Sancey *et al.*, ACS Nano **9** (2015)
- A. Moussaron *et al.*, Small **9** (2015)

# Brève chronologie

## Imagerie LIBS à l'ILM (2016-2021)

**iLM**  
INSTITUT LUMIERE MATIERE

**cetim**  
Grand Est

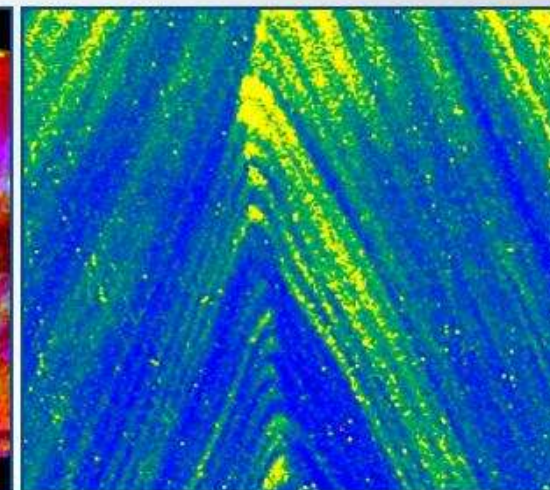
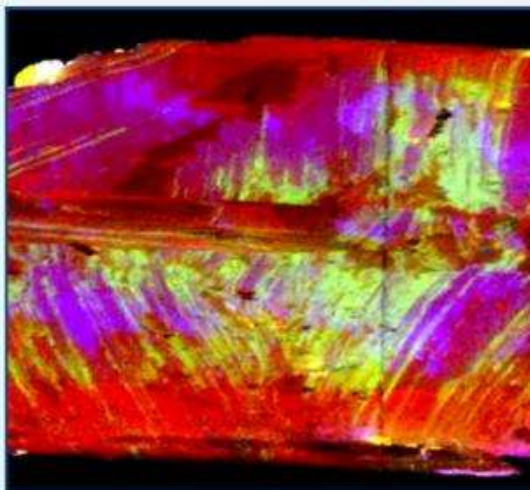
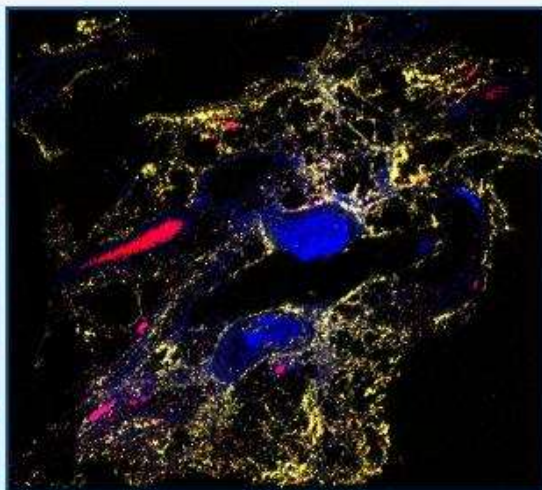
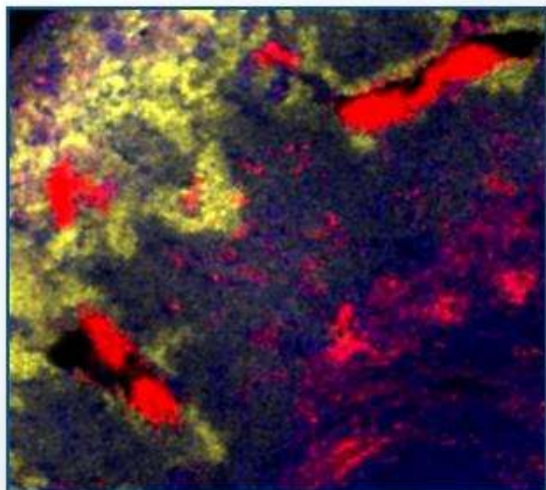
OPTOLYSE

Biologie

Médecine

Géologie

Industrie



- F. Trichard *et al.* JAAS (2017)
- J. Caceres *et al.* Sci. Rep. (2017)
- F. Trichard *et al.* Spectrochim. Act. B (2017)
- S. Moncayo *et al.* Spectrochim. Act. B (2017)
- L. Bassel *et al.*, Environ. Sci. Pollut. Res. (2016)
- G. Alombert-Goget *et al.*, Optical Materials (2016)

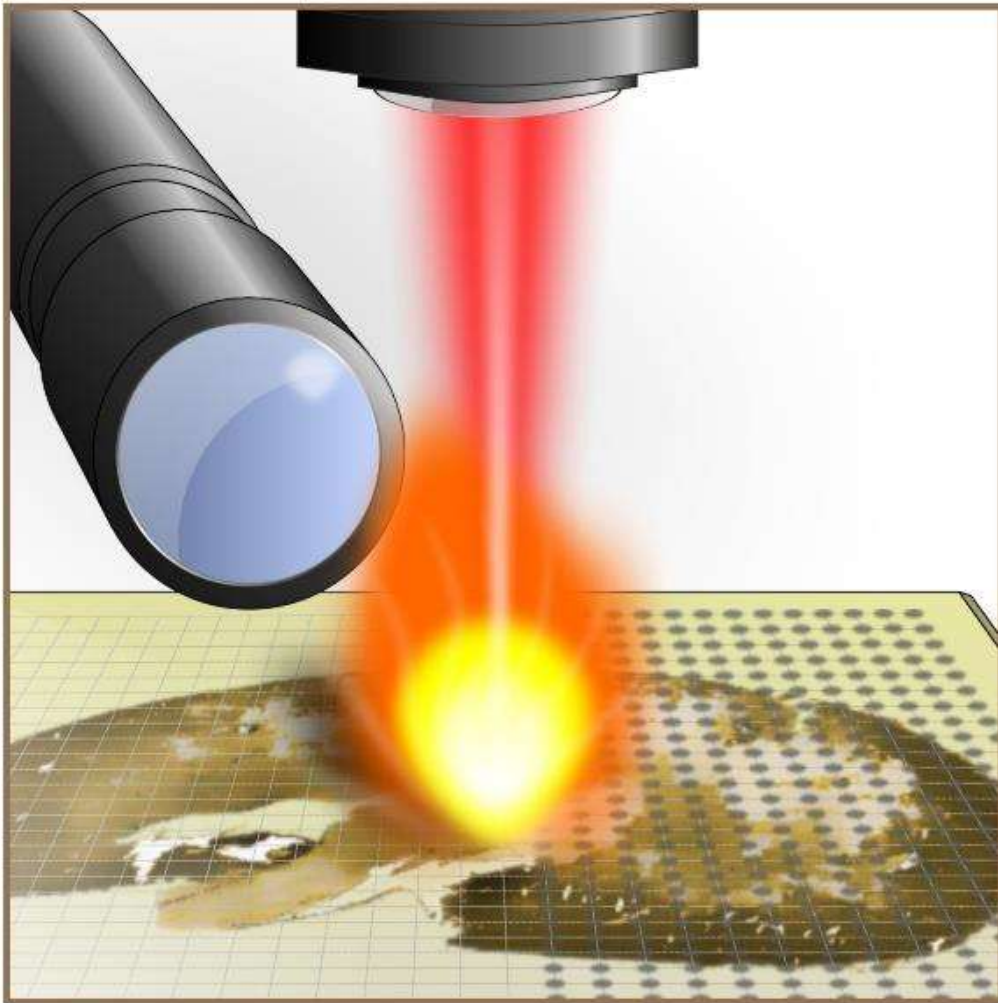
**Détection et Validation  
d'applications**



**ABLATOM**  
Spin-off de l'Université de Lyon  
[www.ablatom.com](http://www.ablatom.com)

# Plan

## Imagerie élémentaire par LIBS



Bases

Chronologie

**Principe &  
Instrumentation**

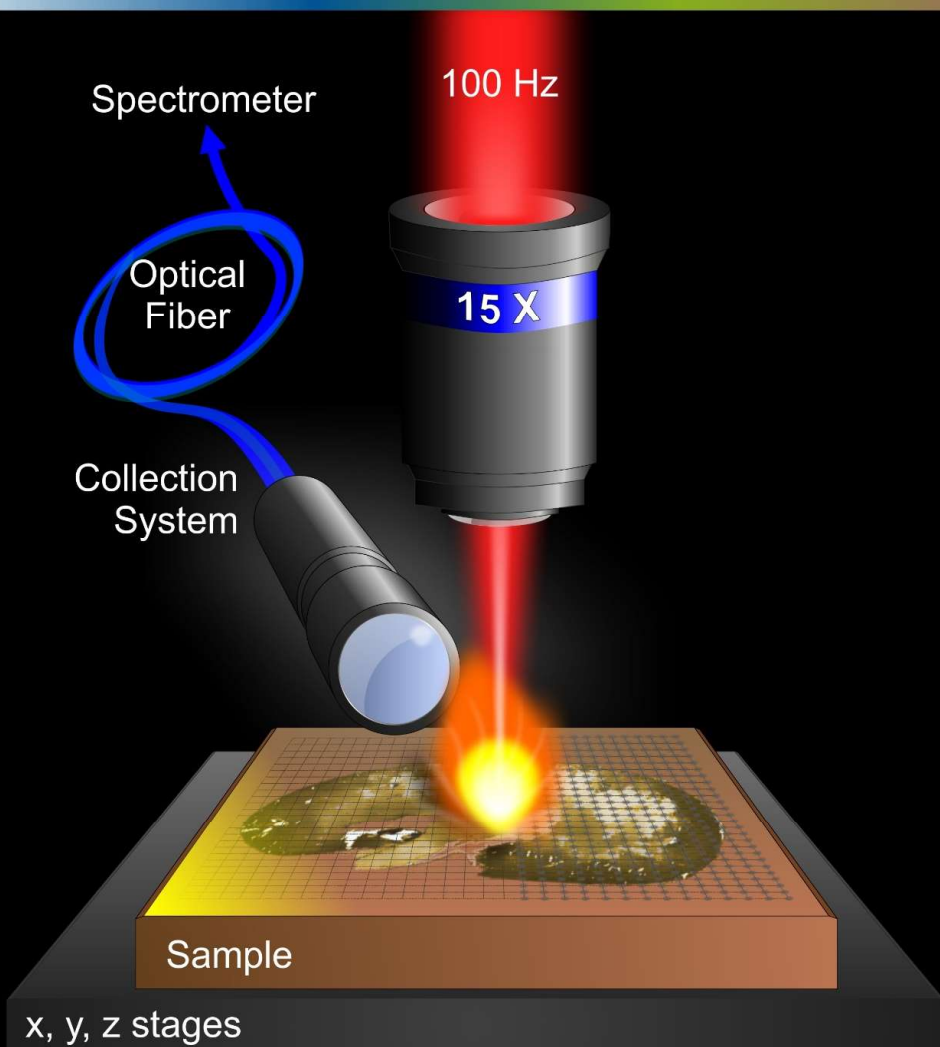
Passage en revue

Quelques exemples

Perspectives

# Imagerie élémentaire par LIBS

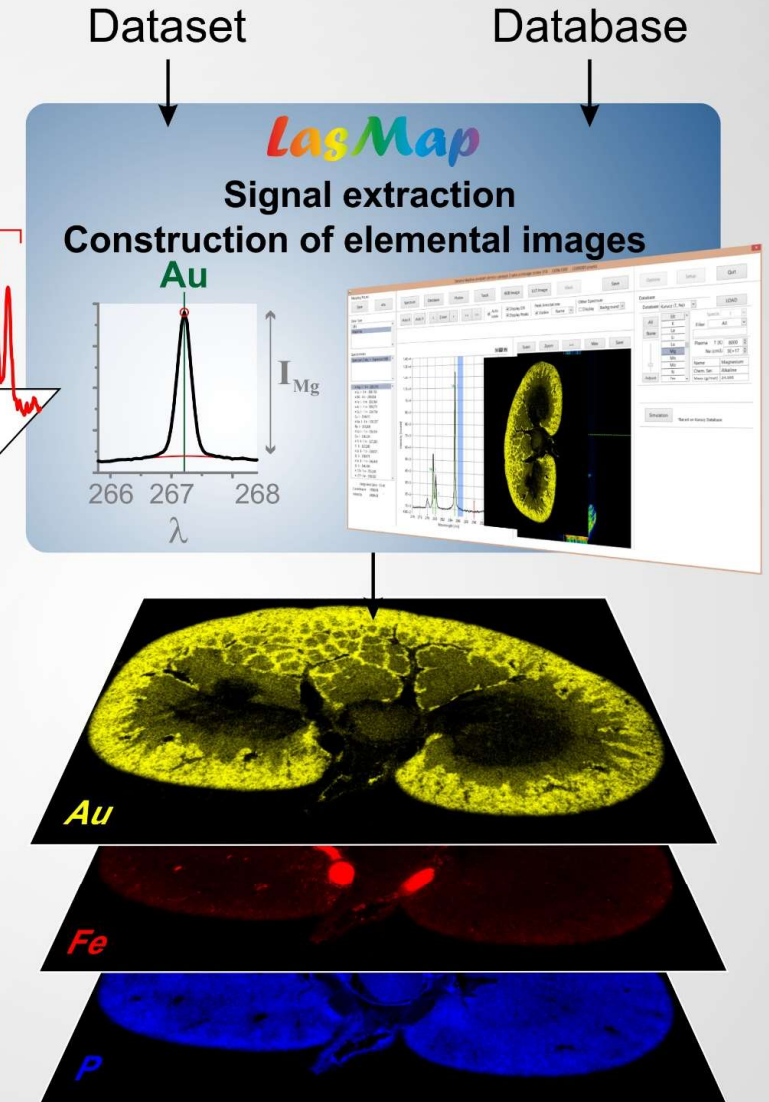
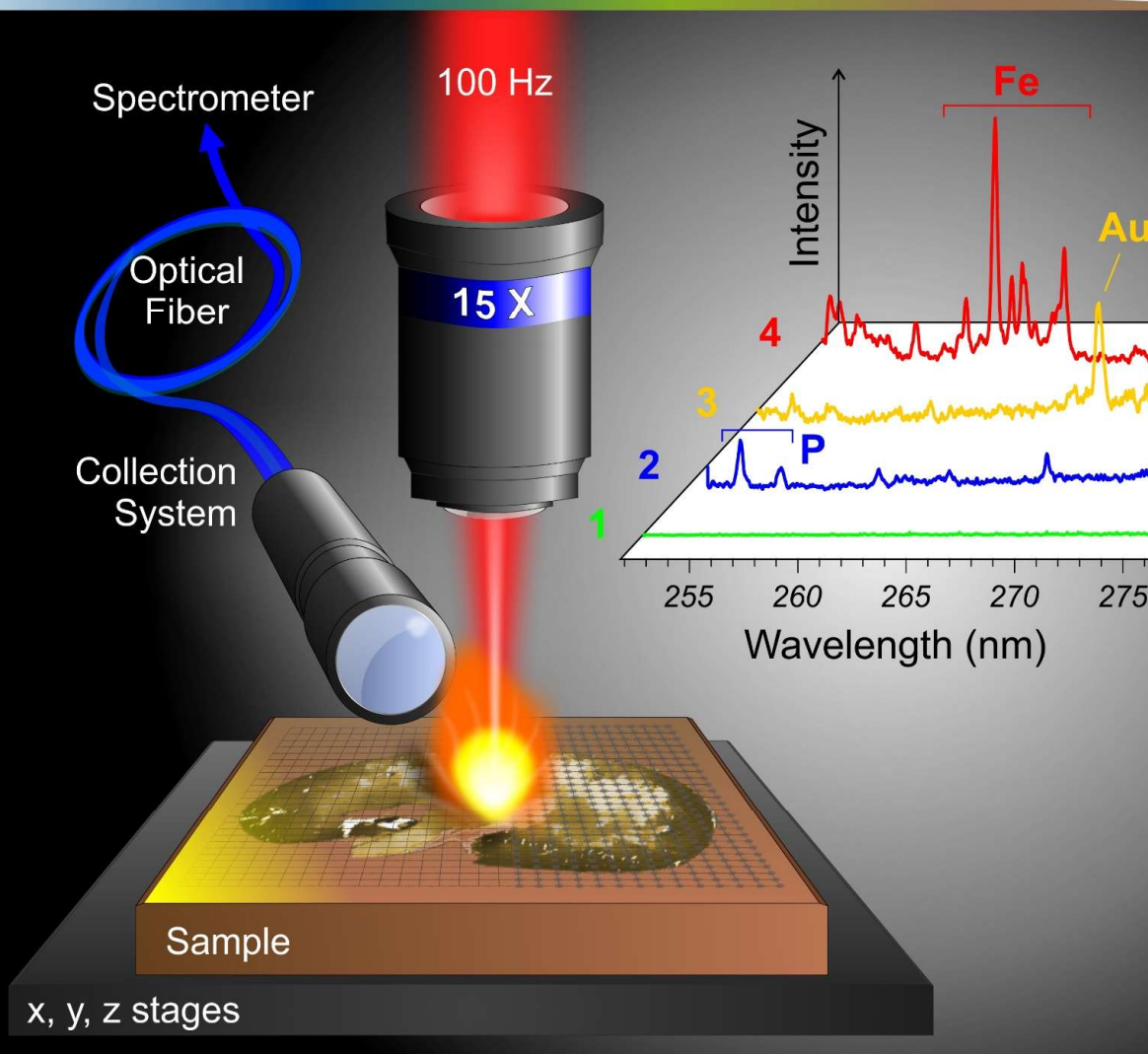
## Principe



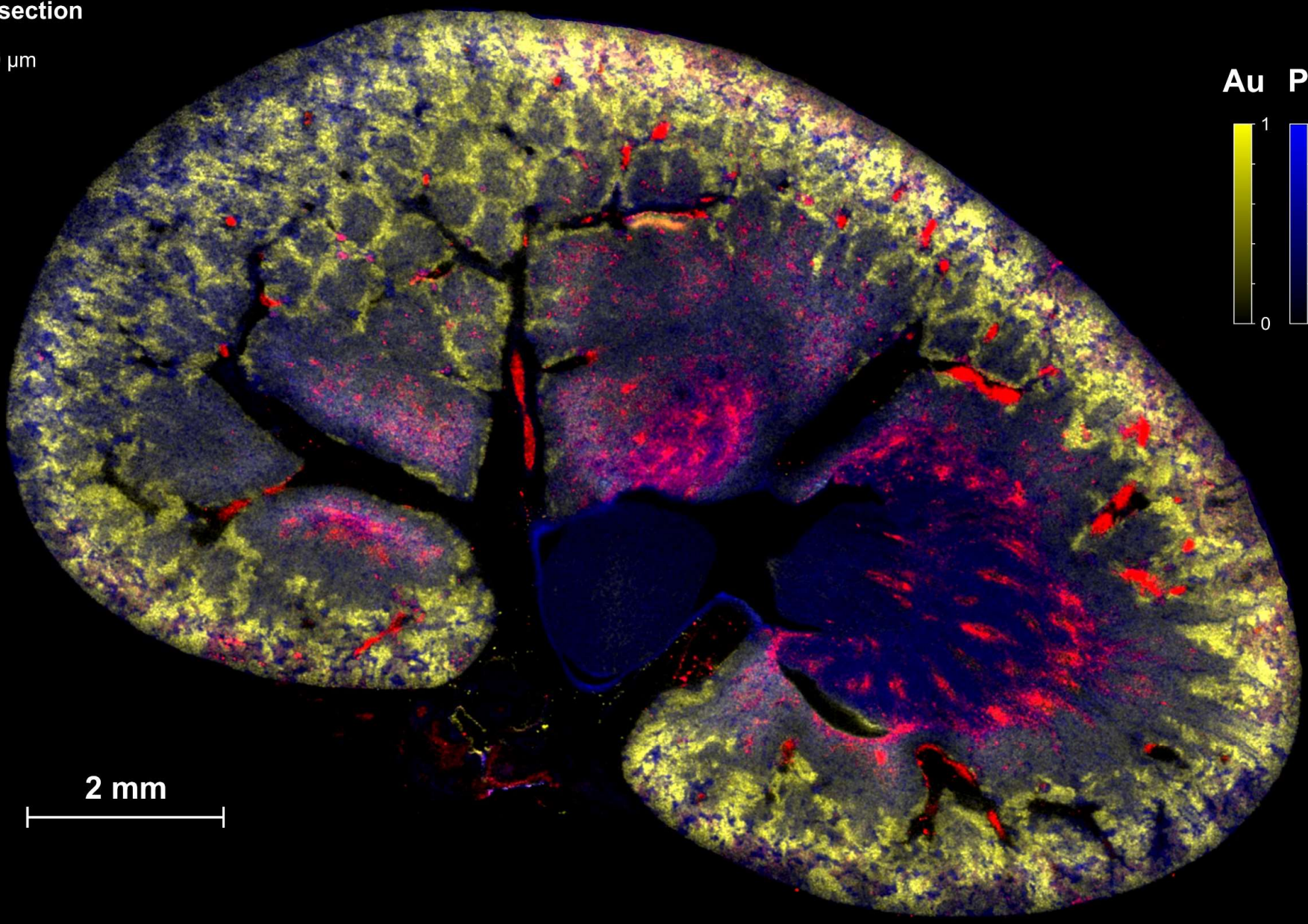
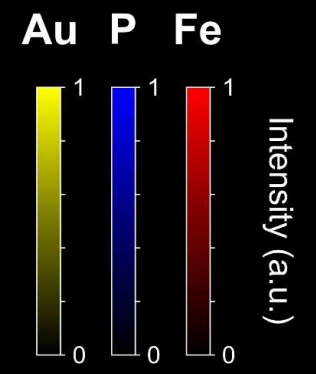


# Imagerie élémentaire par LIBS

## Principe

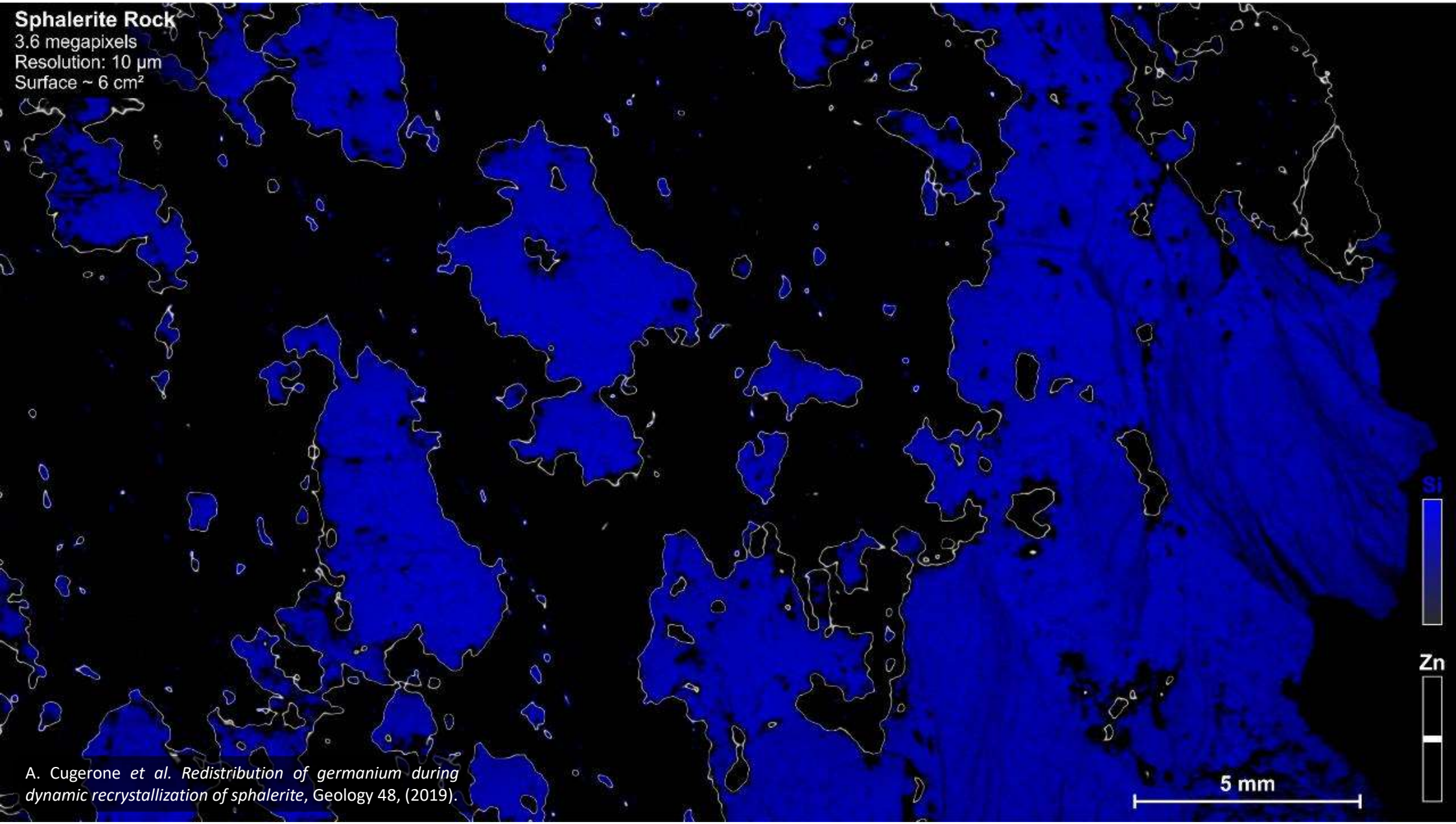


**Rat kidney section**  
2 megapixels  
Resolution: 10  $\mu\text{m}$



2 mm

**Sphalerite Rock**  
3.6 megapixels  
Resolution: 10  $\mu\text{m}$   
Surface ~ 6  $\text{cm}^2$

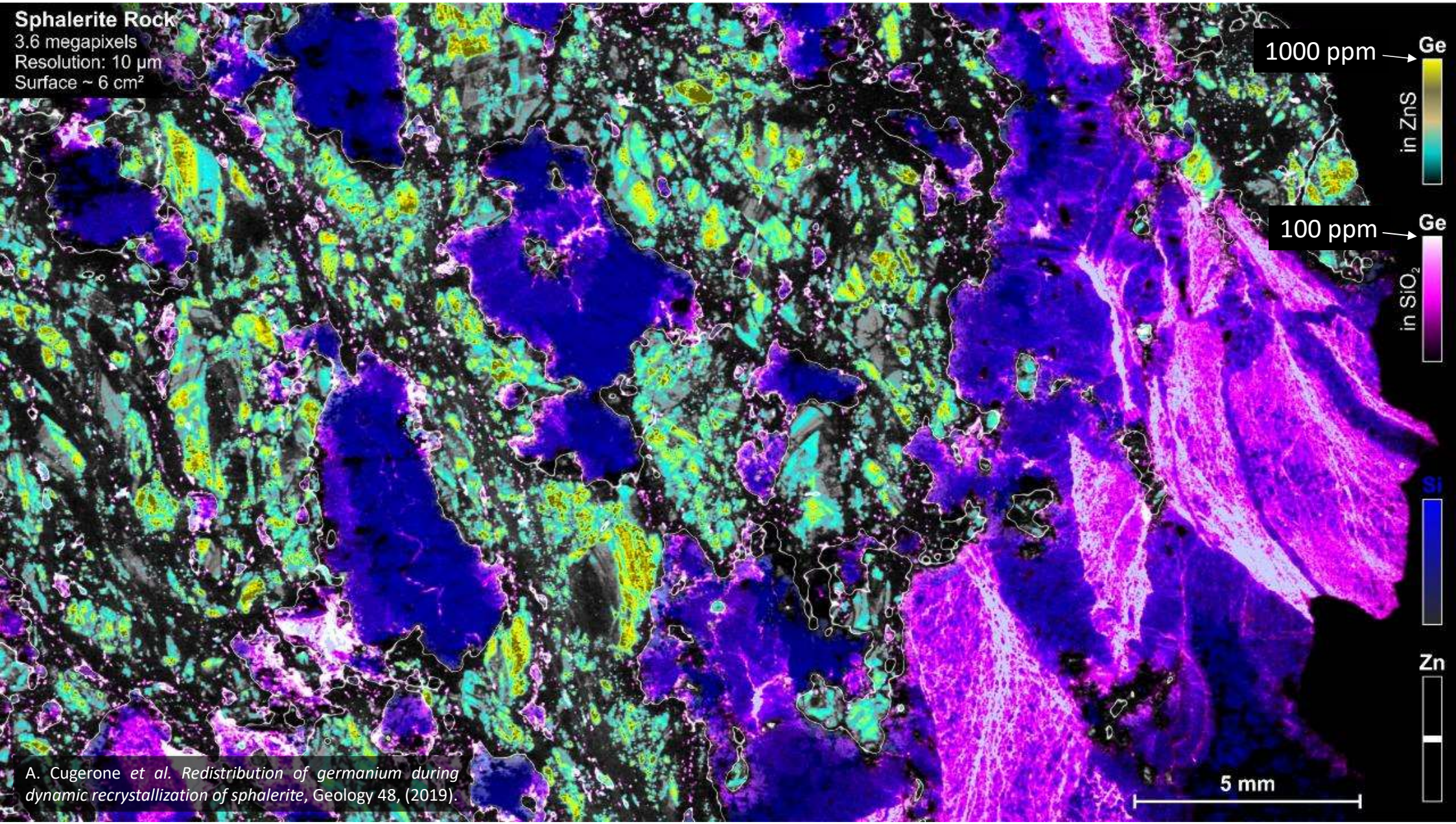


A. Cugerone *et al.* *Redistribution of germanium during dynamic recrystallization of sphalerite*, *Geology* 48, (2019).

5 mm

Si  
Zn

**Sphalerite Rock**  
3.6 megapixels  
Resolution: 10  $\mu\text{m}$   
Surface ~ 6  $\text{cm}^2$



1000 ppm  $\text{Ge}$   
in  $\text{ZnS}$

100 ppm  $\text{Ge}$   
in  $\text{SiO}_2$

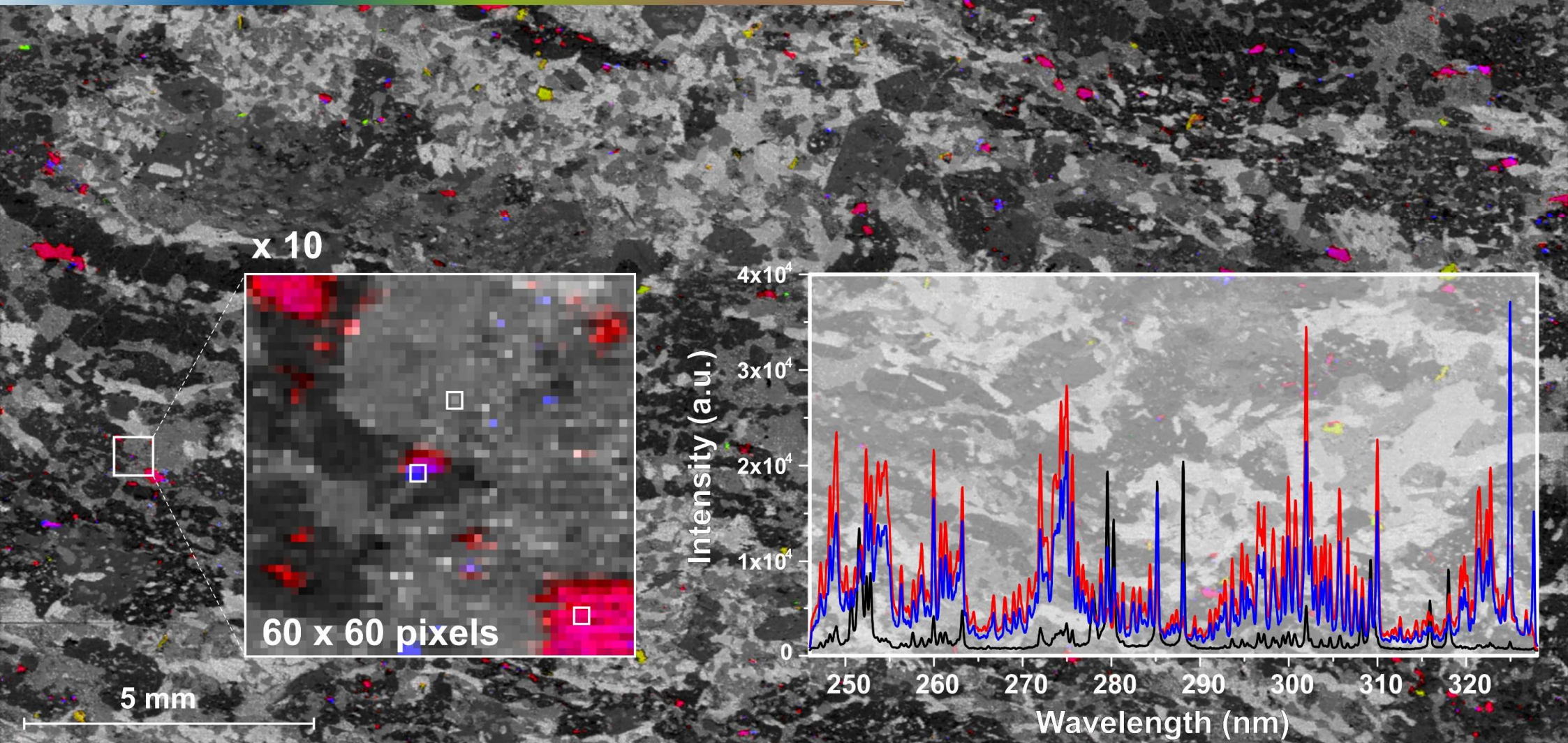
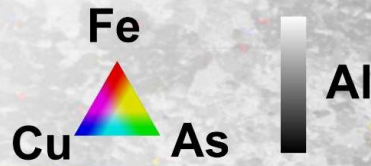
A. Cugerone et al. Redistribution of germanium during dynamic recrystallization of sphalerite, *Geology* 48, (2019).

5 mm

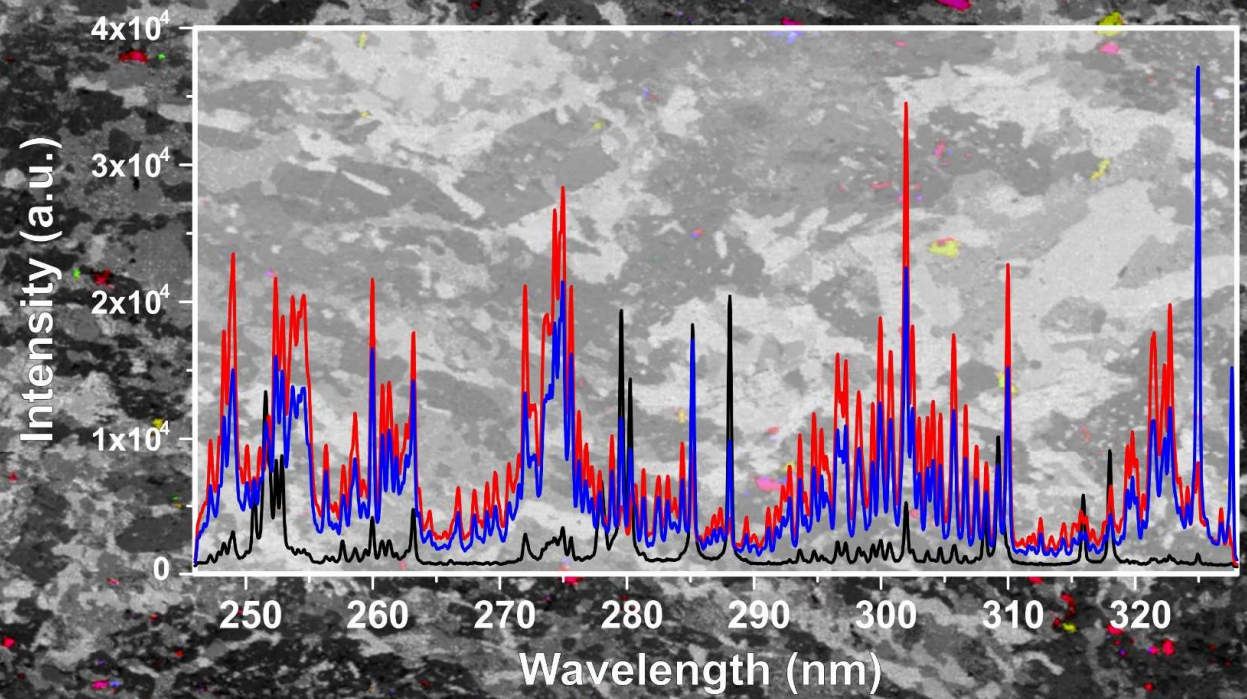
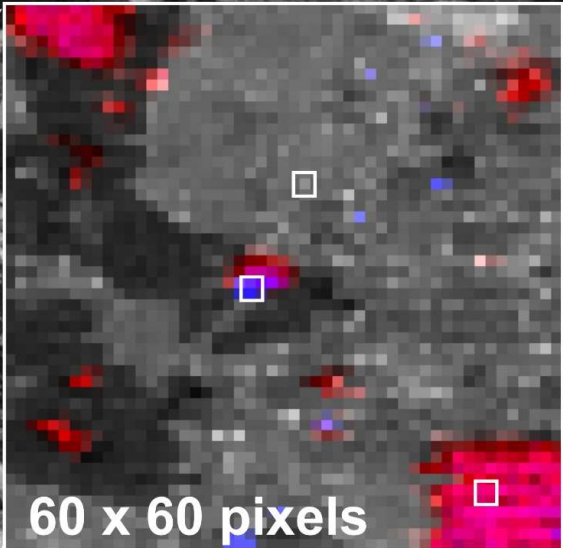
Si  
Zn

# Imagerie LIBS

Pour résumer...

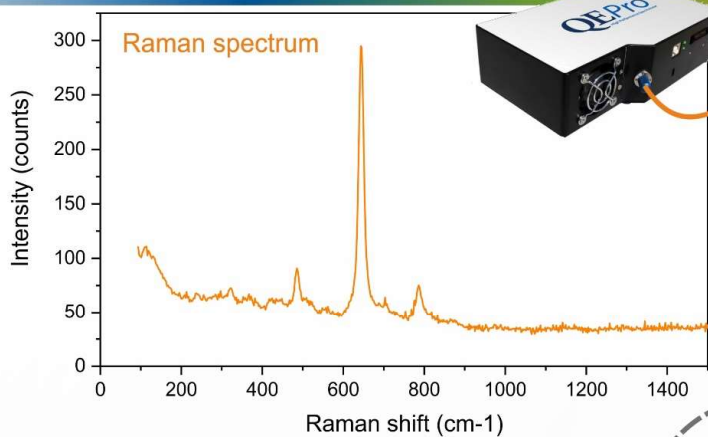


x 10

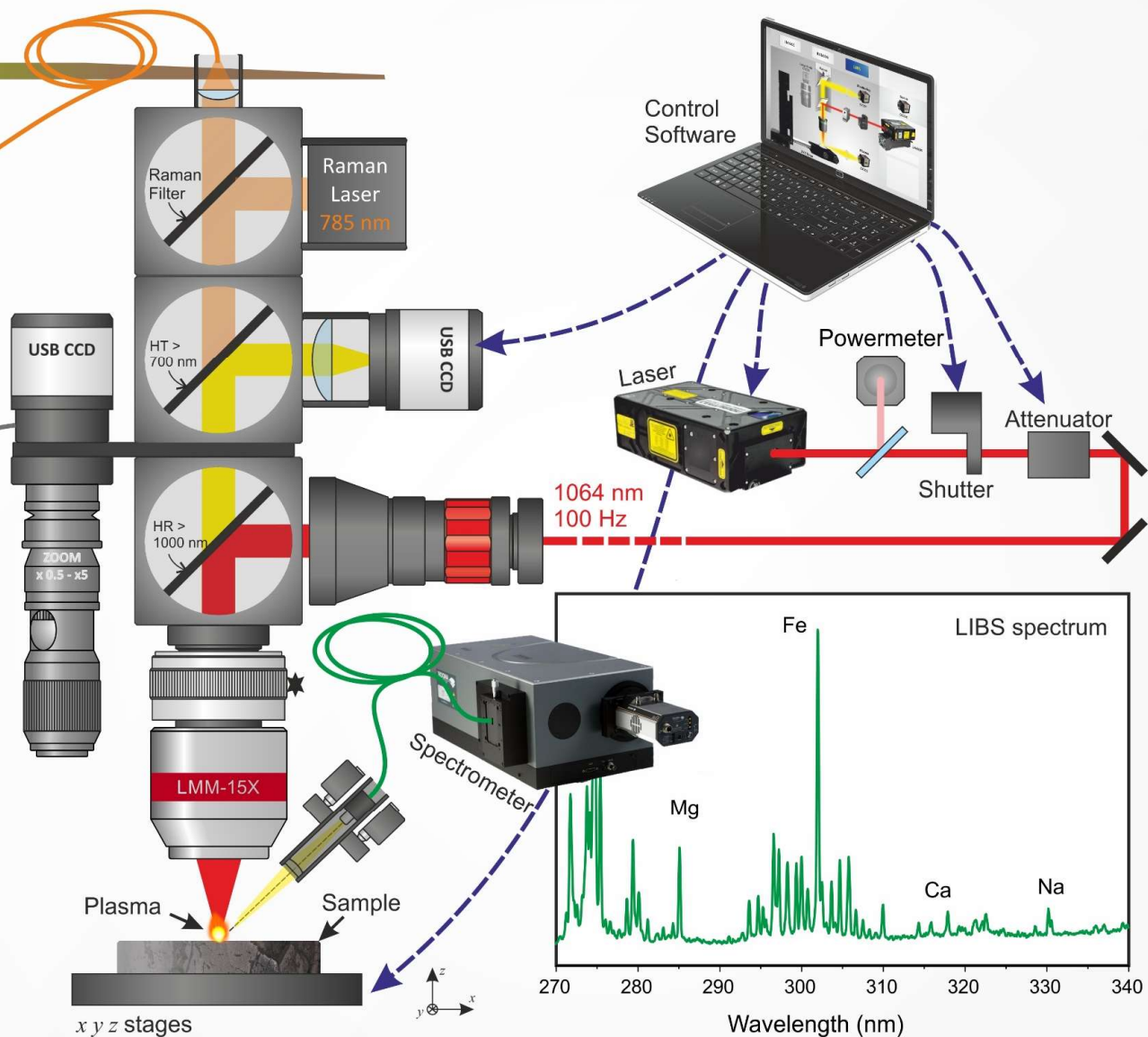


# Instrumentation

## Microscope "maison"



Optical imaging



# Instrumentation

## Microscope “maison”



### Properties

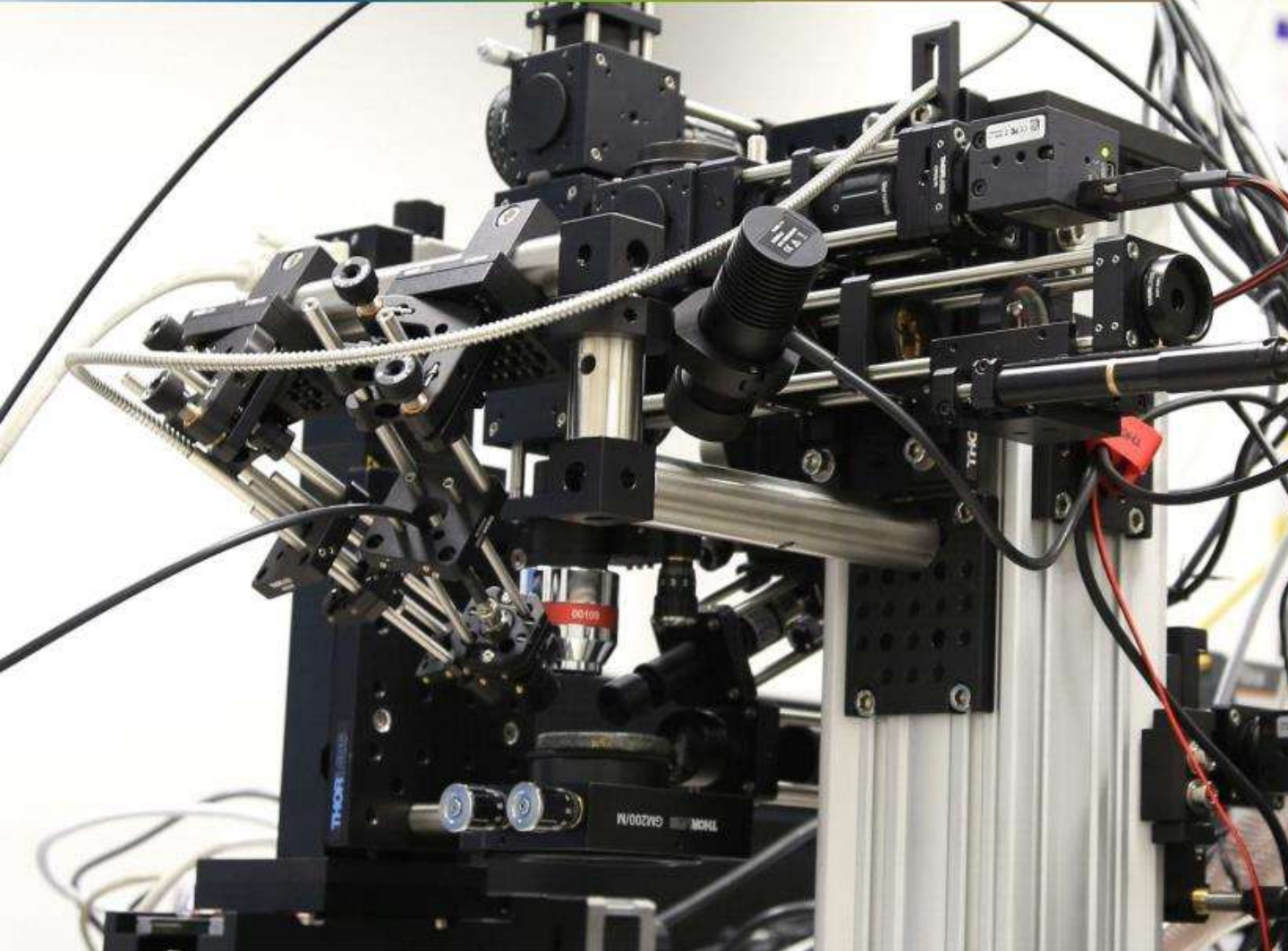
- ▶ Resolution  $\sim 5 \mu\text{m}$
- ▶ Step Size 5 – 100  $\mu\text{m}$
- ▶ Operating speed 100 Hz
- ▶ Spectral detection  
2x Czerny-Turner & ICCD

### Multi-techniques

- ▶ Raman Spectroscopy
- ▶ Fluorescence
- ▶ Optical Imaging

### Controls

- ▶ Laser Energy
- ▶ Laser Focus
- ▶ Light collection



THORLABS

# Equipements à l'ILM

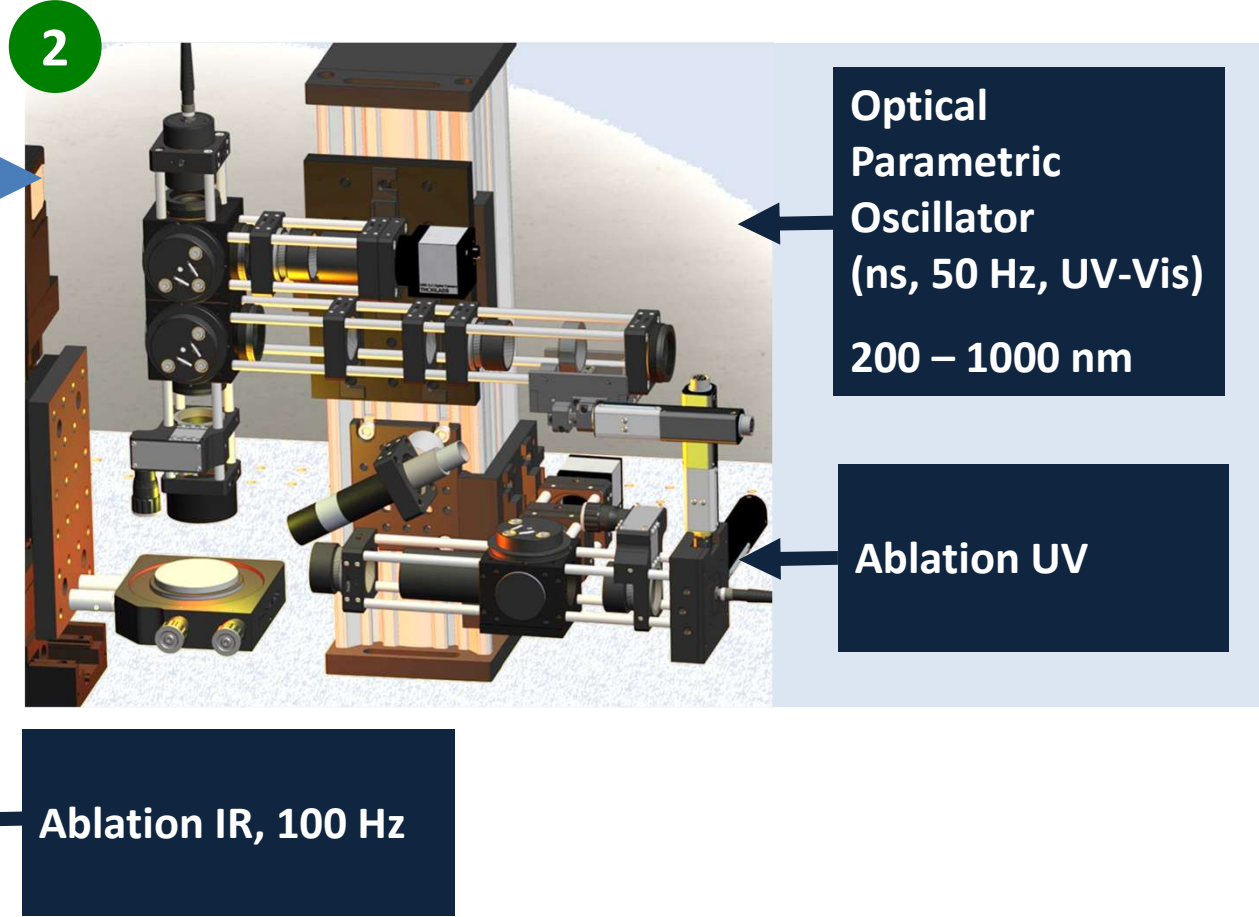
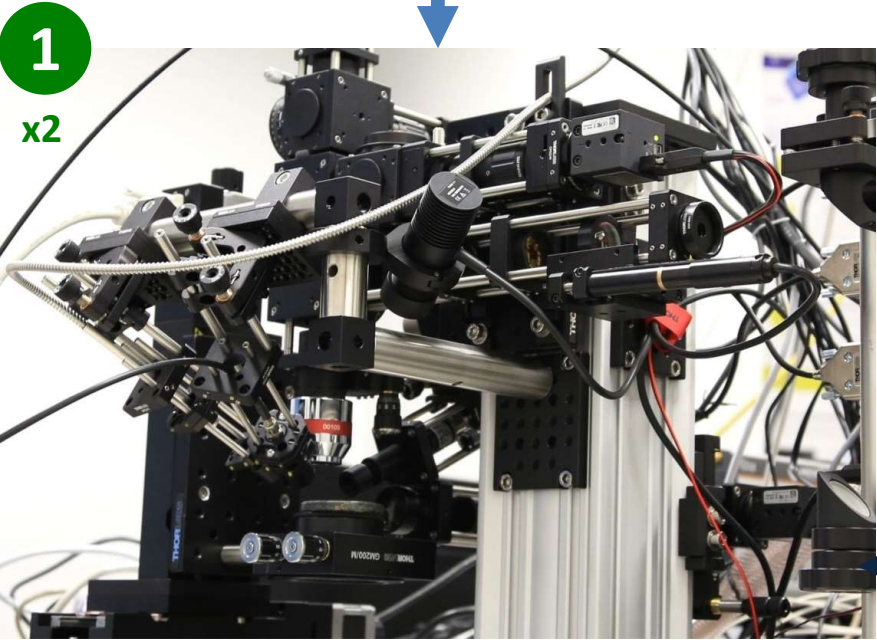
## OptoLYSE



## OPTOLYSE

Optical analysis platform financed by the CPER2016

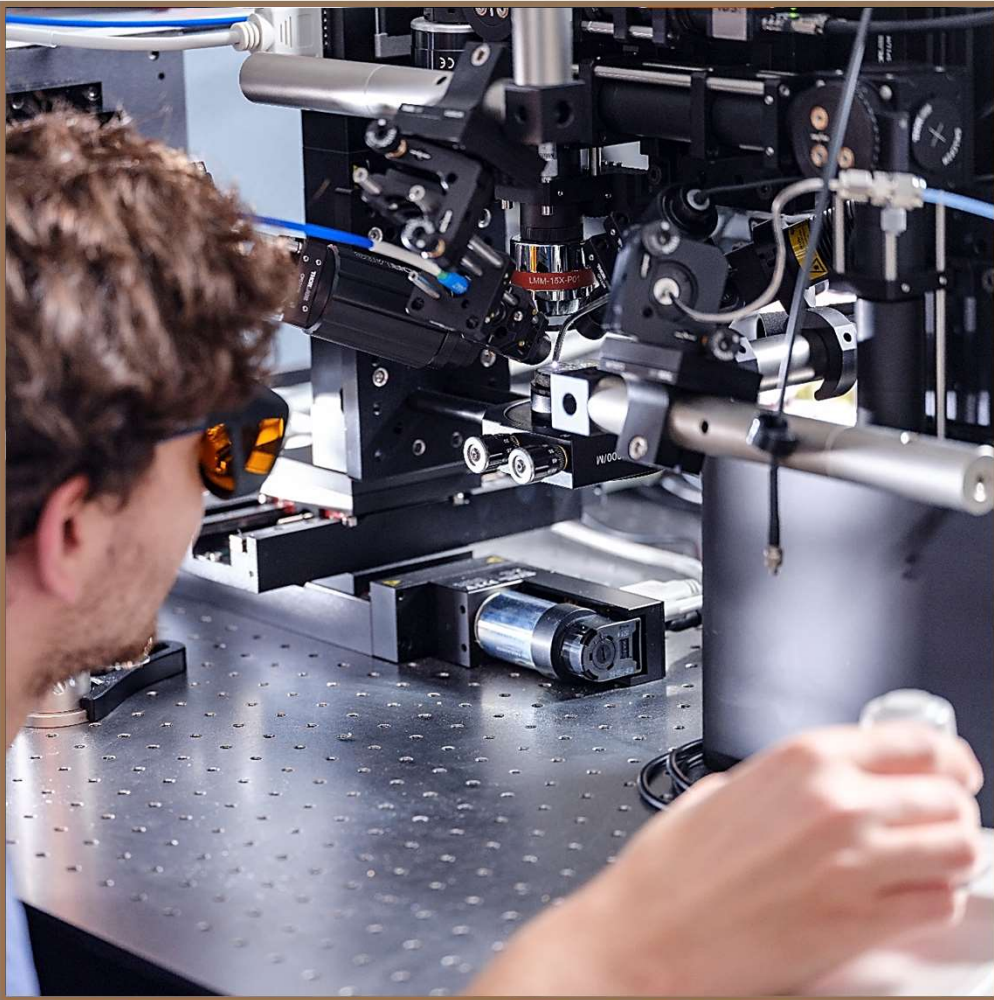
Project led by Christophe Dujardin, and implemented by Sylvain Hermelin.





# Plan

## Imagerie élémentaire par LIBS



**Bases**

**Chronologie**

**Principe**

**Passage en revue**

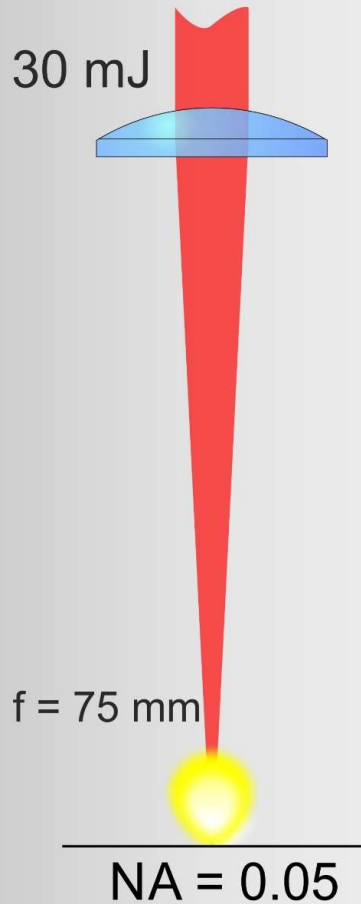
**Quelques exemples**

**Perspectives**

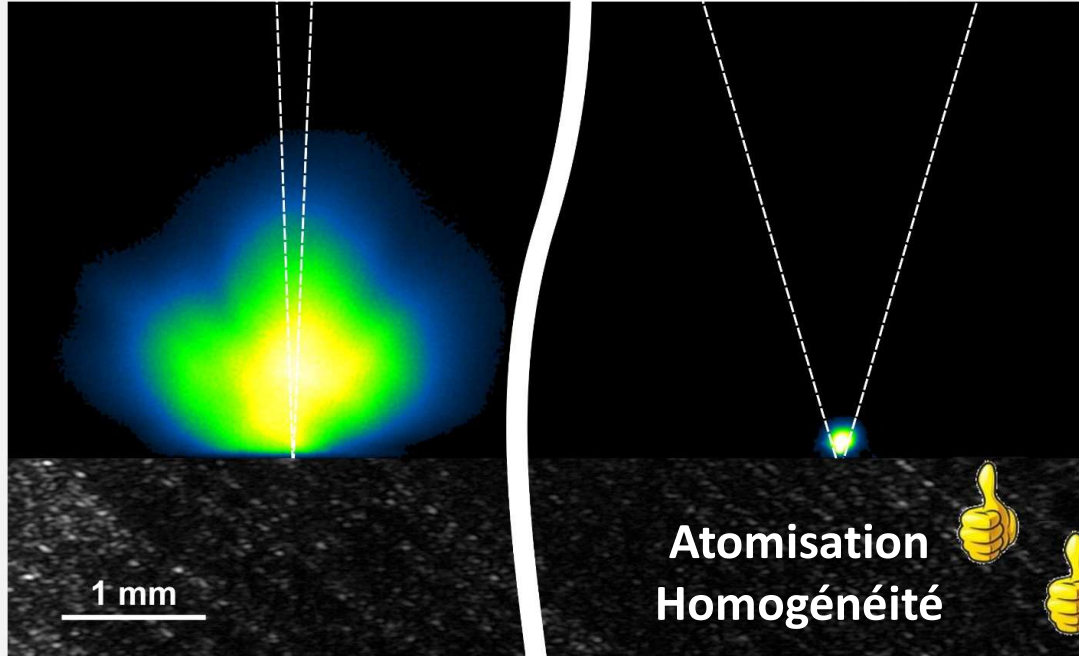
# $\mu$ -LIBS v.s. macro LIBS

## Configurations géométriques typiques

### Macro



$\sim 30 \mu\text{m}$  Spot size  $\sim 3 \mu\text{m}$   
 $> \text{mm}$  Plasma size  $\sim 200 \mu\text{m}$   
 $\sim \text{mm}$  Rayleigh  $\ell$   $\sim 20 \mu\text{m}$   
 $\sim \mu\text{g}$  Ablated Mass  $< \text{ng}$   
(at equivalent fluence)

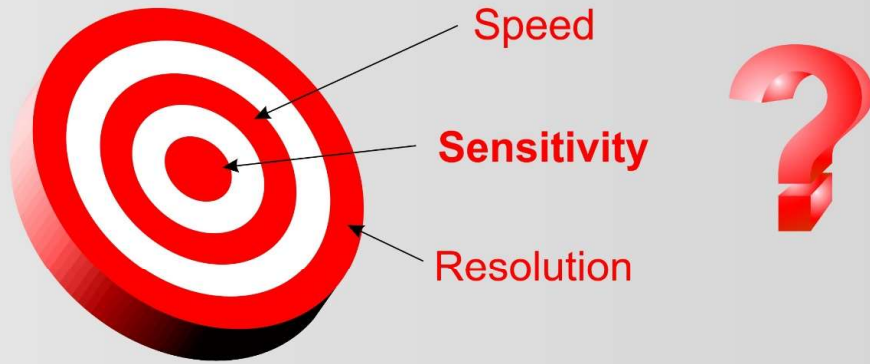


### Micro



# Imagerie $\mu$ -LIBS

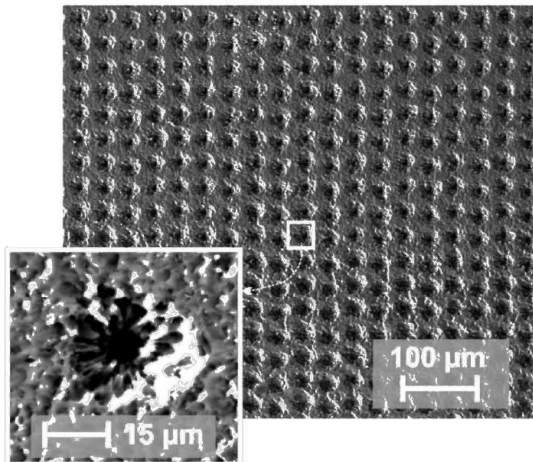
## En ce qui concerne les performances !?



### Resolution - Step Size

No overlap between consecutive laser shots to improve the repeatability

The accessible resolution (or step size) is ultimately governed by the laser-induced damage (crater size, damage induced by the shock wave, etc.)

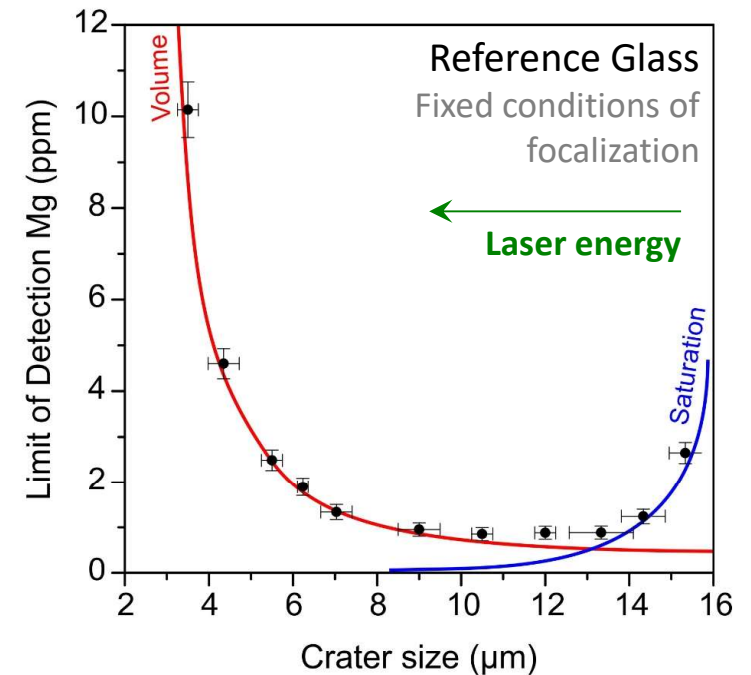


### Detection Limits

$$\text{LIBS signal} \sim f \cdot m_{abl}$$

Reducing the crater size (i.e. volume) decreases the ablated mass (plasma density), and so the LIBS signal...

→ Balance between resolution and LoDs



# Sensibilité

## Limite de détection

- < ppm
- < 20 ppm
- > 500 ppm

### Periodic Table And estimated LIBS LOD (ppm)

1 <b>H</b> hydrogen 200																	2 <b>He</b> helium <i>n.c.</i>						
3 <b>Li</b> lithium 0.1	4 <b>Be</b> beryllium 0.1																	5 <b>B</b> boron 1	6 <b>C</b> carbon 500	7 <b>N</b> nitrogen 10 000	8 <b>O</b> oxygen 10 000	9 <b>F</b> fluorine 100 000	10 <b>Ne</b> neon <i>n.c.</i>
11 <b>Na</b> sodium 0.7	12 <b>Mg</b> magnesium 0.3																	13 <b>Al</b> aluminum 2	14 <b>Si</b> silicon 10	15 <b>P</b> phosphorous 70	16 <b>S</b> sulphur 100	17 <b>Cl</b> chlorine 20 000	18 <b>Ar</b> argon <i>n.c.</i>
19 <b>K</b> potassium 4	20 <b>Ca</b> calcium 0.5	21 <b>Sc</b> scandium 2	22 <b>Ti</b> titanium 5	23 <b>V</b> vanadium 5	24 <b>Cr</b> chromium 4	25 <b>Mn</b> manganese 4	26 <b>Fe</b> iron 20	27 <b>Co</b> cobalt 5	28 <b>Ni</b> nickel 12	29 <b>Cu</b> copper 2	30 <b>Zn</b> zinc 5	31 <b>Ga</b> gallium 3	32 <b>Ge</b> germanium 7	33 <b>As</b> arsenic 8	34 <b>Se</b> selenium 100	35 <b>Br</b> bromine <i>n.c.</i>	36 <b>Kr</b> krypton <i>n.c.</i>						
37 <b>Rb</b> rubidium 10	38 <b>Sr</b> strontium 0.8	39 <b>Y</b> yttrium 4	40 <b>Zr</b> zirconium 12	41 <b>Nb</b> niobium 20	42 <b>Mo</b> molybdenum 8	43 <b>Tc</b> technetium <i>n.c.</i>	44 <b>Ru</b> ruthenium 12	45 <b>Rh</b> rhodium 10	46 <b>Pd</b> palladium 5	47 <b>Ag</b> silver 2	48 <b>Cd</b> cadmium 5	49 <b>In</b> indium 6	50 <b>Sn</b> tin 20	51 <b>Sb</b> antimony 5	52 <b>Te</b> tellurium 30	53 <b>I</b> iodine <i>n.c.</i>	54 <b>Xe</b> xenon <i>n.c.</i>						
55 <b>Cs</b> caesium 1 000	56 <b>Ba</b> barium 3	<b>R.E.E.</b>	72 <b>Hf</b> hafnium 3	73 <b>Ta</b> tantalum 10	74 <b>W</b> tungsten 90	75 <b>Re</b> rhenium 20	76 <b>Os</b> osmium 21	77 <b>Ir</b> iridium 14	78 <b>Pt</b> platinum 70	79 <b>Au</b> gold 12	80 <b>Hg</b> mercury 150	81 <b>Tl</b> thallium 5	82 <b>Pb</b> lead 8	83 <b>Bi</b> bismuth 4	84 <b>Po</b> polonium <i>n.c.</i>	85 <b>At</b> thallium <i>n.c.</i>	86 <b>Rn</b> radon <i>n.c.</i>						
87 <b>Fr</b> francium <i>n.c.</i>	88 <b>Ra</b> radium <i>n.c.</i>		57 <b>La</b> lanthanum 18	58 <b>Ce</b> cerium 500*	59 <b>Pr</b> praseodymium 200*	60 <b>Nd</b> neodymium 150	61 <b>Pm</b> promethium <i>n.c.</i>	62 <b>Sm</b> samarium 60	63 <b>Eu</b> europium 6	64 <b>Gd</b> gadolinium 40*	65 <b>Tb</b> terbium 40	66 <b>Dy</b> dysprosium 40*	67 <b>Ho</b> holmium 30	68 <b>Er</b> erbium 20	69 <b>Tm</b> thulium 20	70 <b>Yb</b> ytterbium 10	71 <b>Lu</b> lutetium 20						
			89 <b>Ac</b> actinium <i>n.c.</i>	90 <b>Th</b> thorium 10*	91 <b>Pa</b> proactinium <i>n.c.</i>	92 <b>U</b> uranium 10*	93 <b>Np</b> neptunium <i>n.c.</i>	94 <b>Pu</b> plutonium <i>n.c.</i>	95 <b>Am</b> americium <i>n.c.</i>	96 <b>Cm</b> curium <i>n.c.</i>	97 <b>Bk</b> berkelium <i>n.c.</i>	98 <b>Cf</b> californium <i>n.c.</i>	99 <b>Es</b> einsteinium <i>n.c.</i>	100 <b>Fm</b> fermium <i>n.c.</i>	101 <b>Md</b> mendelevium <i>n.c.</i>	102 <b>No</b> nobelium <i>n.c.</i>	103 <b>Lr</b> lawrencium <i>n.c.</i>						

\* Very dense spectral structure  
*n.c.* not present in the database

# Spectroscopie d'émission

## Quelques généralités

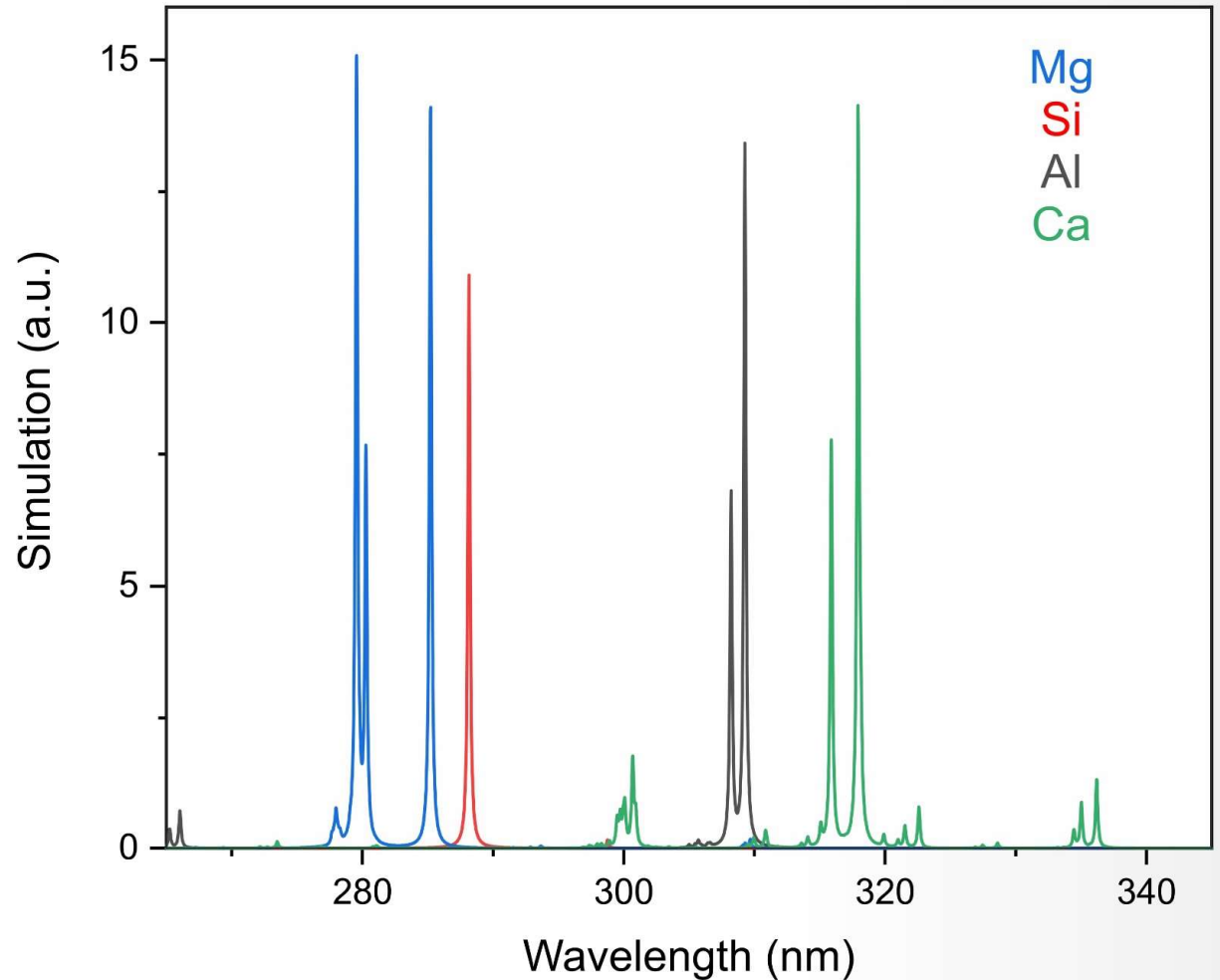
### Structure spectrale complexe

Certains éléments peuvent avoir un nombre de raies très importantes donnant lieu à des interférences spectrales

### Hétérogénéité des échantillons

Dans le cas des échantillons hétérogènes le traitement des données peut devenir très complexe

Kurucz simulation  $T_e = 9000\text{K}$ ,  $N_e = 5.10^{17} / \text{cm}^3$



# Spectroscopie d'émission

## Quelques généralités

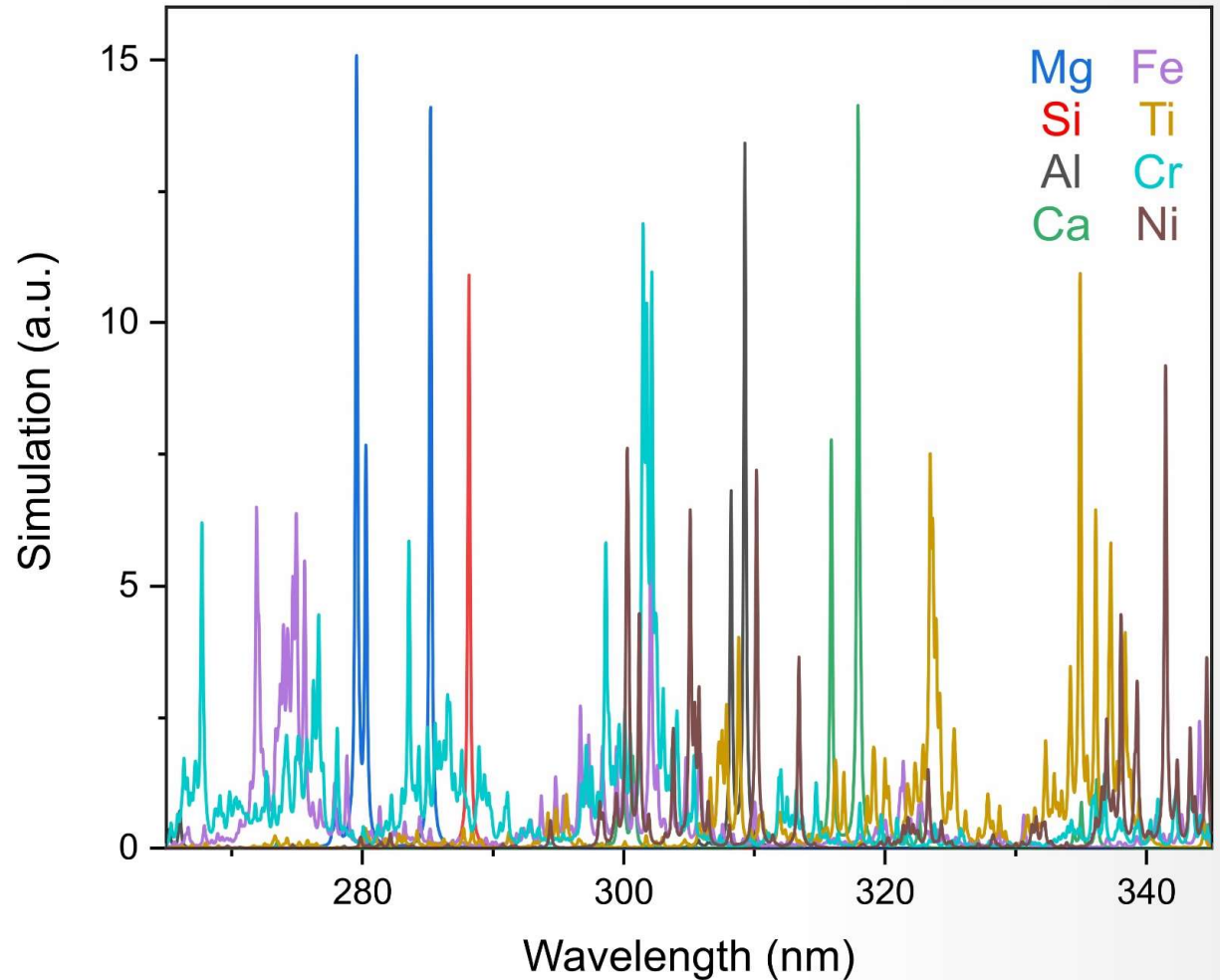
### Structure spectrale complexe

Certains éléments peuvent avoir un nombre de raies très importantes donnant lieu à des interférences spectrales

### Hétérogénéité des échantillons

Dans le cas des échantillons hétérogènes le traitement des données peut devenir très complexe

Kurucz simulation  $T_e = 9000\text{K}$ ,  $N_e = 5.10^{17} / \text{cm}^3$



# Spectroscopie d'émission

## Quelques généralités

### Structure spectrale complexe

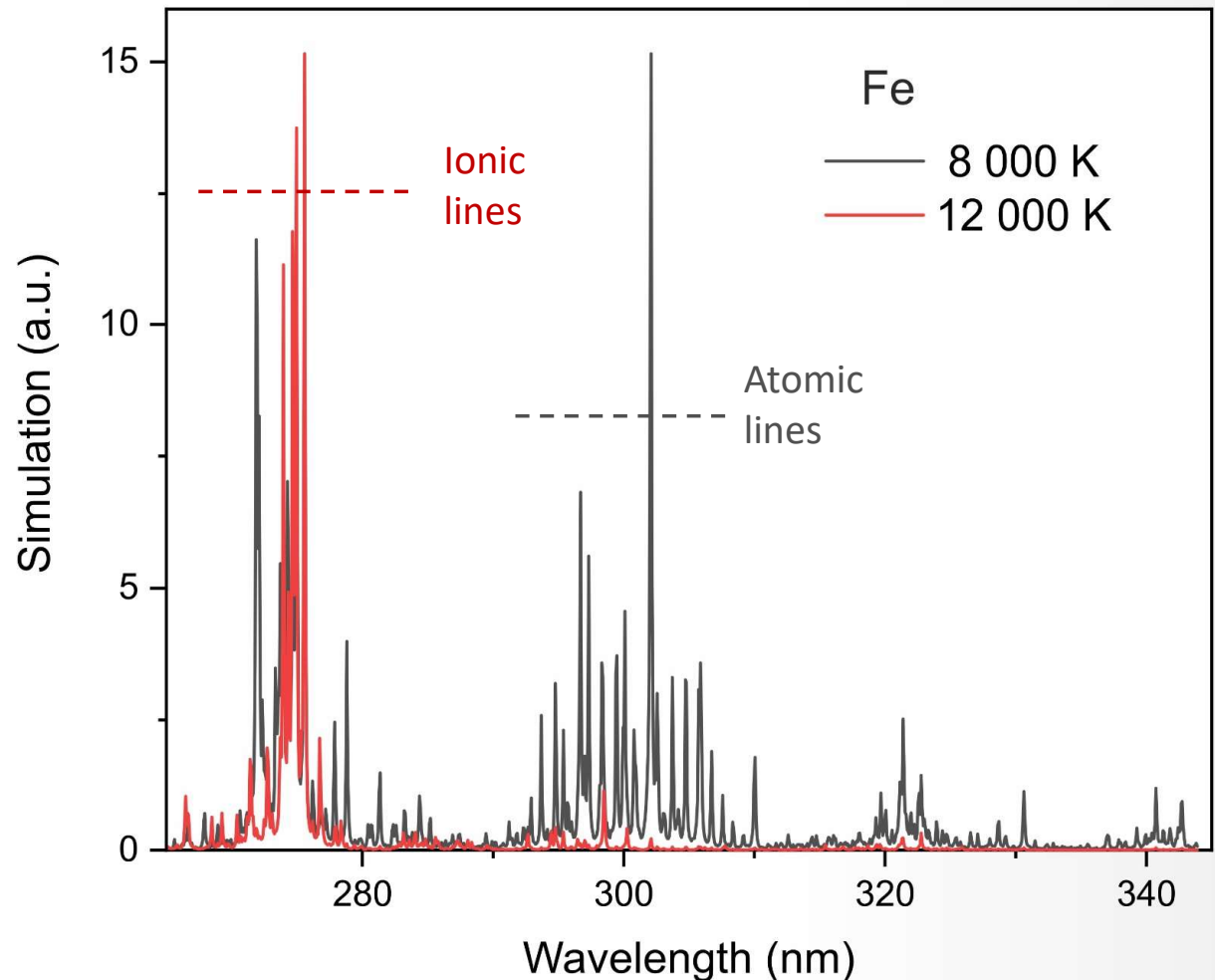
Certains éléments peuvent avoir un nombre de raies très importantes donnant lieu à des interférences spectrales

### Hétérogénéité des échantillons

Dans le cas des échantillons hétérogènes le traitement des données peut devenir très complexe

### Effets de matrice – dépendance des paramètres du plasma

Kurucz simulation,  $N_e = 1.10^{17} / \text{cm}^3$



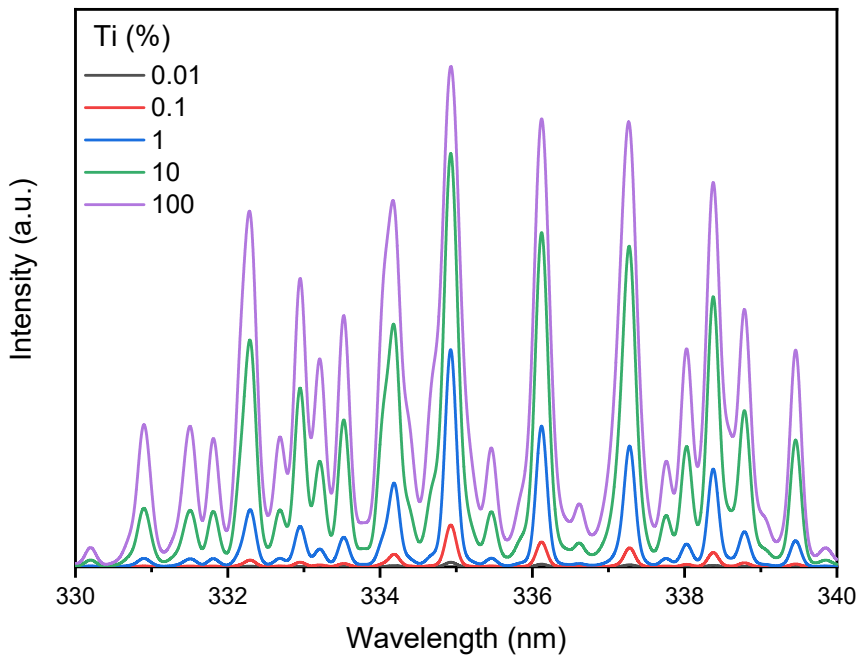
# Spectroscopie d'émission

## Quelques généralités

### Gamme dynamique de mesure

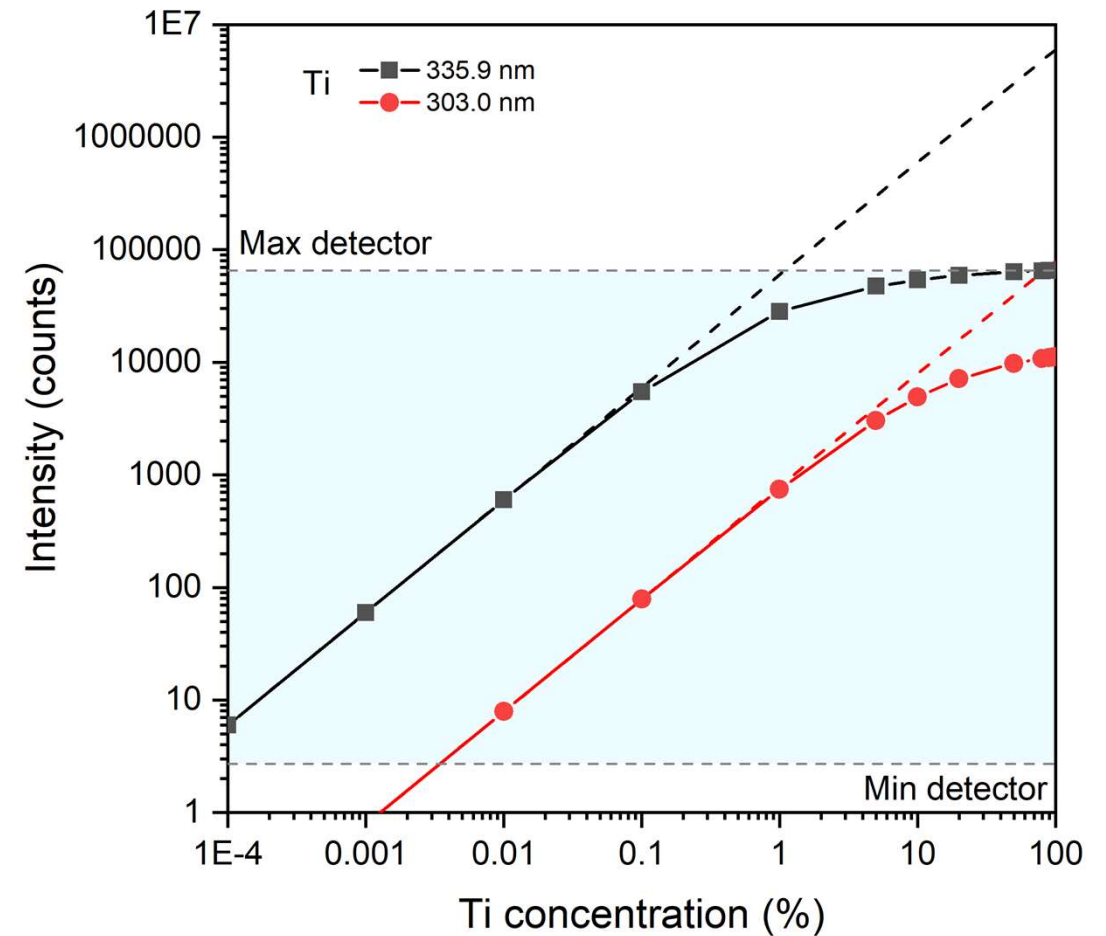
L'auto-absorption a pour effet de saturer les hautes concentrations

→ Extension de la gamme dynamique de mesure ~ 4/5 ordres de grandeurs



Simulation J. Hermann  
(LP3, Marseille)

### Ti dans SiO<sub>2</sub>





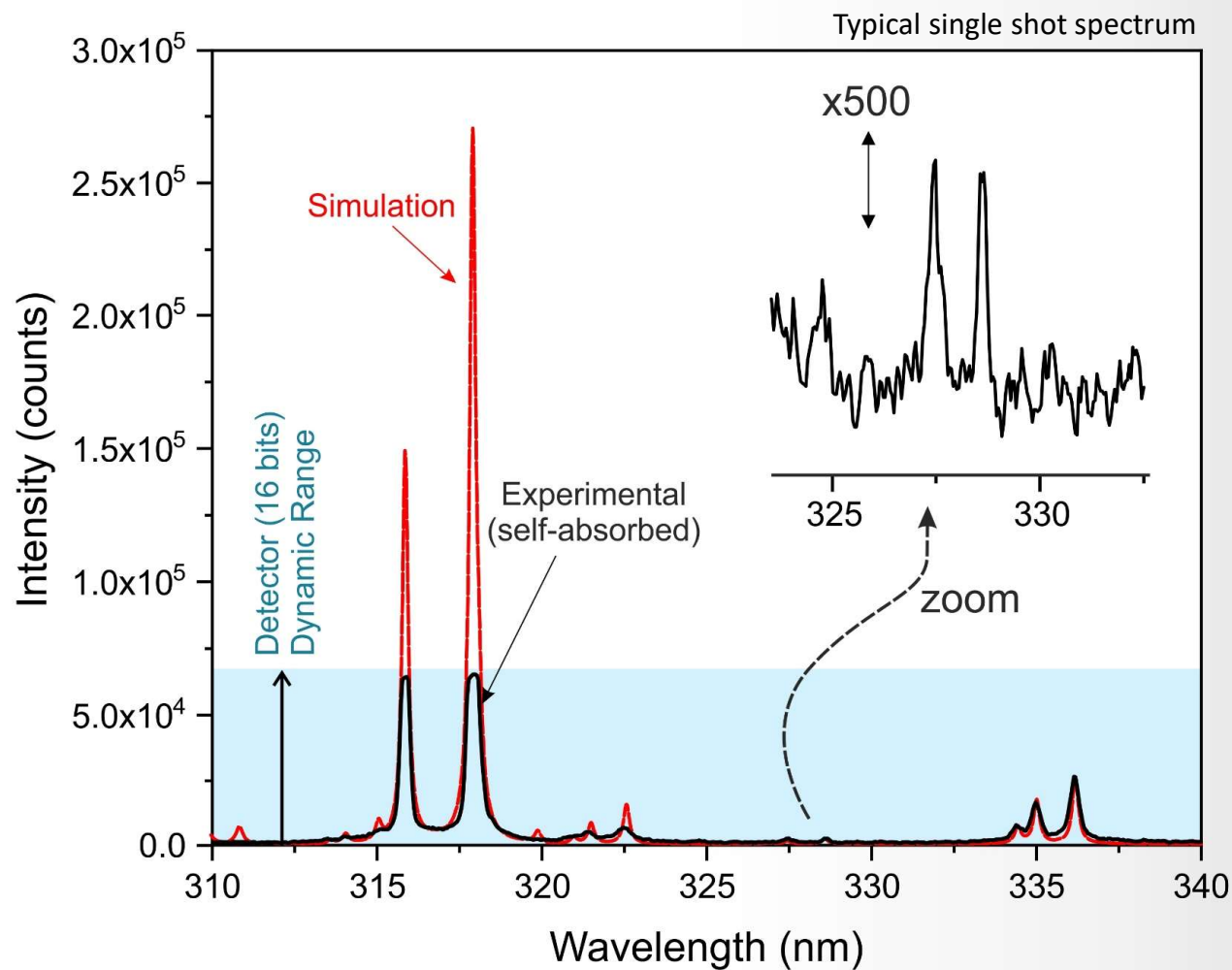
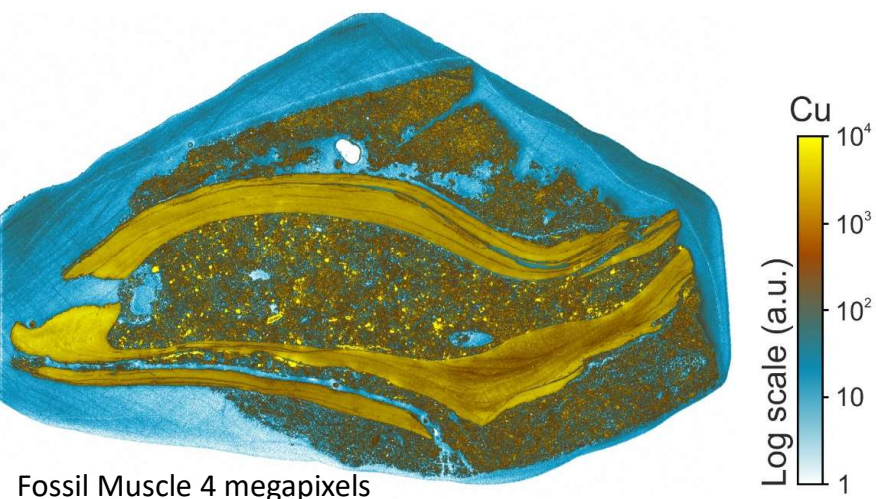
# Spectroscopie d'émission

## Quelques généralités

### Gamme dynamique de mesure

L'auto-absorption a pour effet de saturer les hautes concentrations

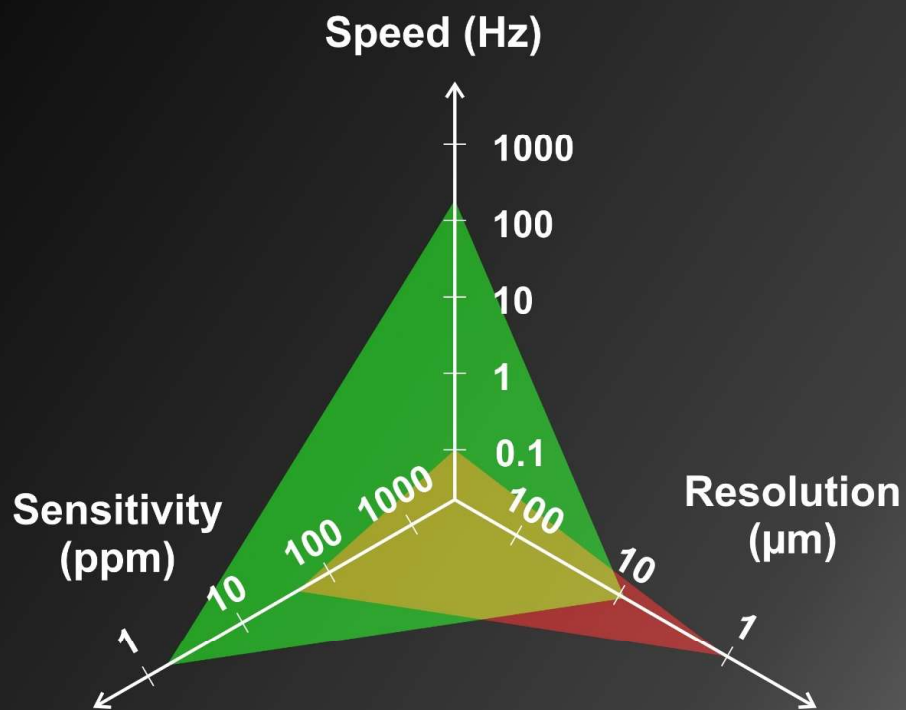
→ Extension de la gamme dynamique de mesure ~ 4/5 ordres de grandeurs



# Imagerie LIBS parmi les techniques élémentaire

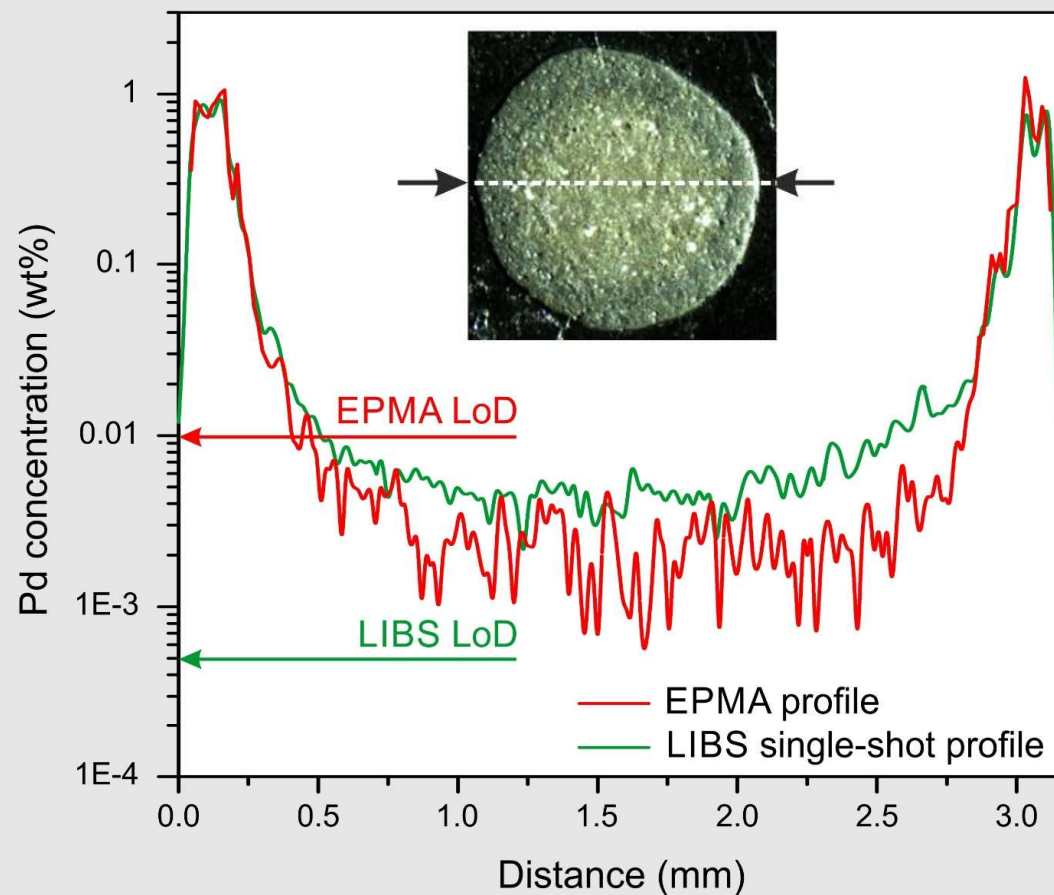
## LIBS v.s. EPMA

### LIBS v.s. Microprobe



F. Trichard *et al.* Spectrochim. Act. B (2017)

### Alumina-based Catalyst



Time for the analysis: EPMA 1,5 hour / LIBS 2 seconds

# Imagerie LIBS

## Etat des lieux

### Performances

Vitesse: 100 Hz

Résolution: 10 μm

LoDs: 1-10 ppm

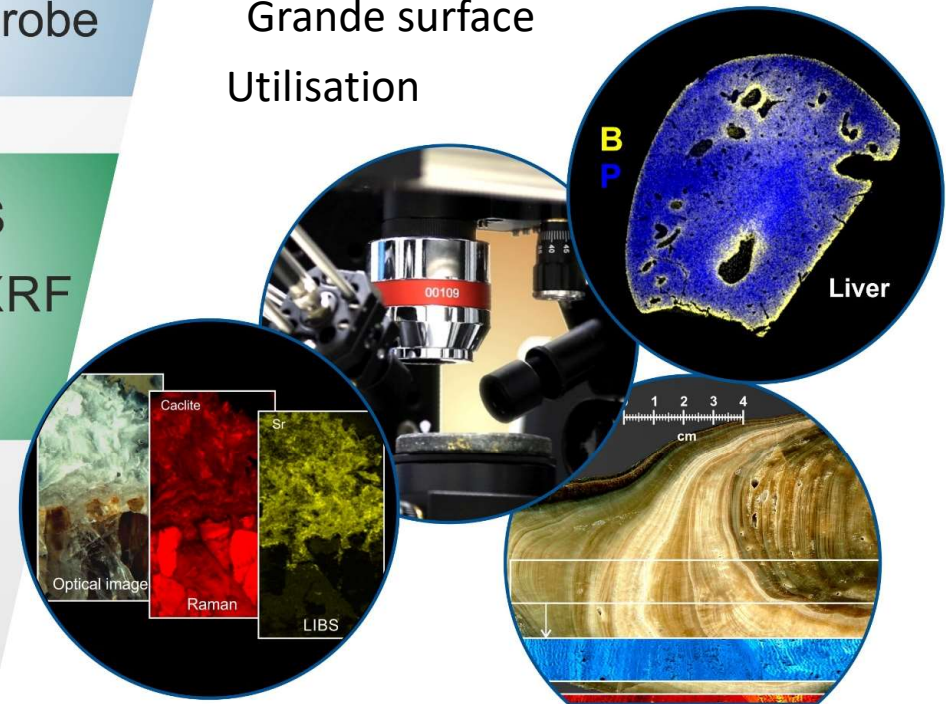
### Parmi les techniques d'imagerie élémentaire

SEM-EDX  
Electron Microprobe

### Spécificités

Conditions ambiantes  
éléments légers  
Tout-optique  
Grande surface  
Utilisation

LA-ICP-MS  
Synchrotron μXRF  
LIBS

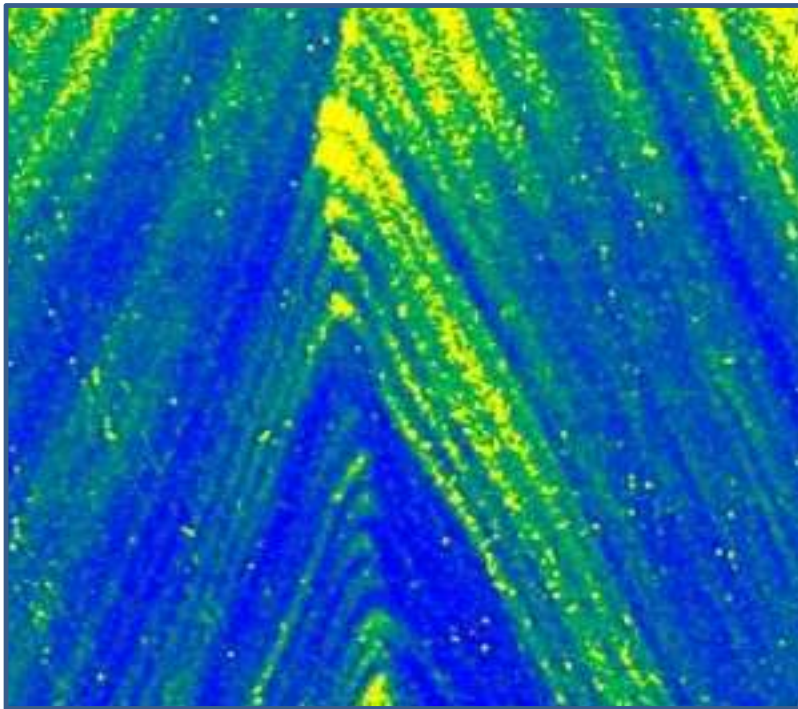


H																				He
Li	Be									B	C	N	O	F						Ne
Na	Ca									Al	Si	P	S	Cl						Ar
K	Mg	Sc	Ti	V	Cr	Mn	Fe	Co	Ni	Cu	Zn	Ga	Ge	As	Se	Br				Kr
Rb	Sr	Y	Zr	Nb	Mo	Tc	Ru	Rh	Pd	Ag	Cd	In	Sn	Sb	Te	I				Xe
Cs	Ba	La	Hf	Ta	W	Re	Os	Ir	Pt	Au	Hg	Tl	Pb	Bi	Po	At				Rn
Fr	Ra	Ac	La	Ce	Pr	Nd	Pm	Sm	Eu	Gd	Tb	Dy	Ho	Er	Tm	Yb	Lu			
			Ac	Th	Pa	U	Np	Pu	Am	Cm	Bk	Cf	Es	Fm	Md	No	Lr			

< ppm  
 > 500 ppm  
 < 20 ppm  
 u.n.

# Plan

## Imagerie élémentaire par LIBS



**Bases**

**Chronologie**

**Principe &  
Instrumentation**

**Passage en revue**

**Quelques exemples**

**Perspectives**

# Imagerie LIBS pour les cristaux à l'ILM

## Collaborateurs

Guillaume Alombert-Goget

Kheirreddine Lebbou

Philippe Veber

Matias Velazquez

Saphirs  $\text{Al}_2\text{O}_3$

Cristaux Piézoélectrique  $\text{BaTiO}_3$

LMO  $\text{Li}_2\text{MoO}_4$

Christophe Dujardin

Sylvain Hermelin

OPTOLYSE

# Exemples de résultats

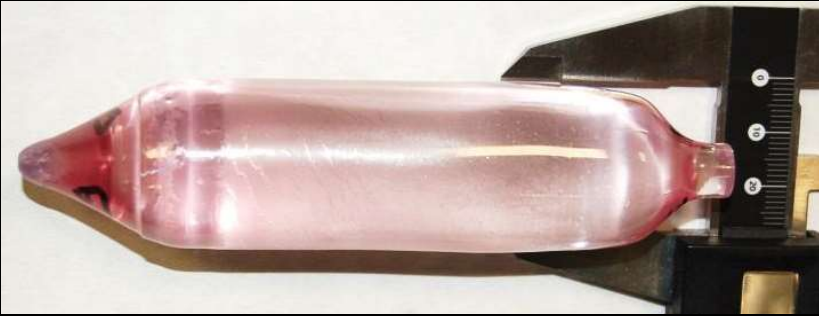
## Saphirs

G. Alombert-Goget et al.

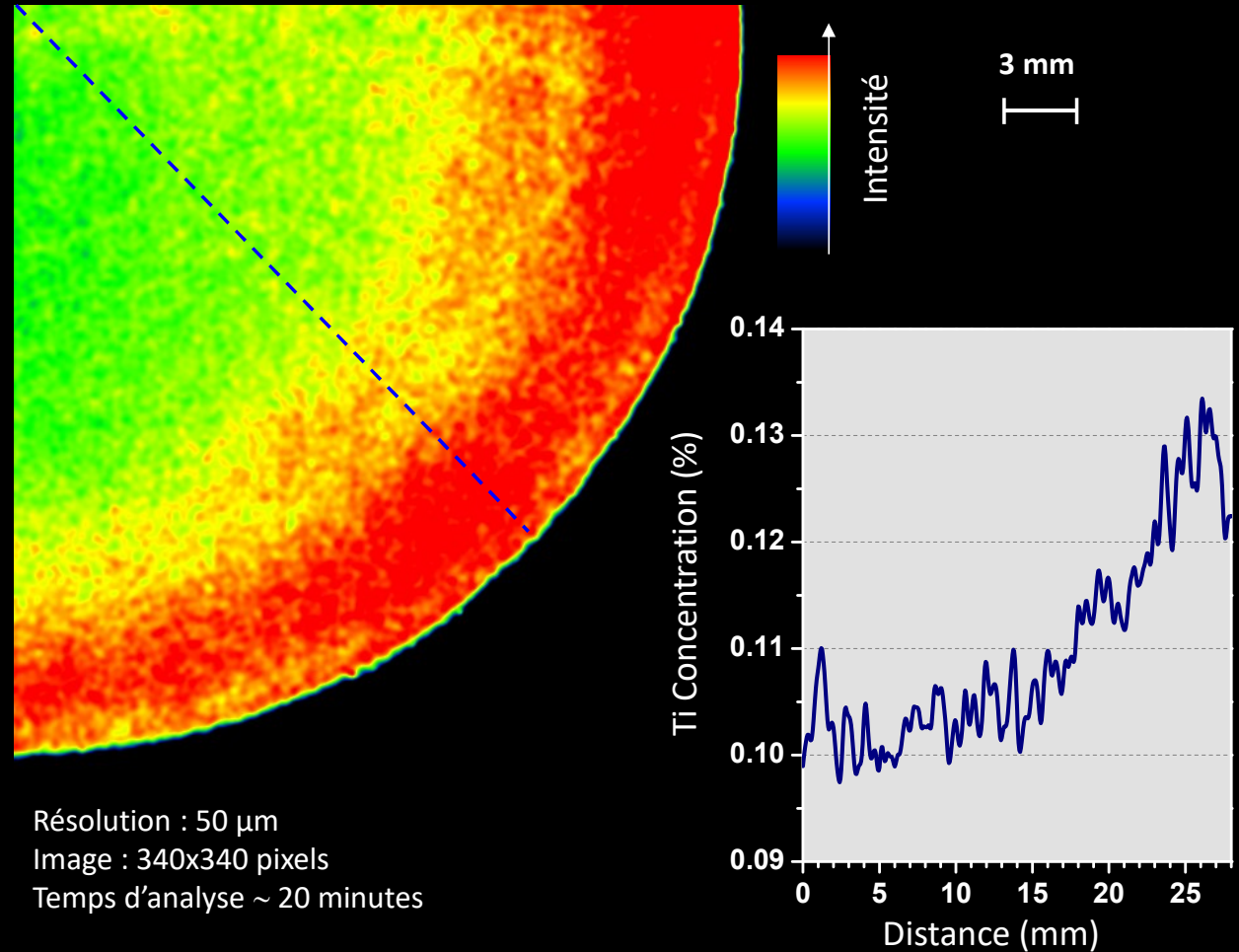
*Titanium distribution profiles obtained by luminescence and LIBS measurements on Ti: Al<sub>2</sub>O<sub>3</sub> grown by Czochralski and Kyropoulos techniques, Optical Materials, (2016).*

**ILM** G. Alombert-Goget, H. Li, K. Lebbou

**RSA le RUBIS**



### Images du Titane dans un saphir

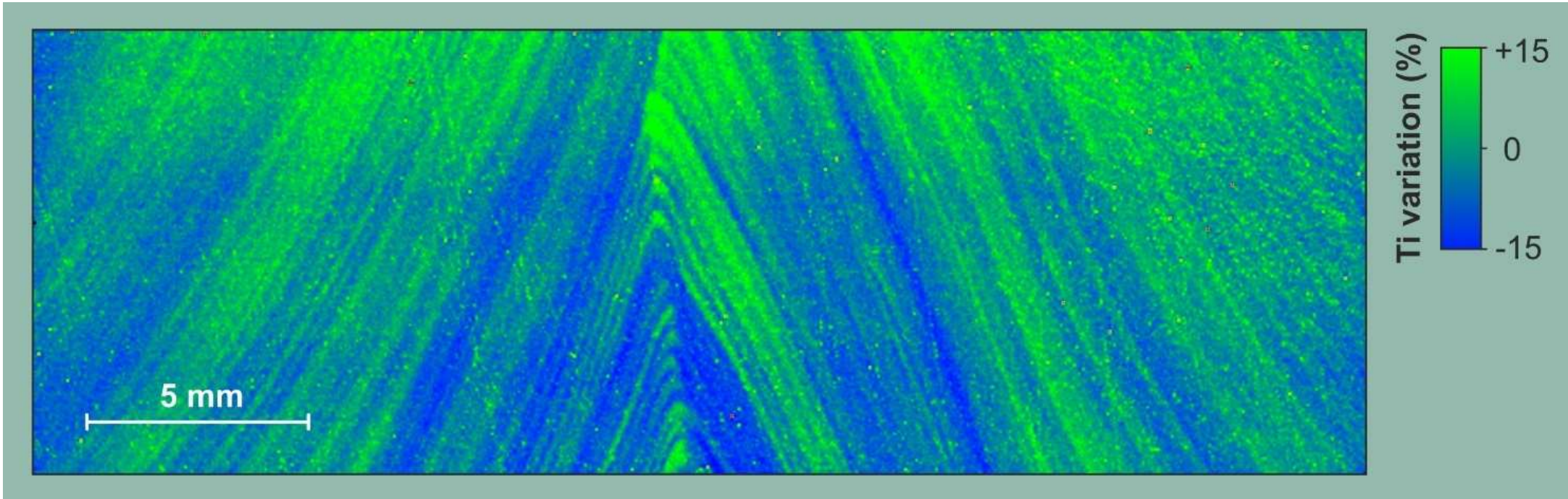
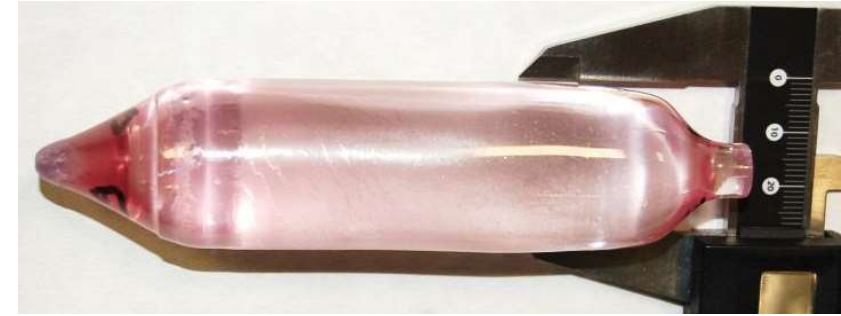


# Exemples de résultats

## Saphirs

*ILM* Alombert-Goget, H. Li, K. Lebbou

*RSA le RUBIS*

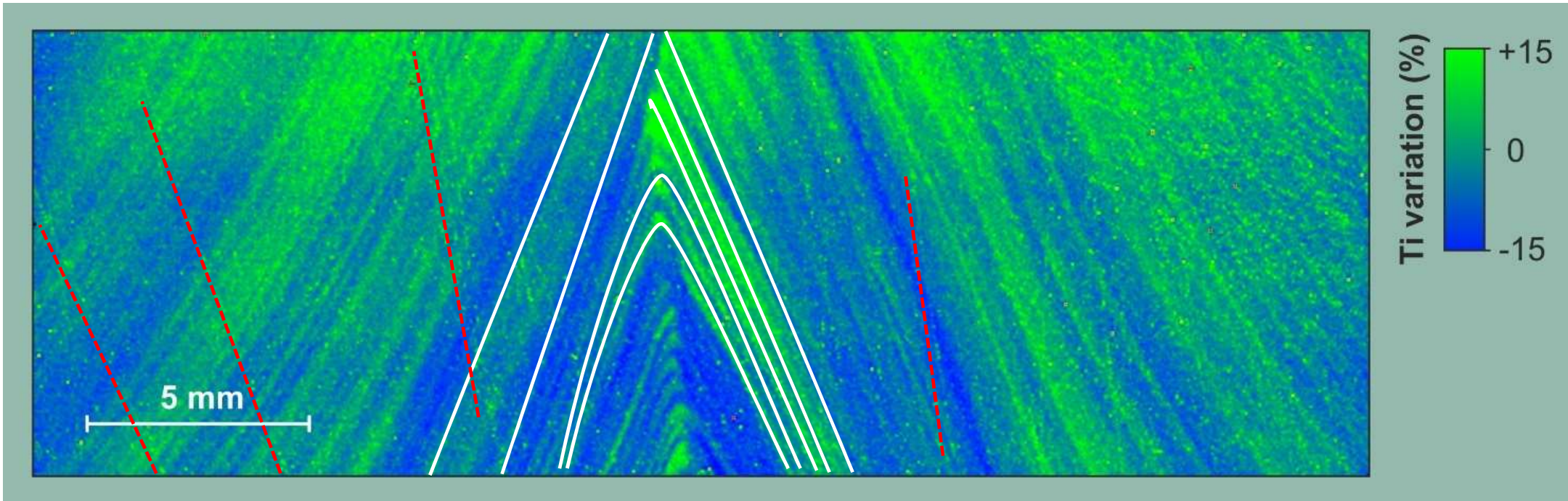
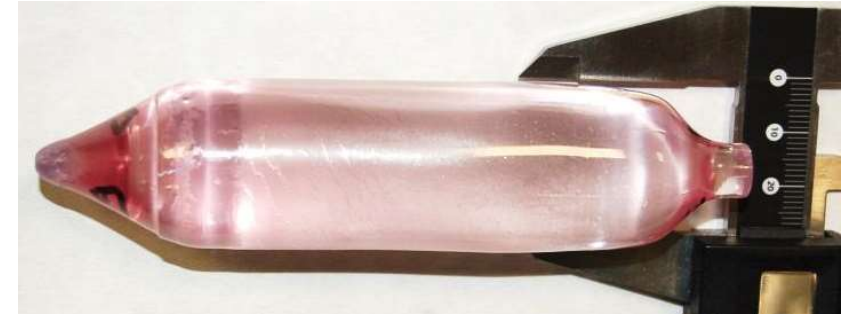


# Exemples de résultats

## Saphirs

*ILM* Alombert-Goget, H. Li, K. Lebbou

*RSA le RUBIS*



\* Contamination de surface

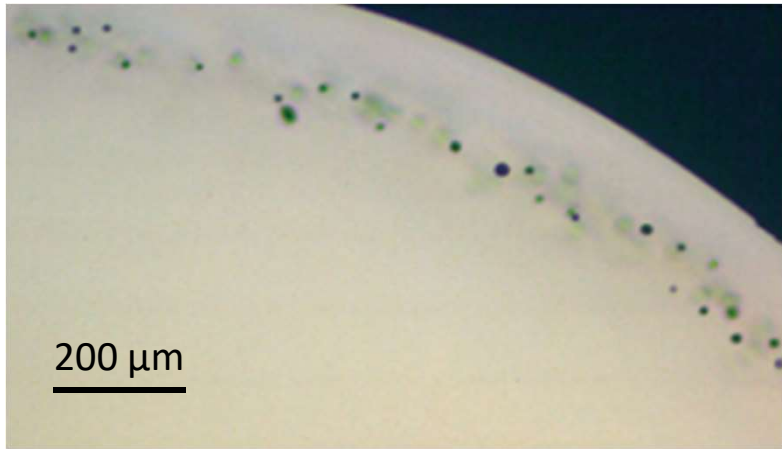
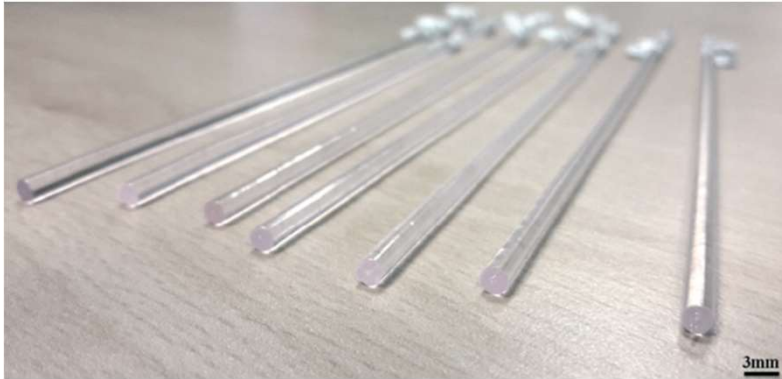


# Exemples de résultats Saphirs

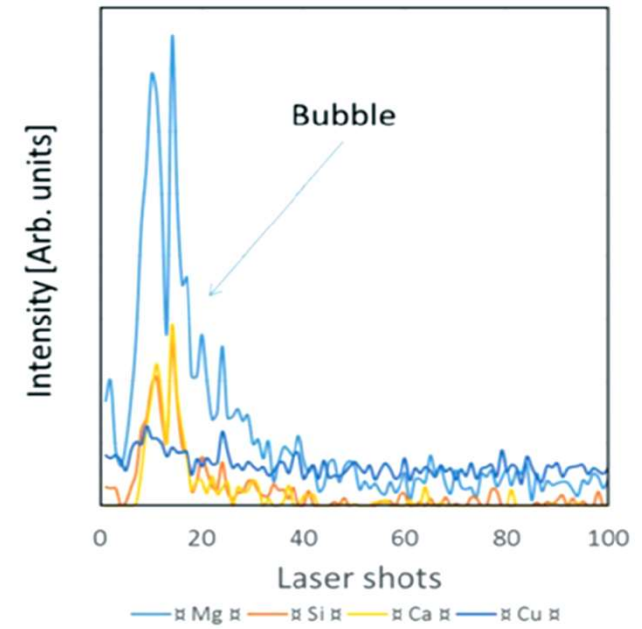
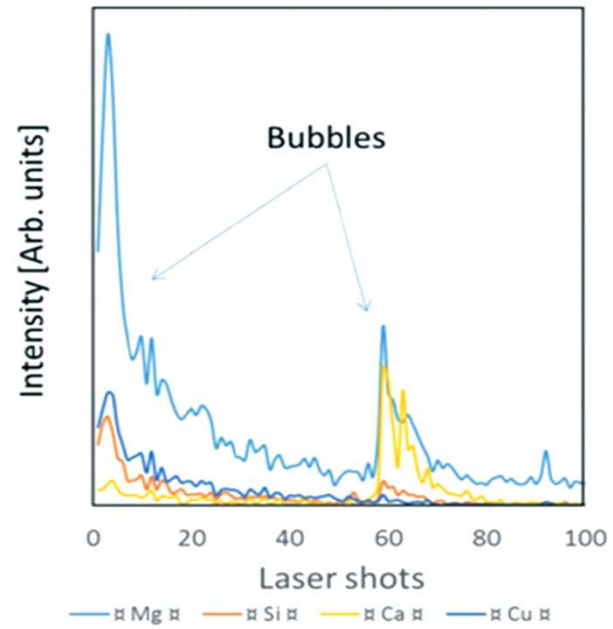
R. Bouaita et al.

*Seed orientation and pulling rate effects on bubbles and strain distribution on a sapphire crystal grown by the micro-pulling down method, CrystEngComm 21(25), (2019).*

**ILM** Alombert-Goget, R. Bouita, K. Lebbou



Ablation :  $\sim 1 \mu\text{m} / \text{tir}$

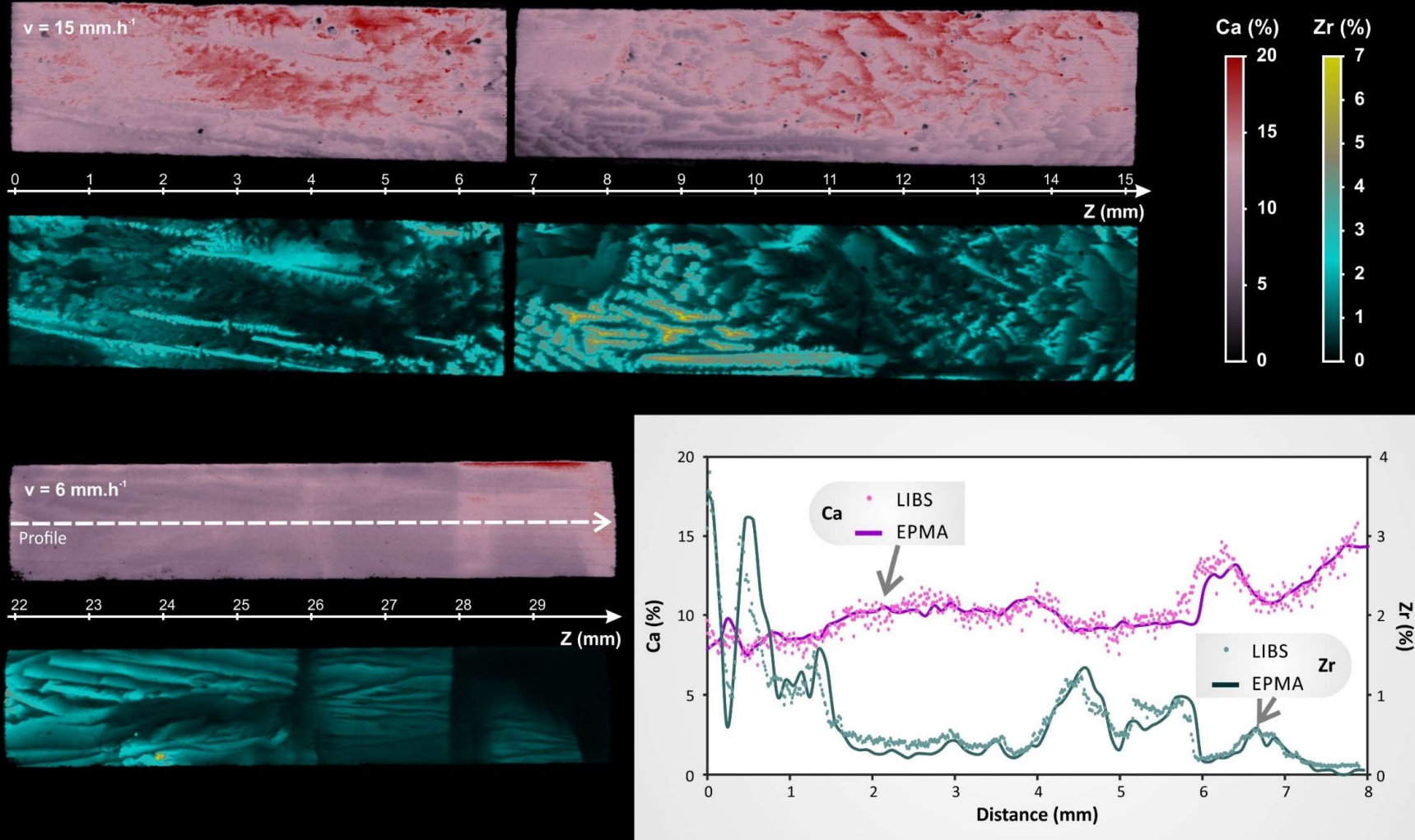


# Exemples de résultats Cristaux piézoélectriques

P. Veber et al.

Lead-free piezoelectric crystals grown by the micro-pulling down technique in the BaTiO<sub>3</sub>-CaTiO<sub>3</sub>-BaZrO<sub>3</sub> system, CrystEngComm 21, 3844 (2019).

ILM P. Veber

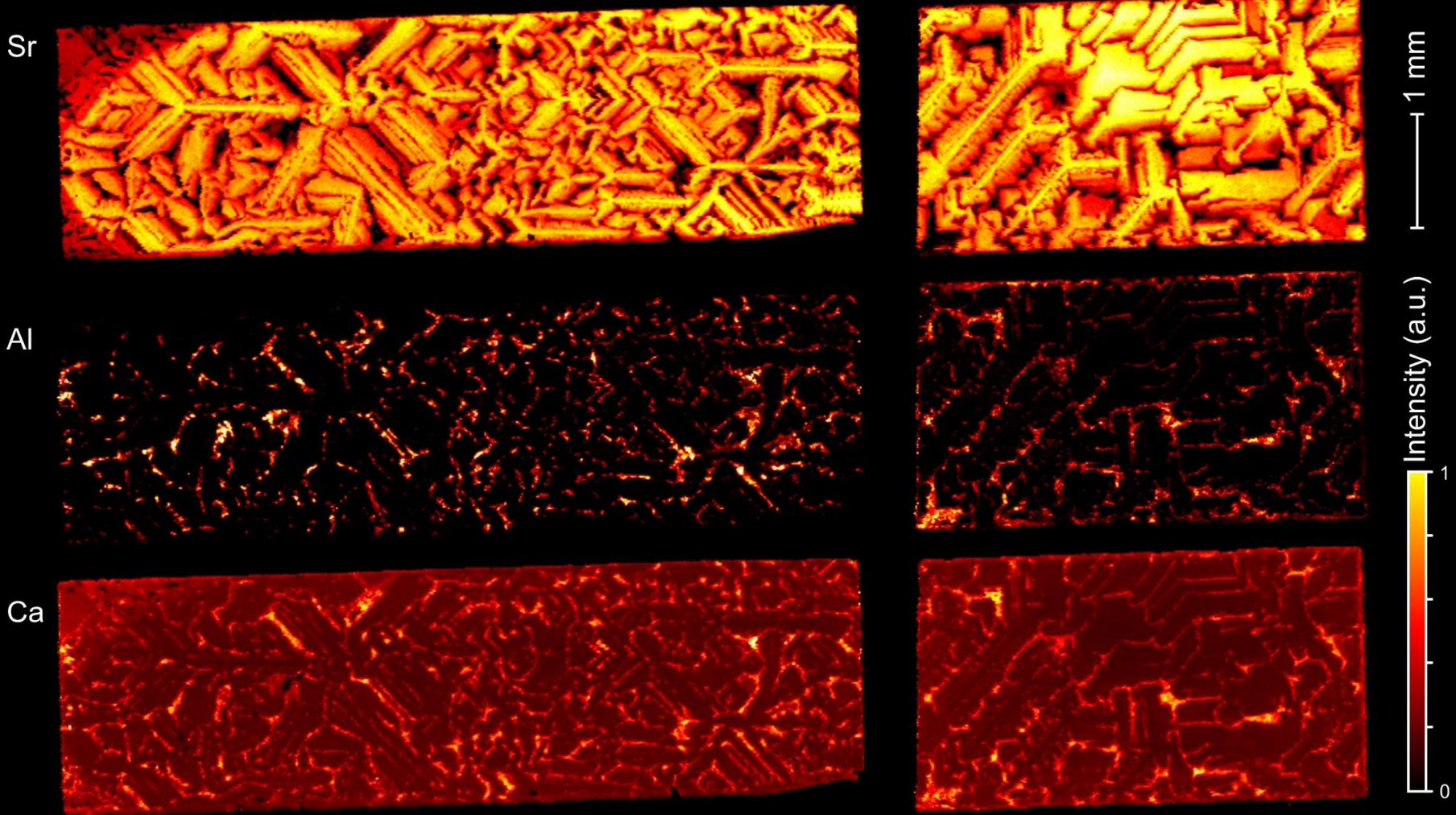


# Exemples de résultats Cristaux piézoélectriques

P. Veber et al.

*Highly textured lead-free piezoelectric polycrystals grown by the micro-pulling down freezing technique in the BaTiO<sub>3</sub>-CaTiO<sub>3</sub> system, CrystEngComm 22 (30) (2020).*

ILM P. Veber



# Exemples de résultats

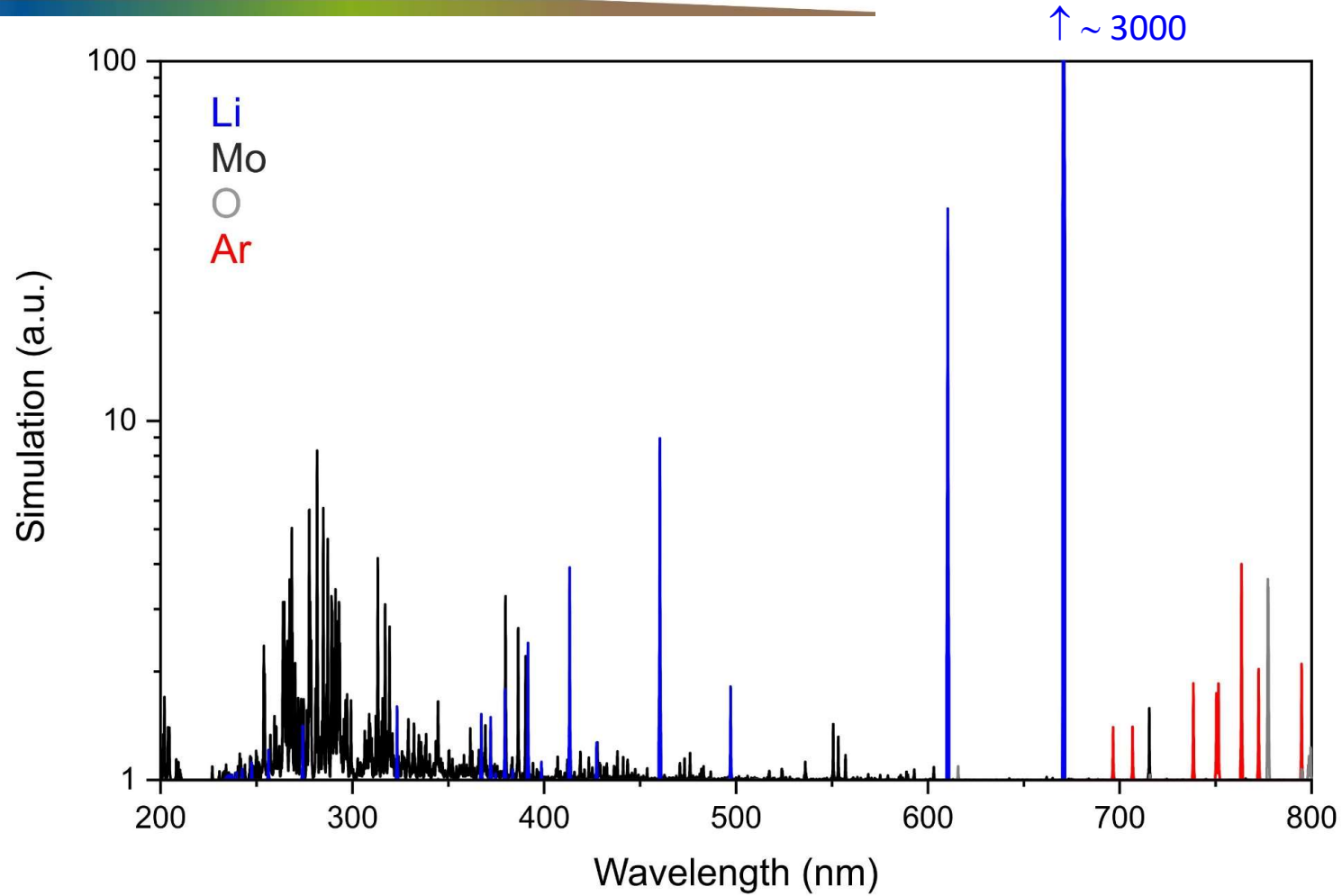
## LMO – préparation de l'expérience

M. Velazquez



Traces  
recherchées :

K et W



Kurucz simulation

$T_e = 10000\text{K}$

$N_e = 5.10^{17} / \text{cm}^3$

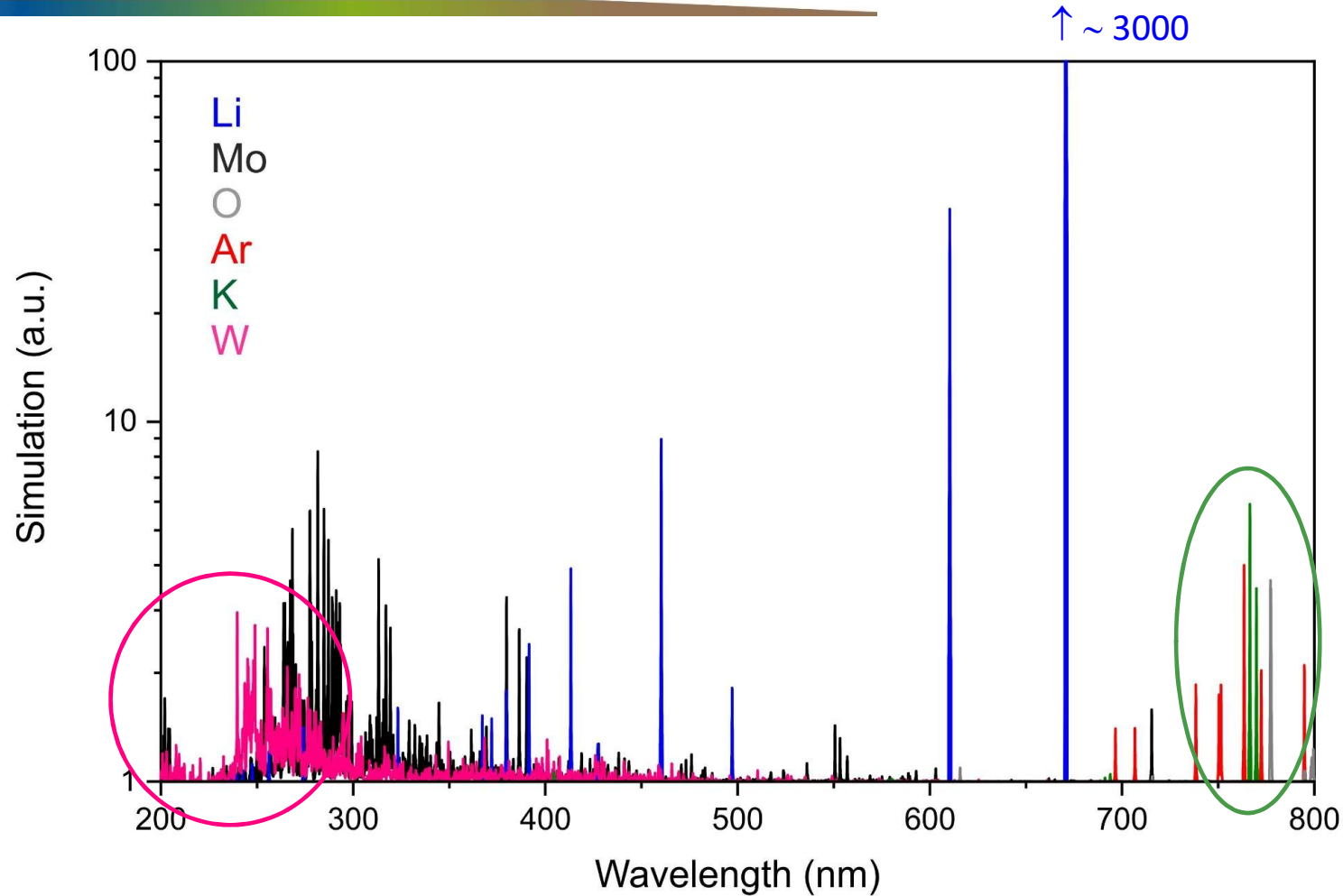
# Exemples de résultats

## LMO – préparation de l'expérience

M. Velazquez



Traces  
recherchées :  
K et W



Kurucz simulation  
 $T_e = 10000\text{K}$   
 $N_e = 5.10^{17} / \text{cm}^3$

Systeme de  
detection  
actuel peu  
sensible!

# Exemples de résultats

## LMO – Résultats

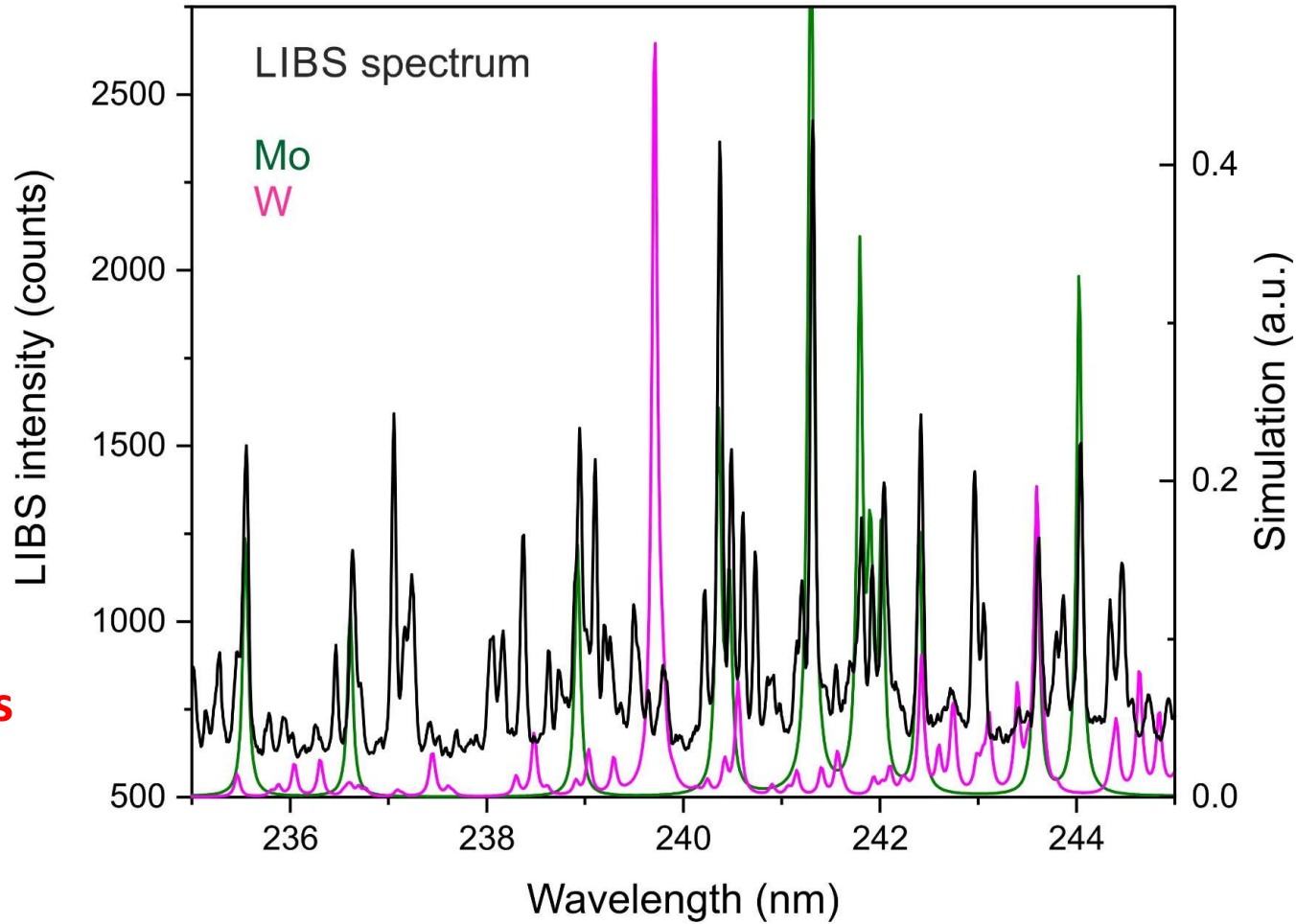
M. Velazquez



Traces  
recherchées :

K et W

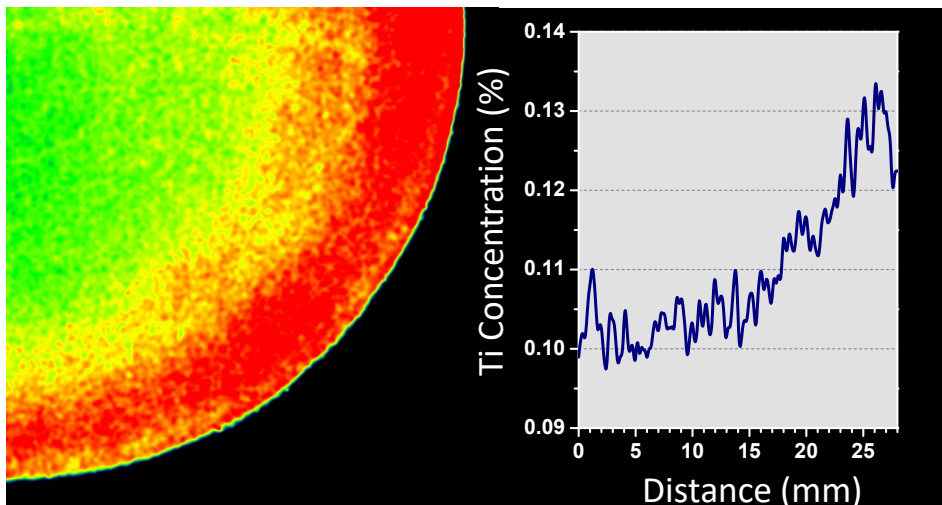
Bases de données  
non complètes...



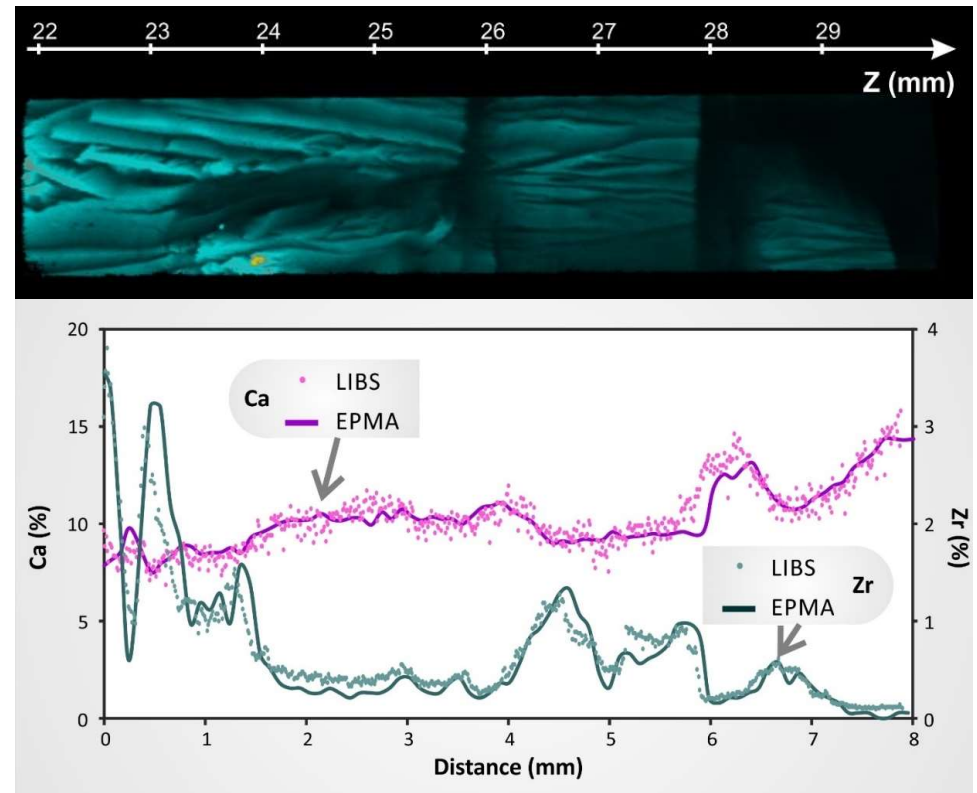
# Pour finir

## Et à propos de la quantification?

- 1) Comme les méthodes « classiques » besoin d'étalons... mais...
- 2) Hypothèse que les données de surface sont représentatives du volume

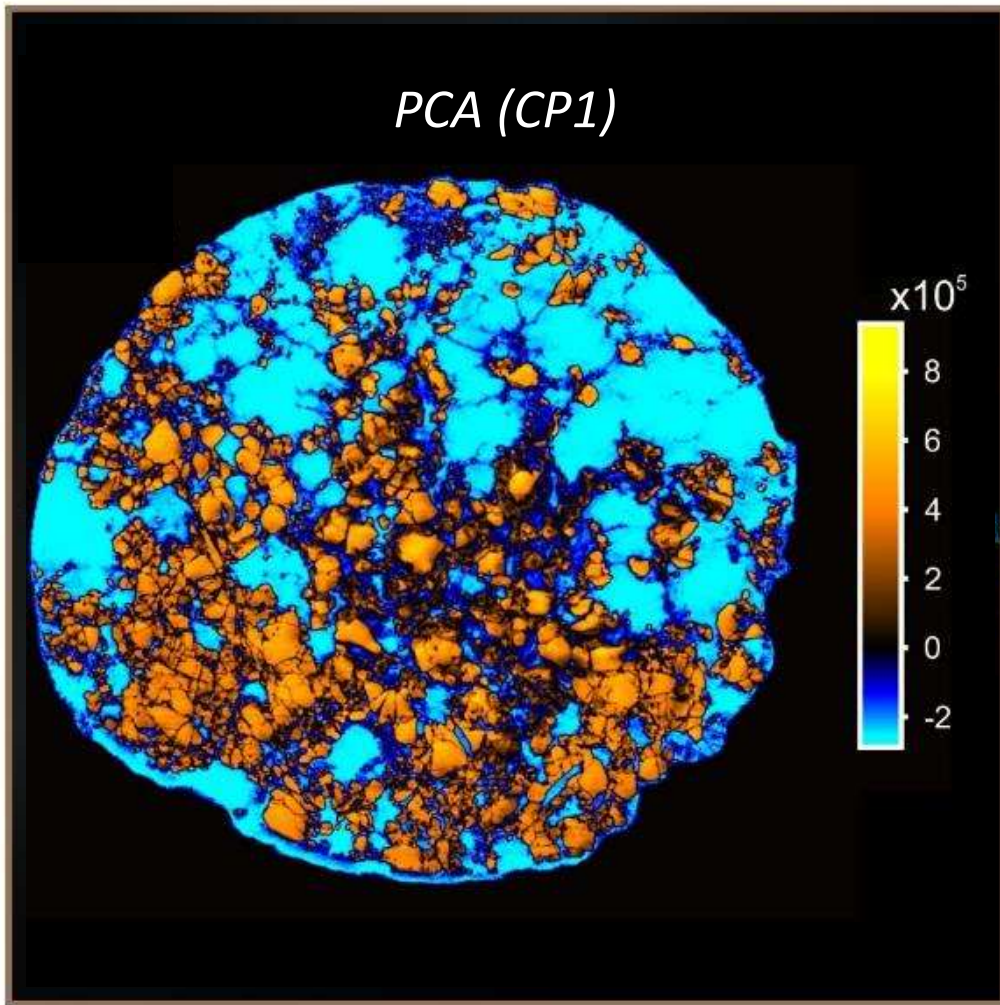


- 3) Utilisation d'autres techniques



# Plan

## Imagerie élémentaire par LIBS



Bases

Chronologie

Principe &  
Instrumentation

Passage en revue

Quelques exemples

Perspectives

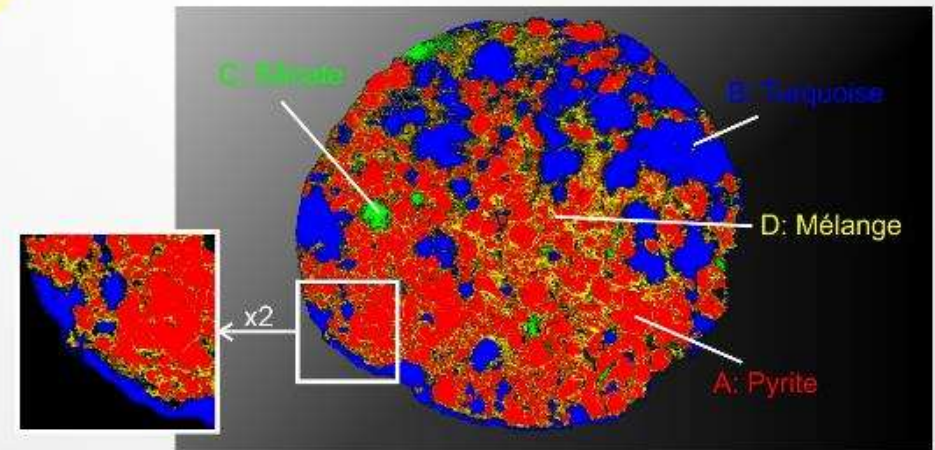
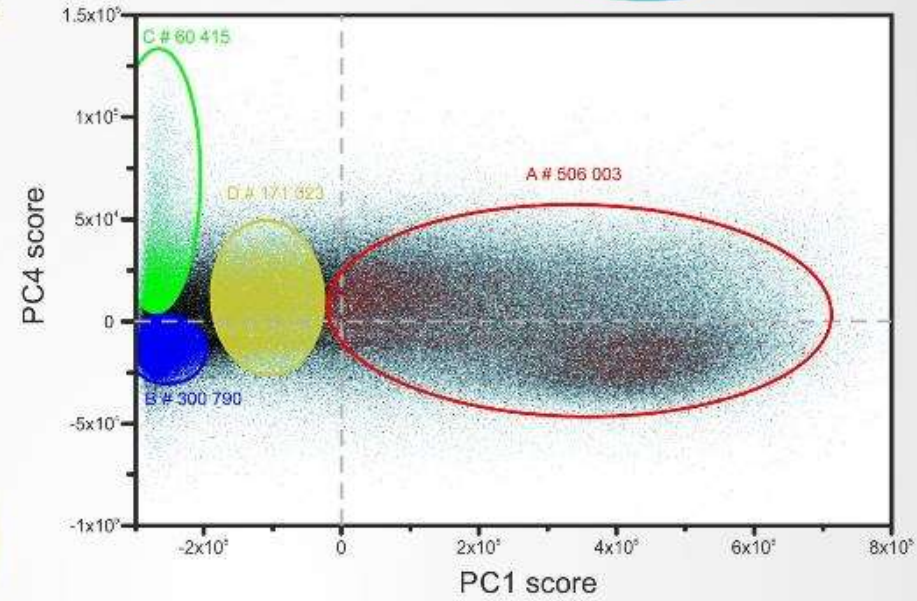
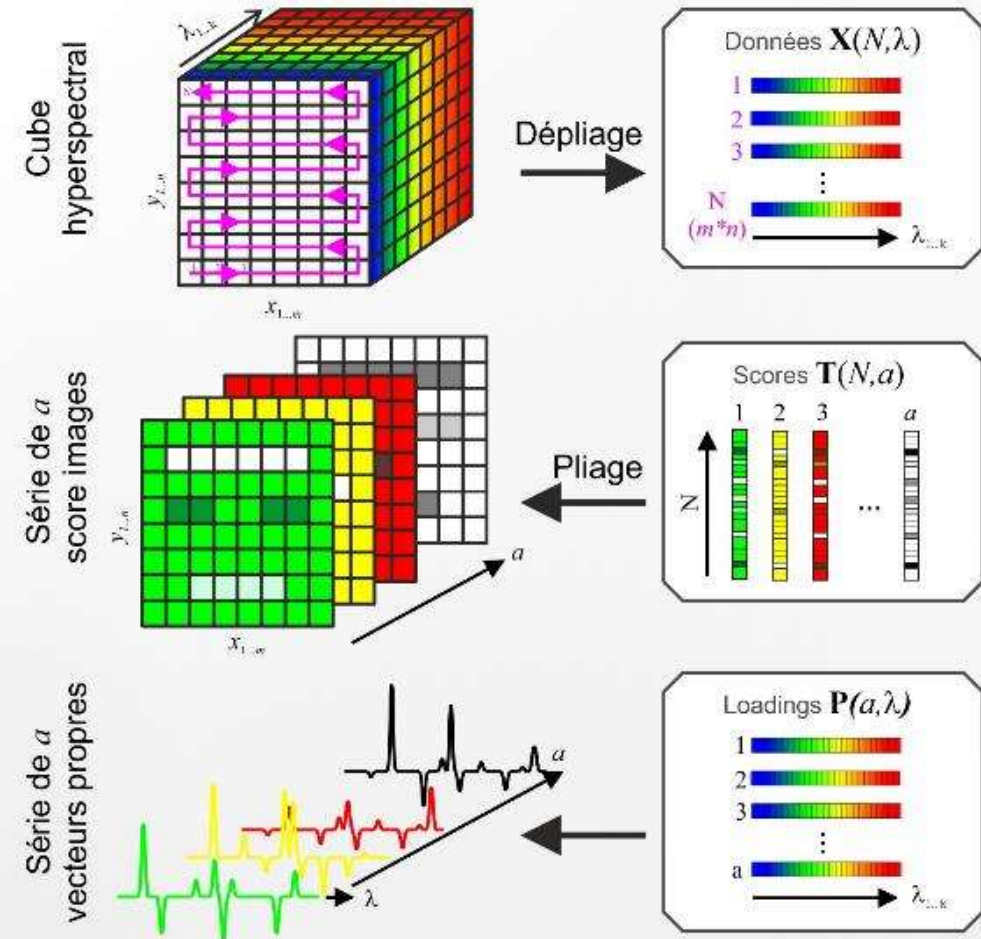


# Perspectives

## Utilisation de la chimiométrie

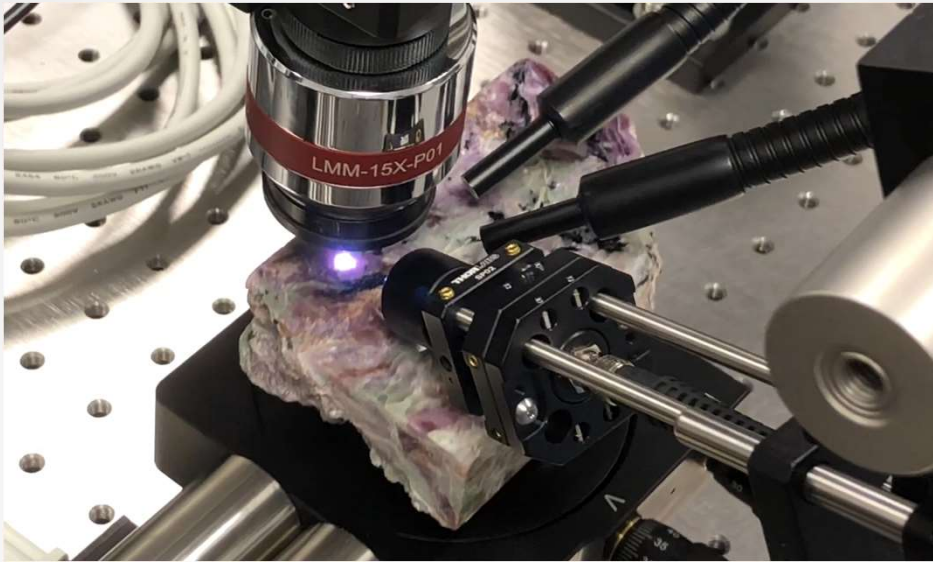
Collaboration L. Duponchel

**LASIR**

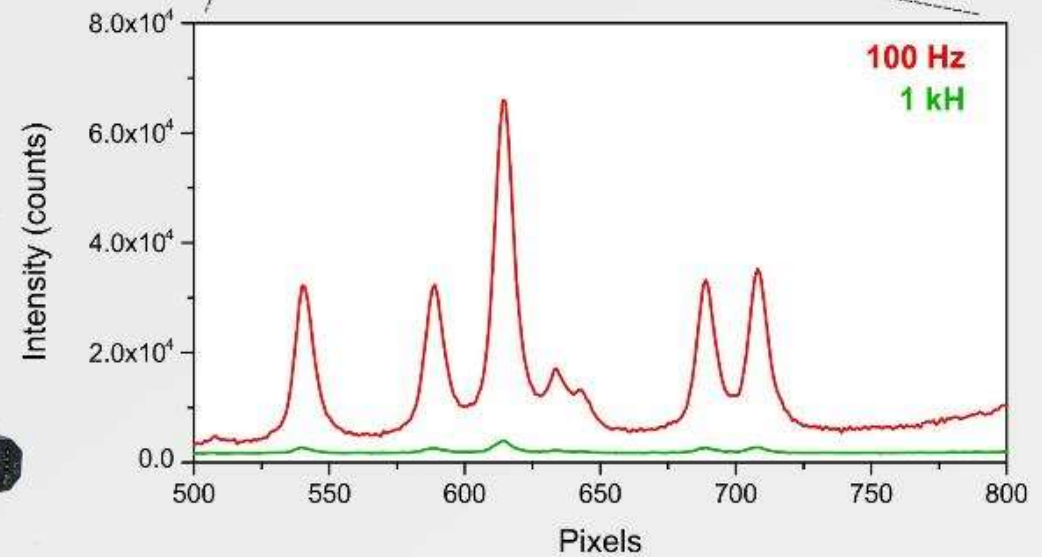
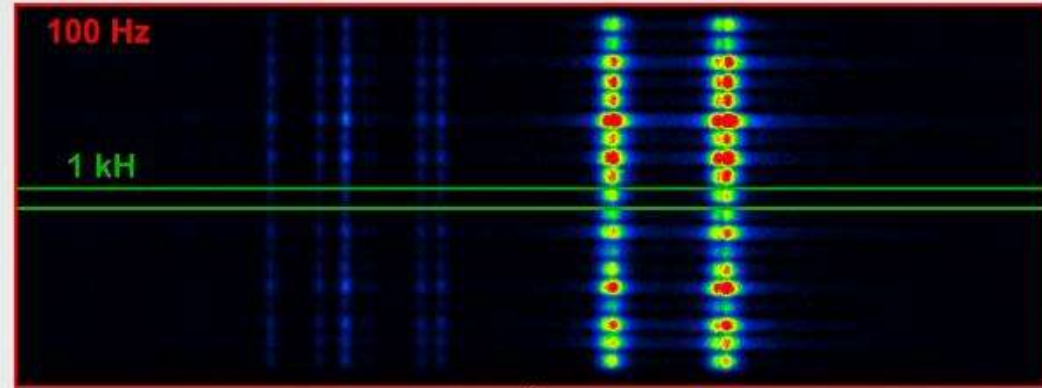
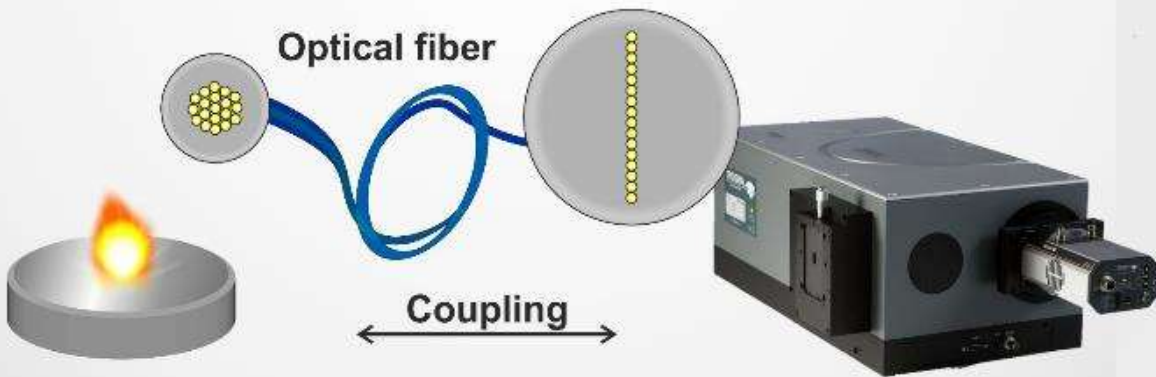


# Perspectives

## Amélioration de la vitesse d'acquisition



1 megapixels in 17 min!

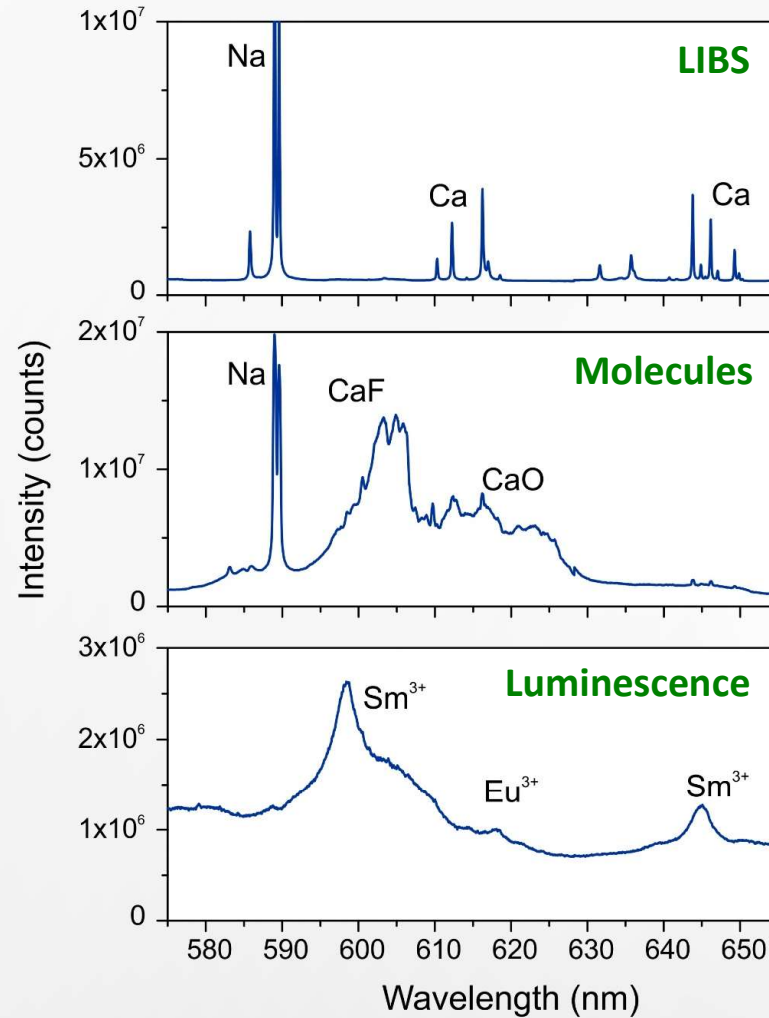
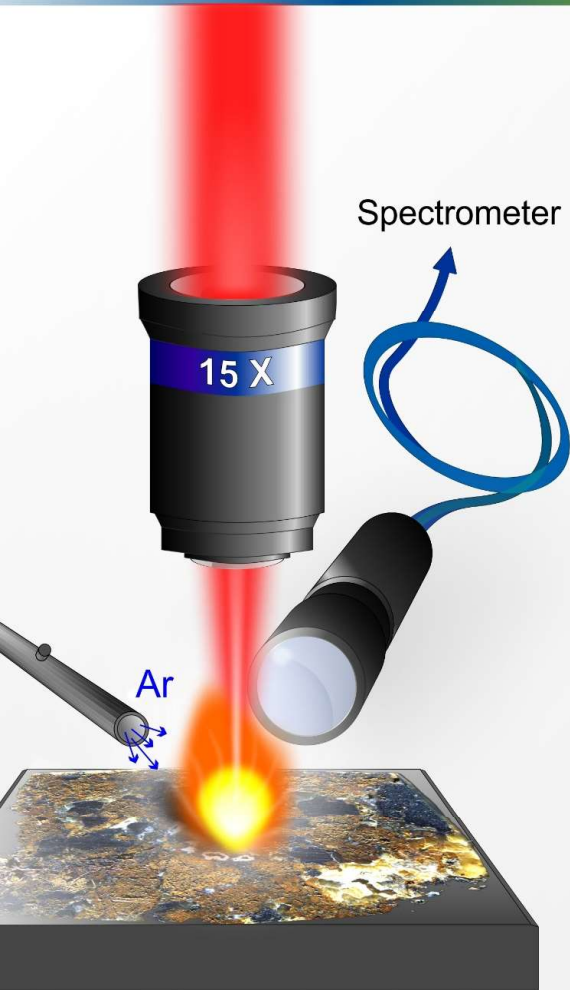


# Perspectives

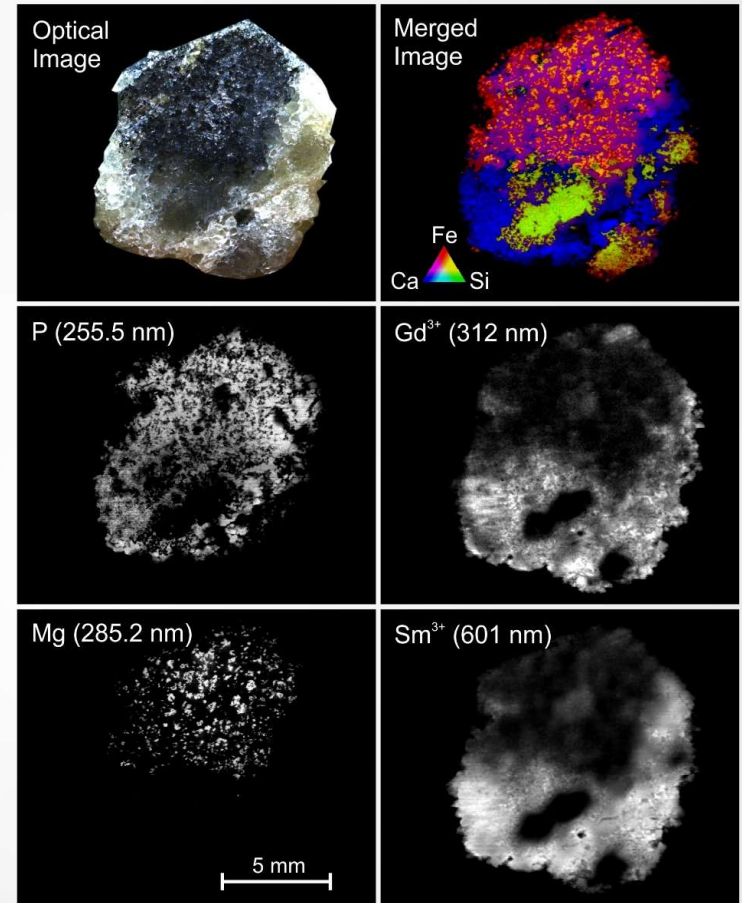
## Amélioration des limites de détections

Collaboration M. Gaft

ARIEL  
UNIVERSITY



Detection delay



M. Gaft *et al.* SAB (2018)

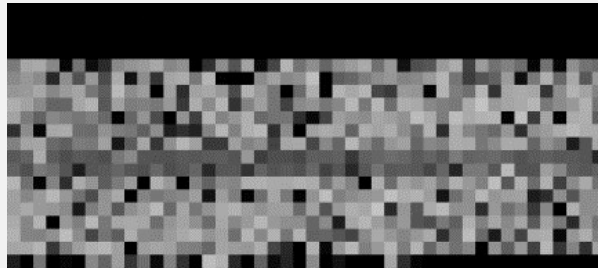
# Perspectives

## Configuration LIBS - LIF



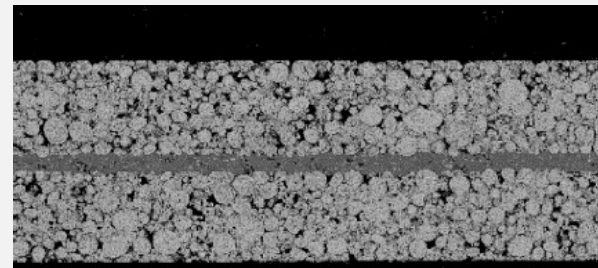
Actual performances (10  $\mu\text{m}$ )

SEM image of a commercial cathode



100  $\mu\text{m}$

Objective (1  $\mu\text{m}$ )



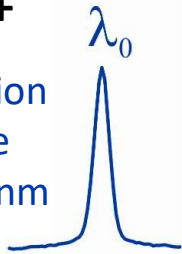
Ablated volume:

$\sim 1000 \mu\text{m}^3$

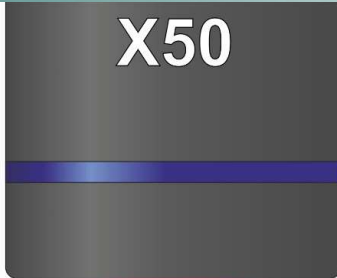
$\sim 1 \mu\text{m}^3$

Signal enhancement  
LIBS - LIF

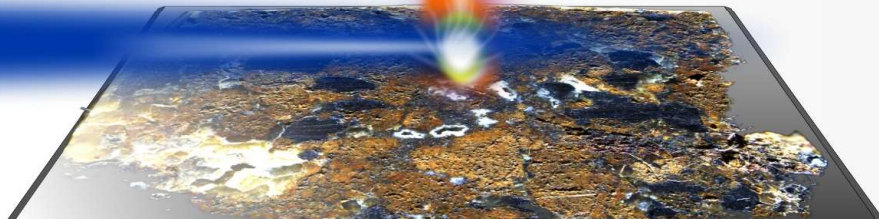
Excitation pulse  
317.7 nm



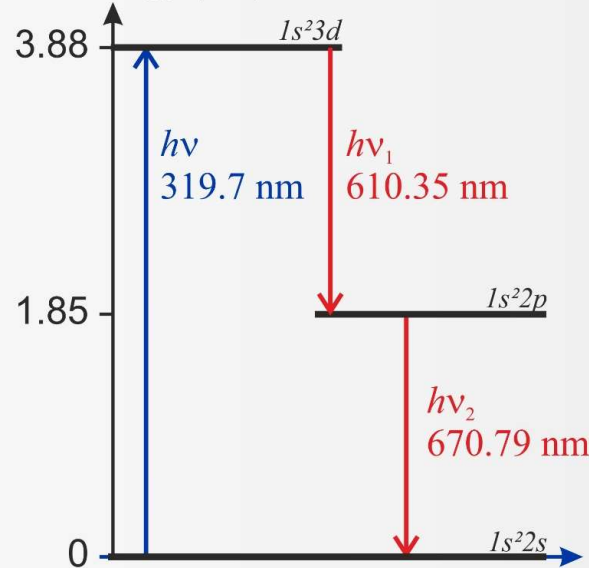
X50



Ablation pulse  
266 nm



Energy (eV)



Benefits

- “Low energy” ablation (no excitation)
- No continuum
- Sensitivity  $\times 10^2/10^3$

# Conclusion

## Des avantages intéressants !

Facilité d'implémentation et d'utilisation, rapidité d'analyse, compatibilité avec la microscopie optique, opération sous atmosphère ambiante, détection des éléments légers, analyse de grandes surfaces, etc...

Pour l'analyse des cristaux...





S. Hermelin



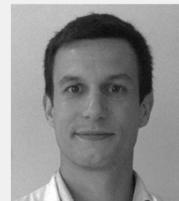
C. Zerbino



C. Dujardin



D. Devismes



B. Busser



L. Sancey



F. Pelascini



F. Trichard



L. Duponchel

**LIBS collaborations:** C. Fabre, M. Baudalet, B. Bousquet, J.O. Caceres, V. Detalle, A. Di-Giacomo, F. Doucet, M. Gaft, J. Hermann

P. Veber, G. Alombert, M. Velasquez, K. Leddoux, G. Panczer, O. Tillement, V. Bonneterre, J. Cauzid, R. Chapoulie, C. P. Lienmann, S. Roux, A.M. Sfarghiu, F. Surma, L. Sorbier, Manuel Munoz, Alexandre Curgerone, etc...



**Companies**

J. M. Laurent, A. Feugier,  
M. Semenoux





Thanks for your attention!!



UNIVERSIDAD COMPLUTENSE MADRID



ABLATOM  
ADVANCED ELEMENTAL ANALYSIS THROUGH INNOVATION

# dIAG-EM

## Spectra simulation

Assuming a uniform plasma in LTE  
(Local Thermodynamic Equilibrium):

*Boltzmann equation: Population density of the emitters*

$$I_{\alpha}^z = f \frac{hc}{\lambda_{\alpha}^z} \frac{A_{\alpha}^z g_{\alpha}^z}{U^z(T)} N_{\alpha}^z \exp\left[-\frac{E_{\alpha}^z}{kT}\right]$$

$z=0$  (neutral)  
 $z=1$  (singly ionised)

*Saha equation: Ionization states*

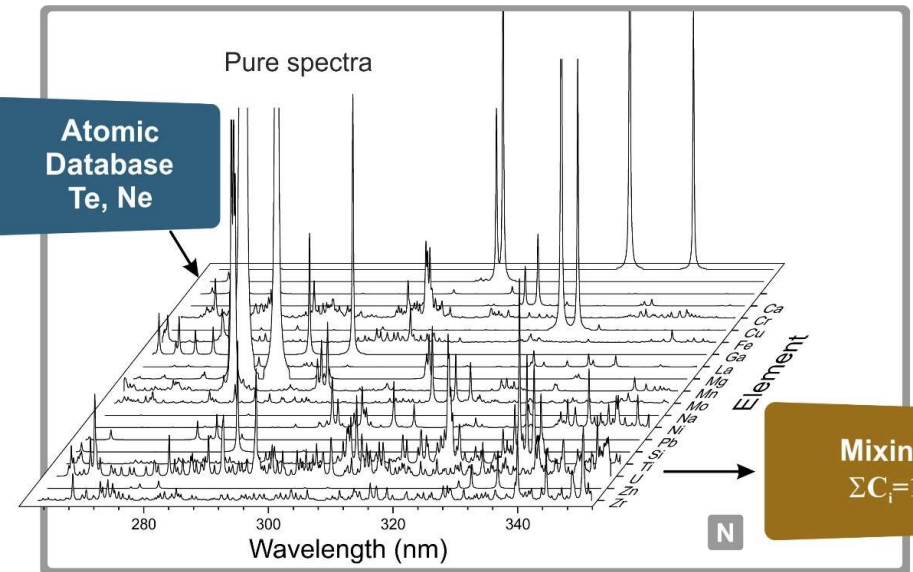
$$\frac{N_{\alpha}^1}{N_{\alpha}^0} = \frac{2}{Ne} \frac{U_{\alpha}^1(T)}{U_{\alpha}^0(T)} \left(\frac{mkT}{2\pi\hbar^2}\right)^{3/2} \exp\left[-\frac{E_{ion}^1 - \Delta E}{kT}\right]$$

*Spectral radiance (self-absorption)*

$$B_{\lambda} = B_{\lambda}^0 (1 - e^{-\tau(\lambda)})$$

$\tau(\lambda)$  Optical thickness

Simulation of pure elemental  
emissions for various T and Ne

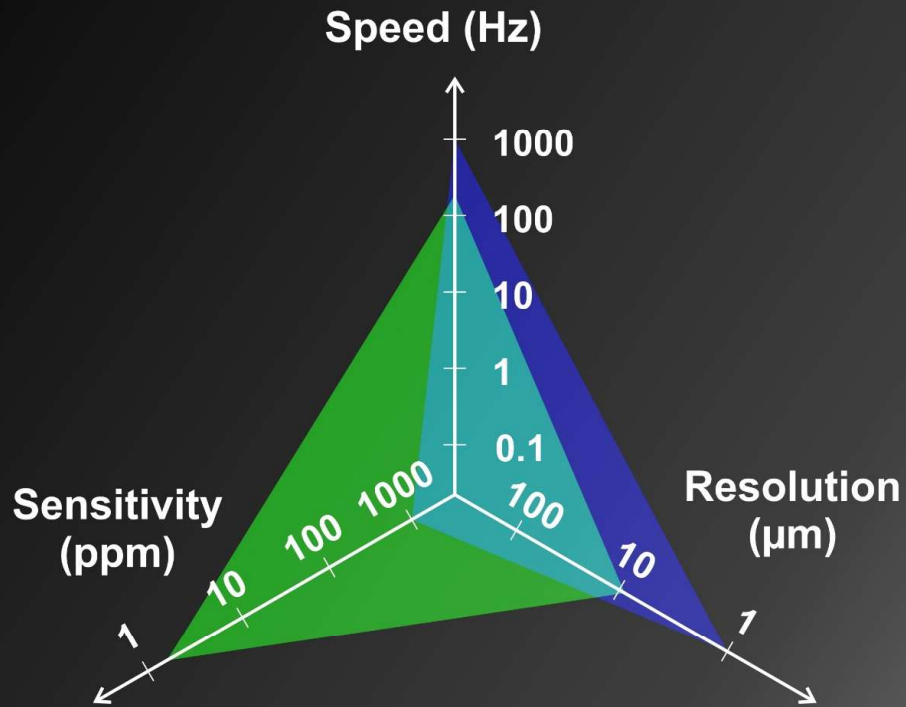




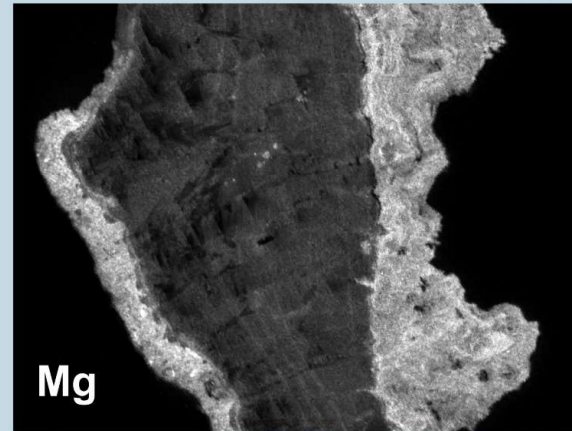
# Parmi le panel des techniques d'imagerie élémentaire

## *LIBS v.s. microscopie électronique*

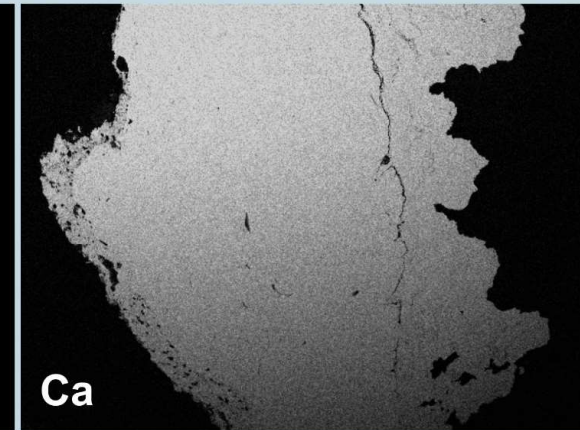
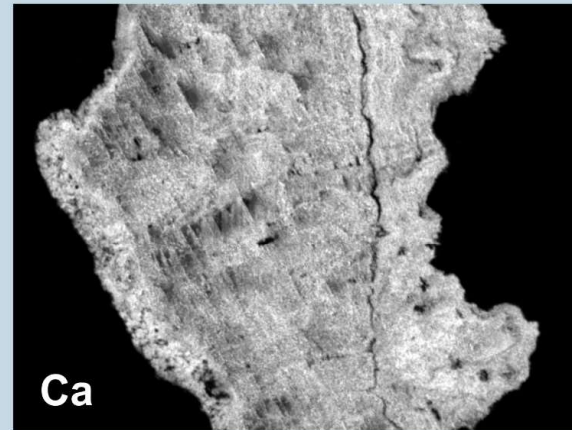
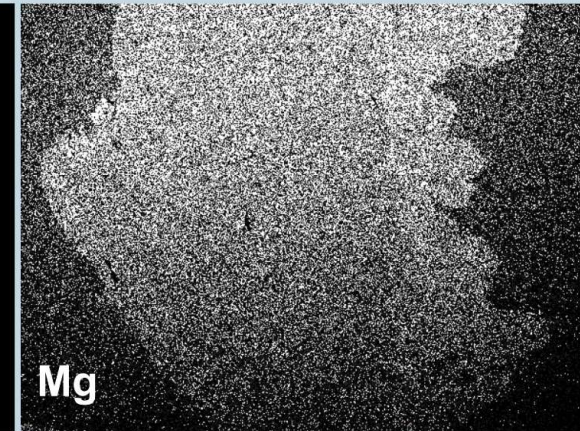
### LIBS v.s. SEM-EDS



### LIBS



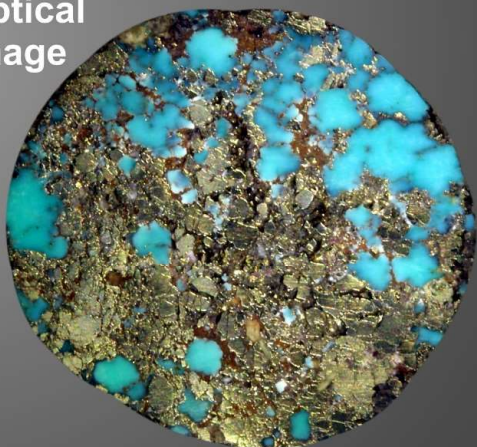
### SEM-EDS



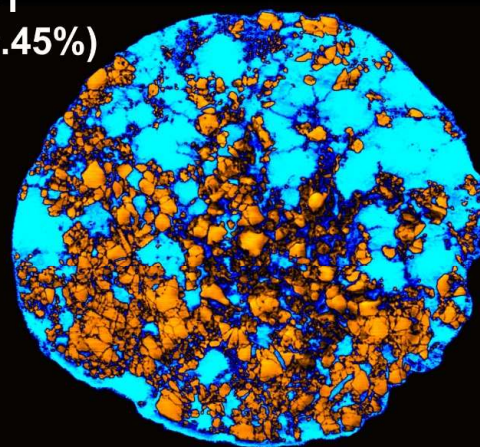
# Traitement des données

Analyse en composante principale sur matrice « complexe »

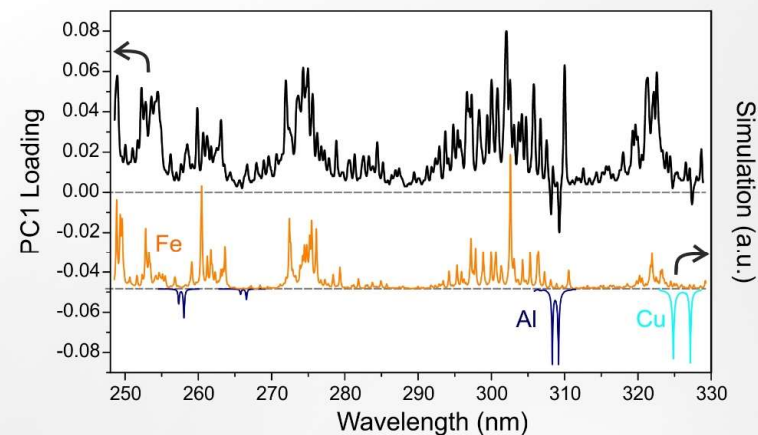
Optical Image



PC1  
(95.45%)



$\times 10^5$   
↑ Pyrite  
↓ Turquoise

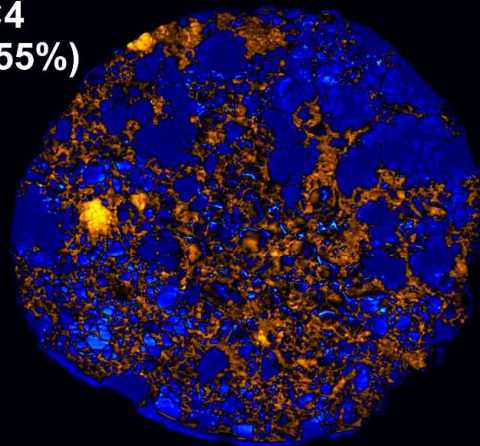


LIBS  
Dataset

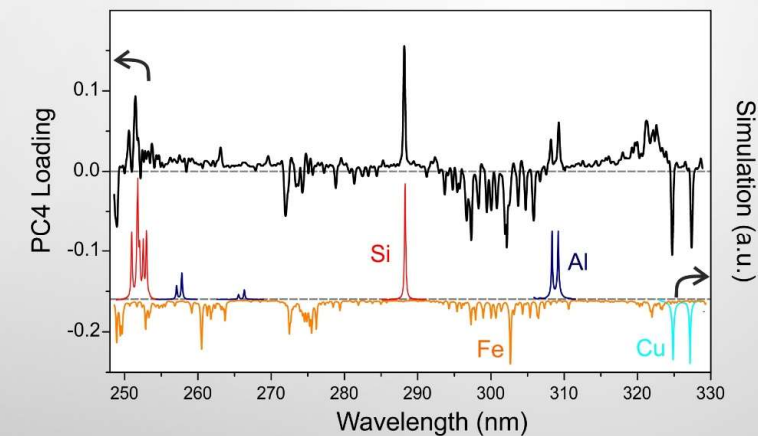


PCA

PC4  
(0.55%)



$\times 10^5$   
↑ Silicate



# Exemples de résultats

## LMO – Résultats

M. Velazquez



Traces  
recherchées :

K et W

